

Büyük Keneli Tepe et Kovuk Çal

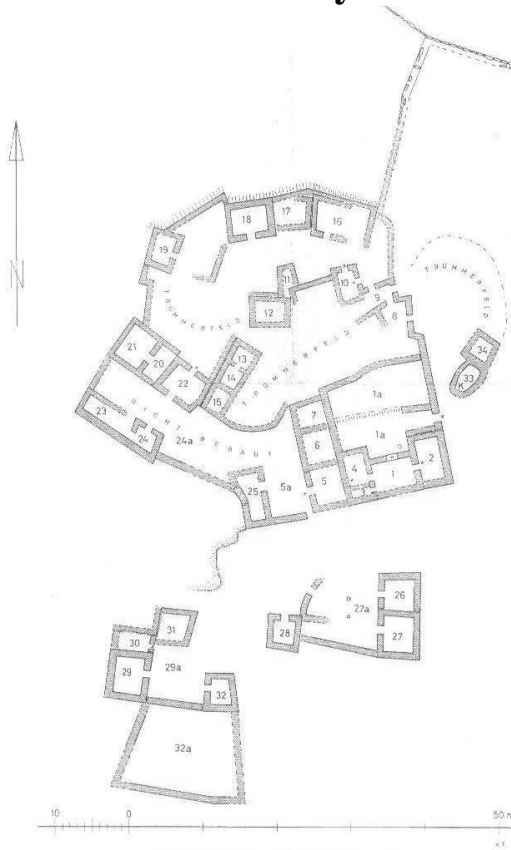


Fig. 177. Büyük Keneli Tepe. Plan du site (Radt, 1970, pl. 6)

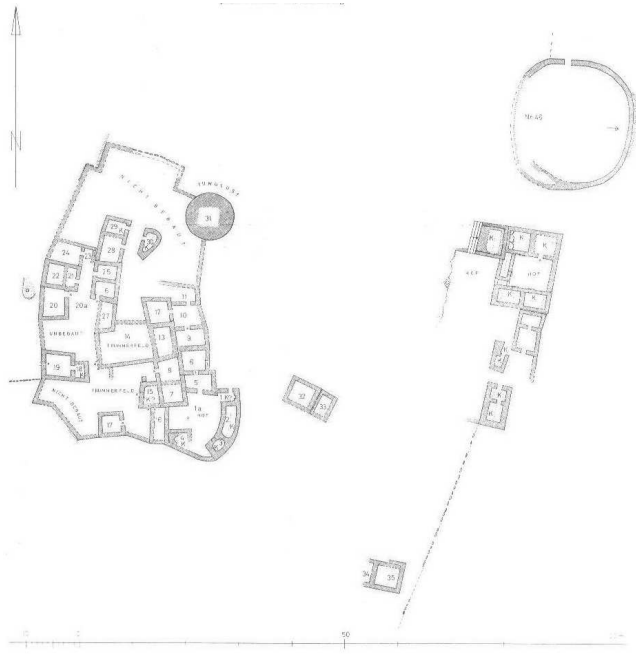


Fig. 178. Kovuk Çal (*ibid.*, pl.5)

Tirman Sivrisi

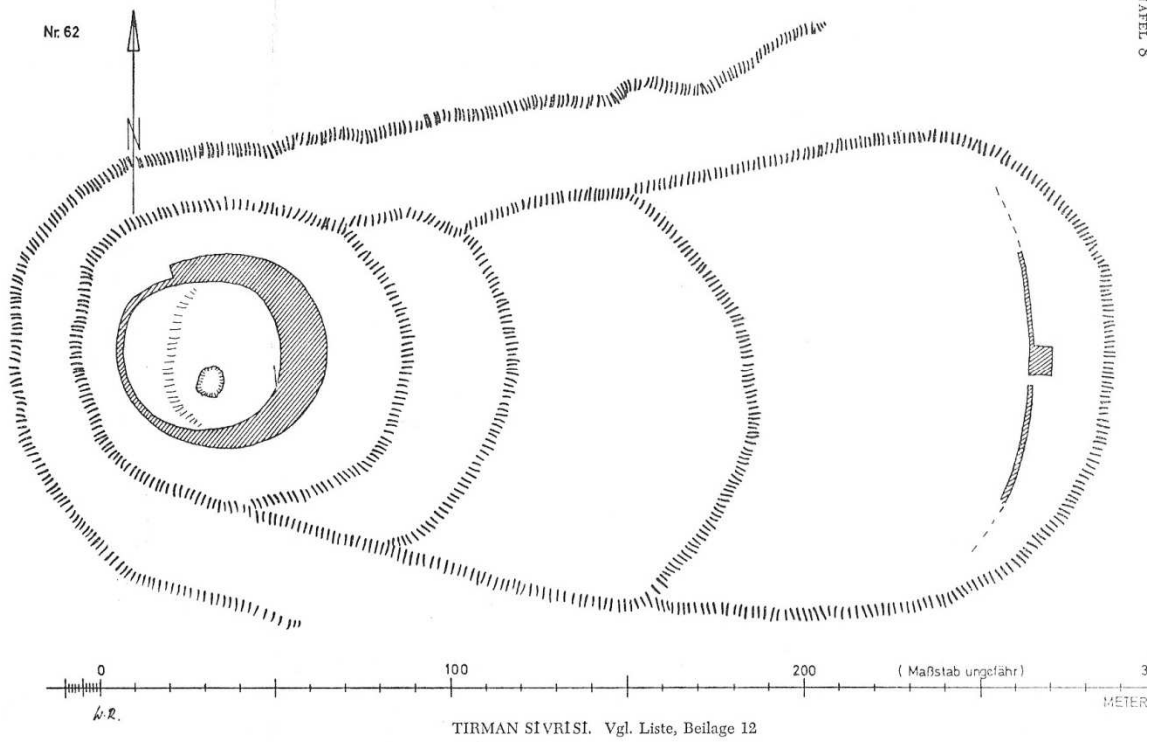


Fig. 179. Tirman Sivrisi (*ibid.*, pl.8)

Koca Dağ, Oyuklu Dağ et Kaplan Dağ

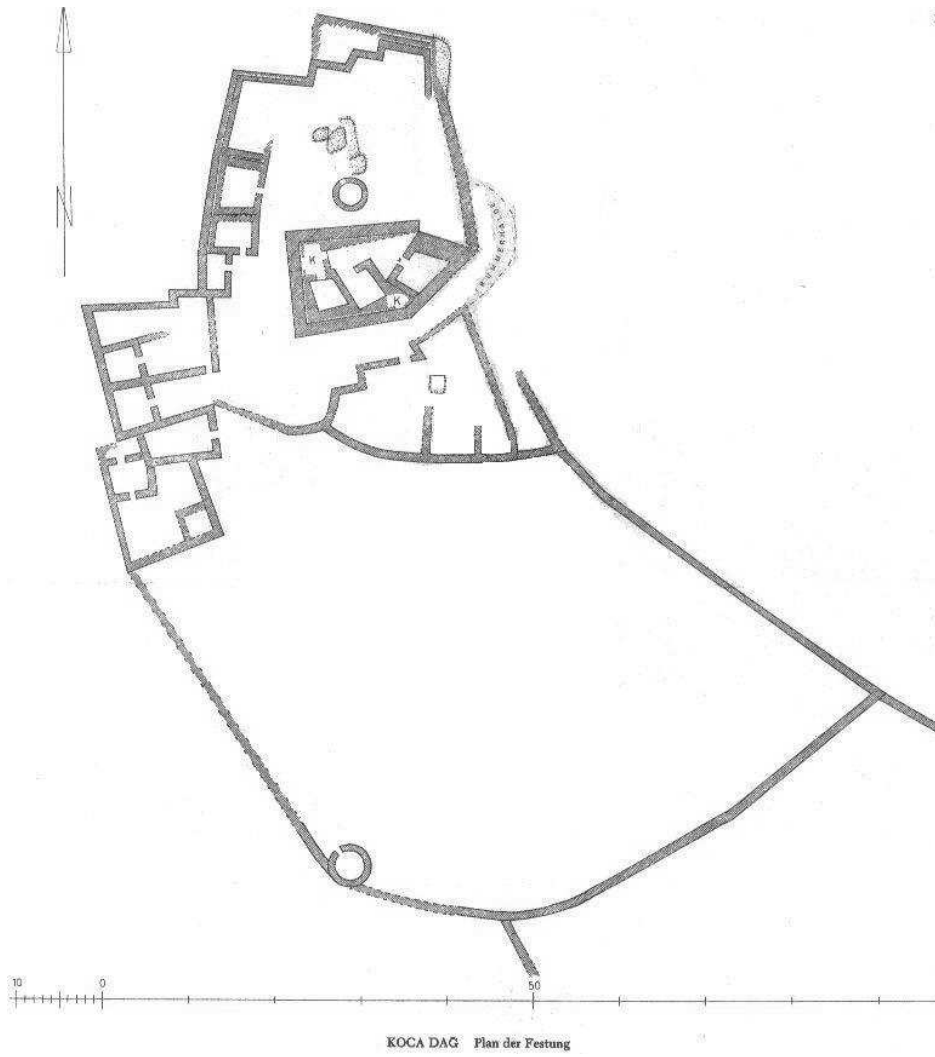


Fig. 180. Koca Dağ. Plan du site (Radt, 1970, pl.7)

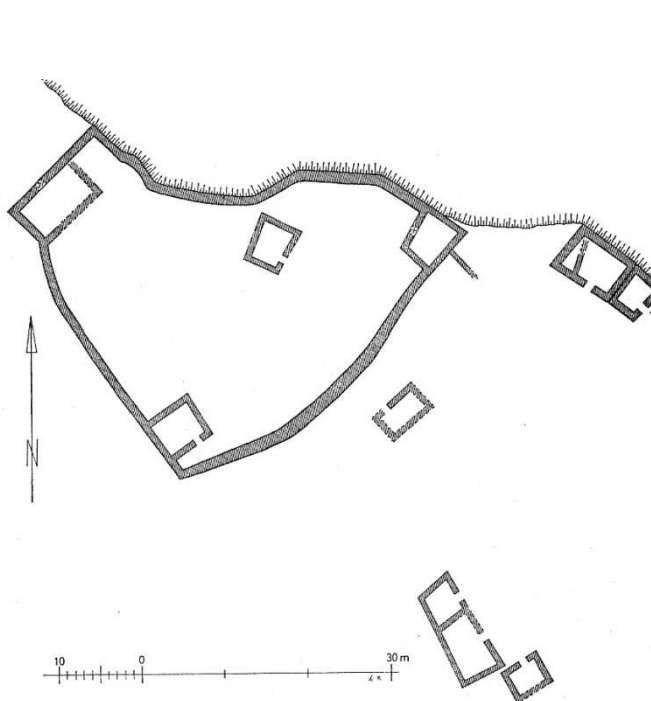


Fig. 181. Oyuklu Dağ. Plan du site (*ibid.* fig.10)

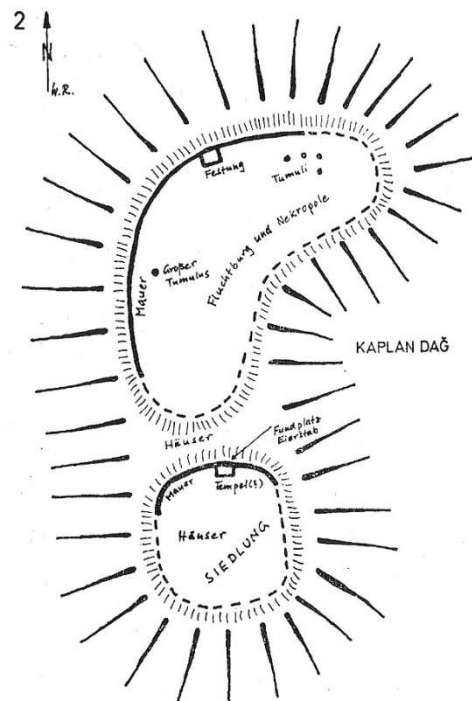


Fig. 182. Kaplan Dağ. Plan du site (*ibid.* Fig.12.2)

Büyük Çevrim, Evliç Ören, Koca Ören

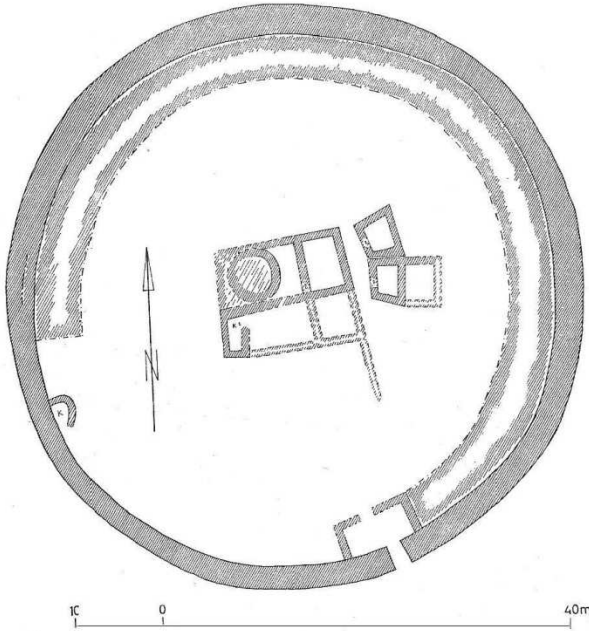


Abb. 13. Koca Ören,

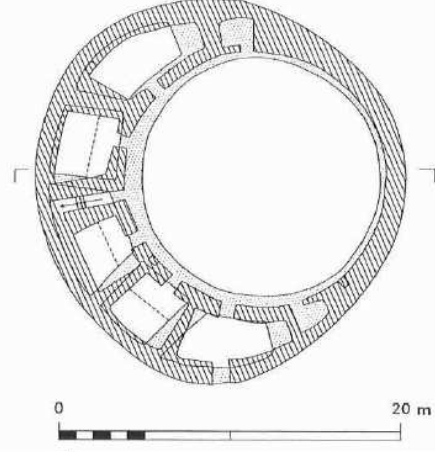
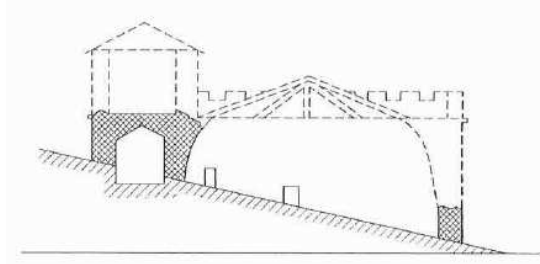


Fig. 183. Koca Ören. Plan (Radt, 1970 fig.13)

Fig. 184. Evliç Ören (Rumscheid, 2009, fig.5, d'ap. Radt)

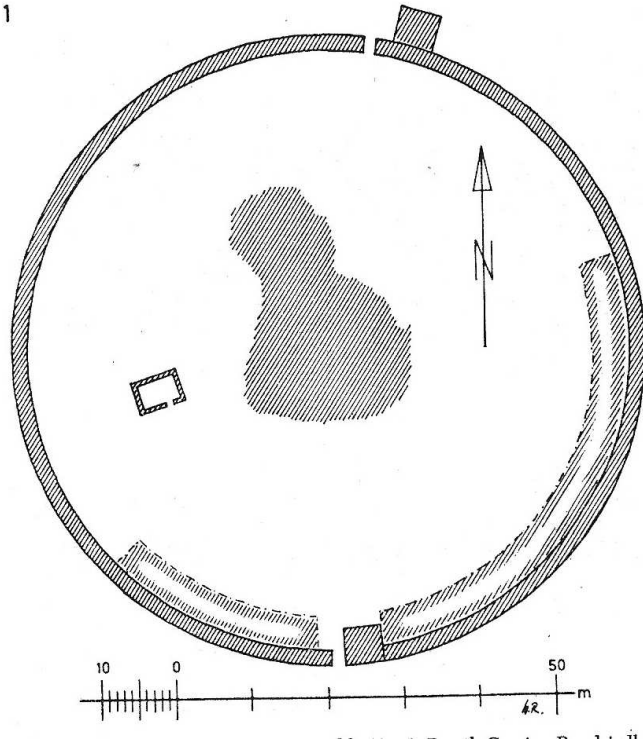


Fig. 185. Büyük Çevrim (Radt, 1970 fig.18)

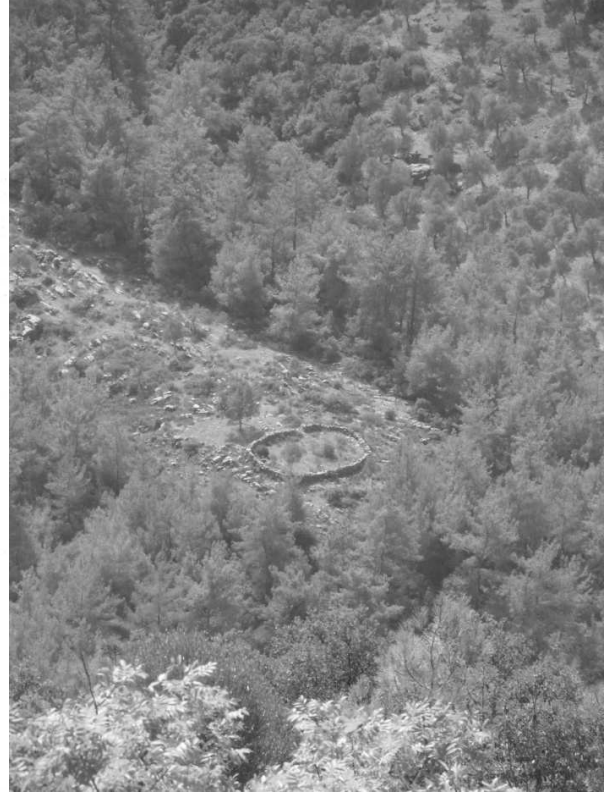


Fig. 186. Compound vers Théangéla (ph. de l'auteur)

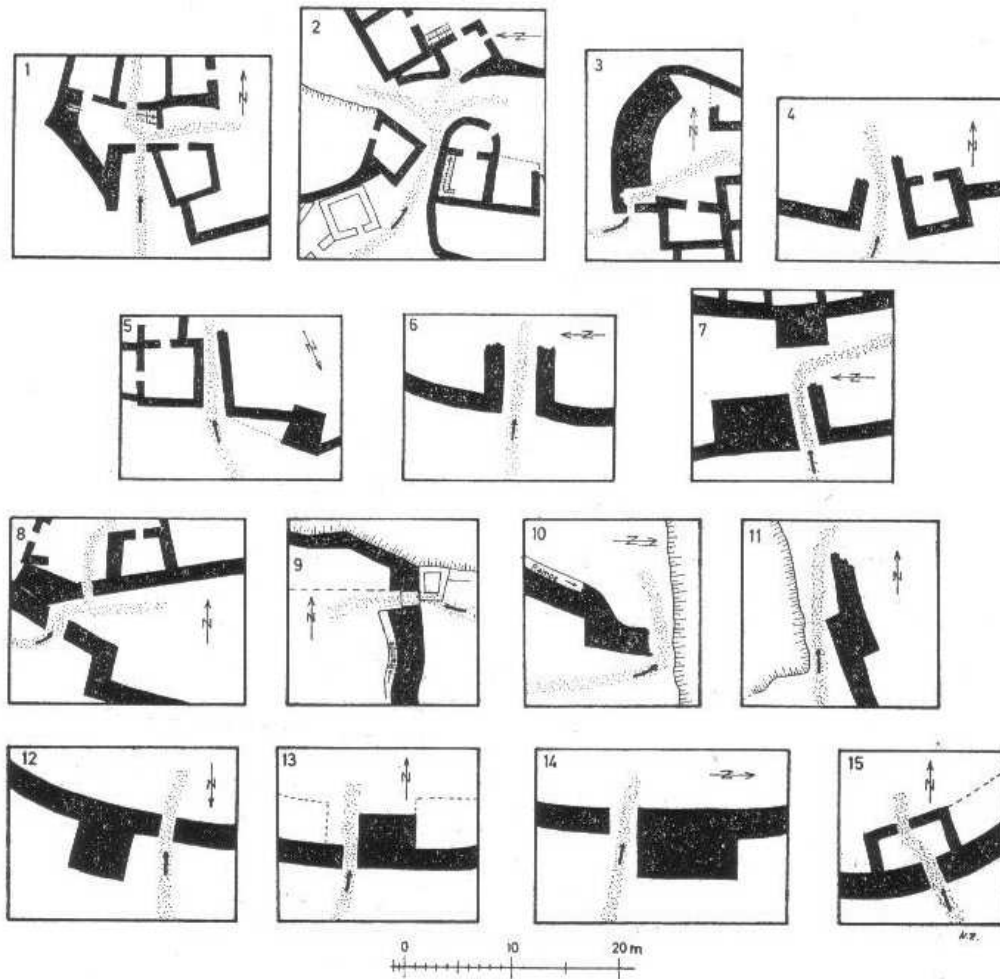


Fig. 187. Portes des sites fortifiés de la péninsule d'Halicarnasse (Radt, 1970, fig.14)

1. Alâzeytin (porte principale) 2. Girel Kalesi, 3. Kovuk Çal, 4. Gökçeler (porte sud), 5. Alâzeytin (porte nord-est), 6. Gökçeler (porte ouest), 7. Çilek Kalesi (porte ouest), 8. Çilek Kalesi (porte intérieure), 9. Çilek Kalesi (porte est), 10. Ören Avlusu (porte est), 11. Ören Avlusu (porte ouest), 12. Büyük Çevrim (porte nord), 13. Büyük Çevrim (porte sud), 14. Tırman Sivrisi, 15. Koca Ören



Fig. 188. Théangéla. Appareillage des murs (Ph de l'auteur)

Myndos

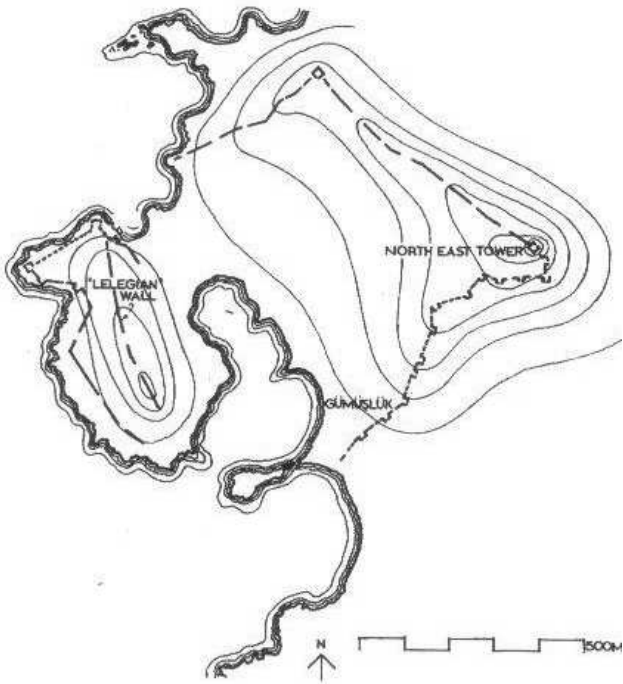


Fig. 189. Myndos. Plan du site (Mc Nicoll, 1997, fig.2)

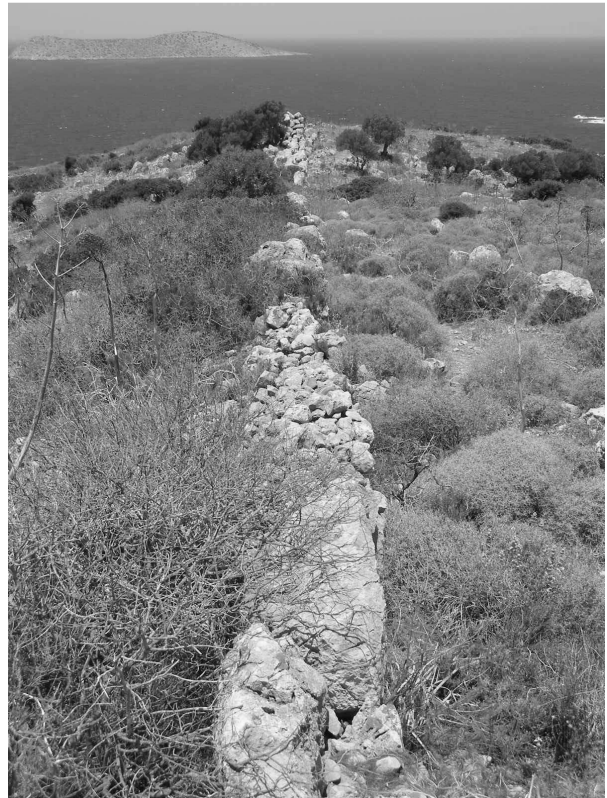


Fig. 190. Myndos. Mur de la péninsule (Ph de l'auteur)



Fig. 191. Myndos. Mur de la péninsule. Parement interne (Ph de l'auteur)

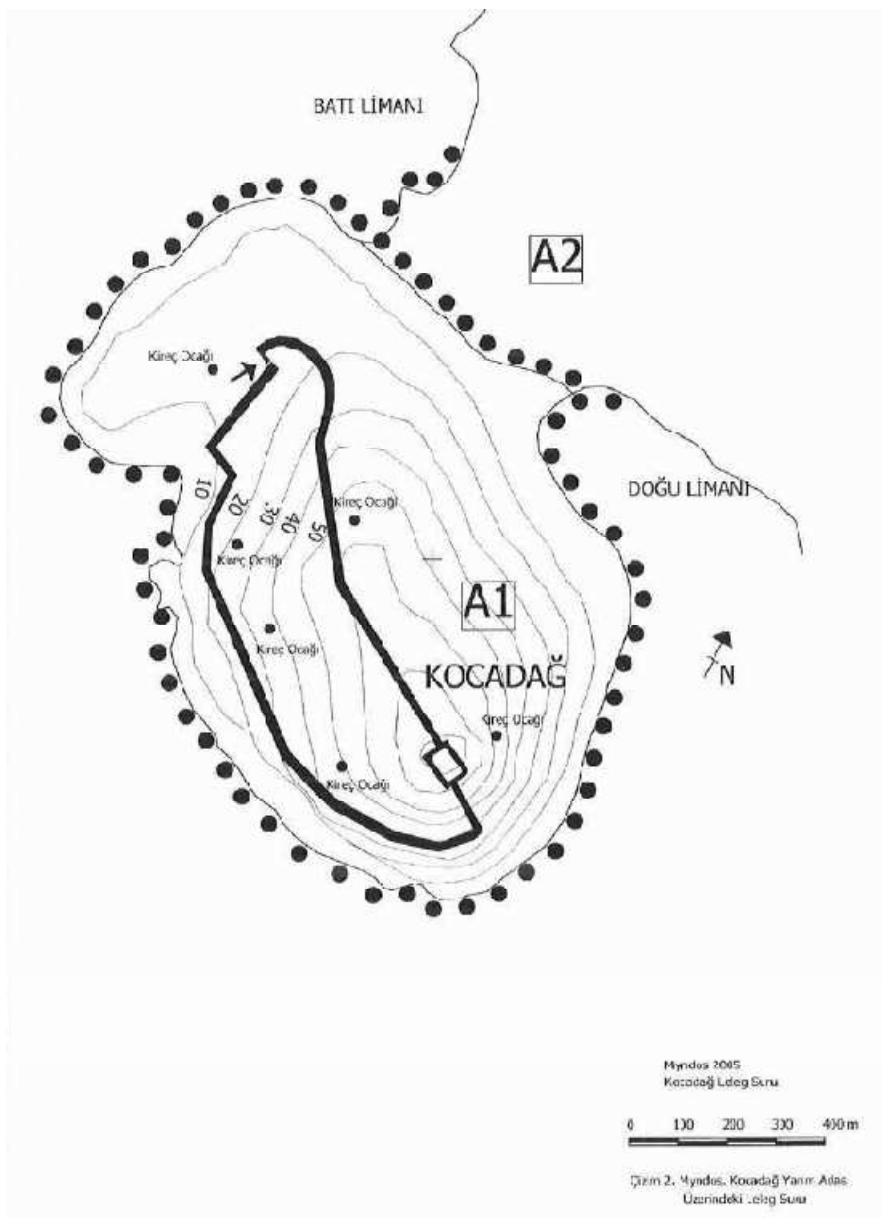
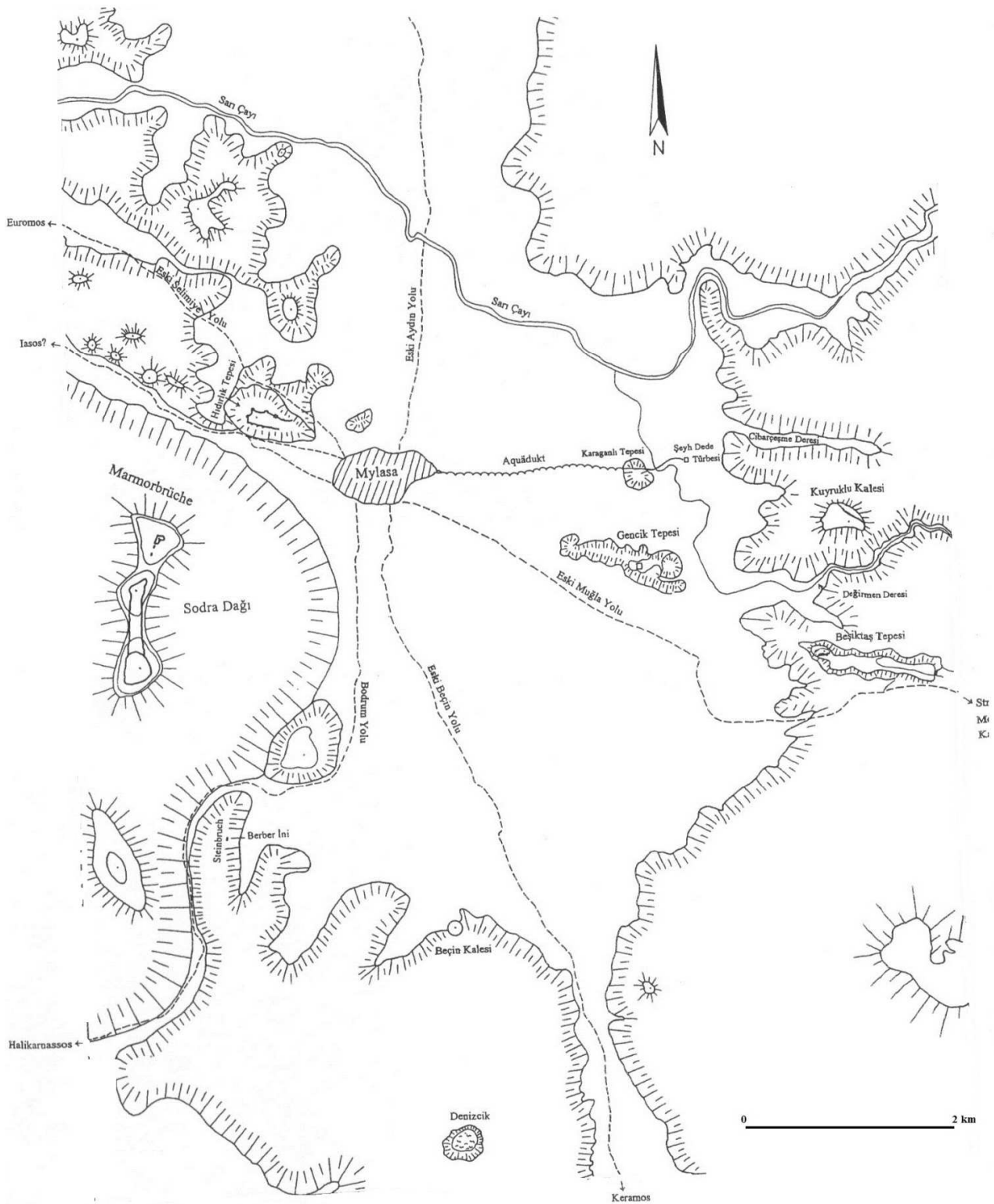


Fig. 192. Myndos. Plan des fortifications (Sahin, 2009, fig.3)



Fig. 193. Myndos. Mur de la péninsule. Appareil polygonal (ph de l'auteur)

Carie du nord-ouest



Carte 11. Vallée de Mylasa et sites alentours (d'après Rumscheid, 1999, carte)

Mylasa-Sodra Dağı



Fig. 194. Vallée de Mylasa et Sodra Dağı vers le nord depuis le Beçin Kalesi (Ph. l'auteur)

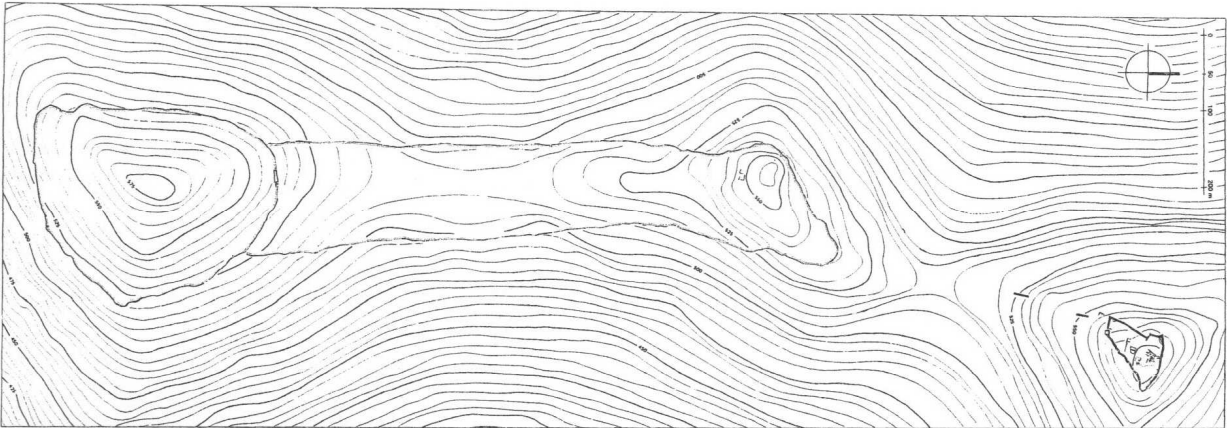


Fig. 195. Mylasa. Sodra Dağı. Plan des fortifications (d'après Rumscheid, 1999, fig.4)

Pidasa

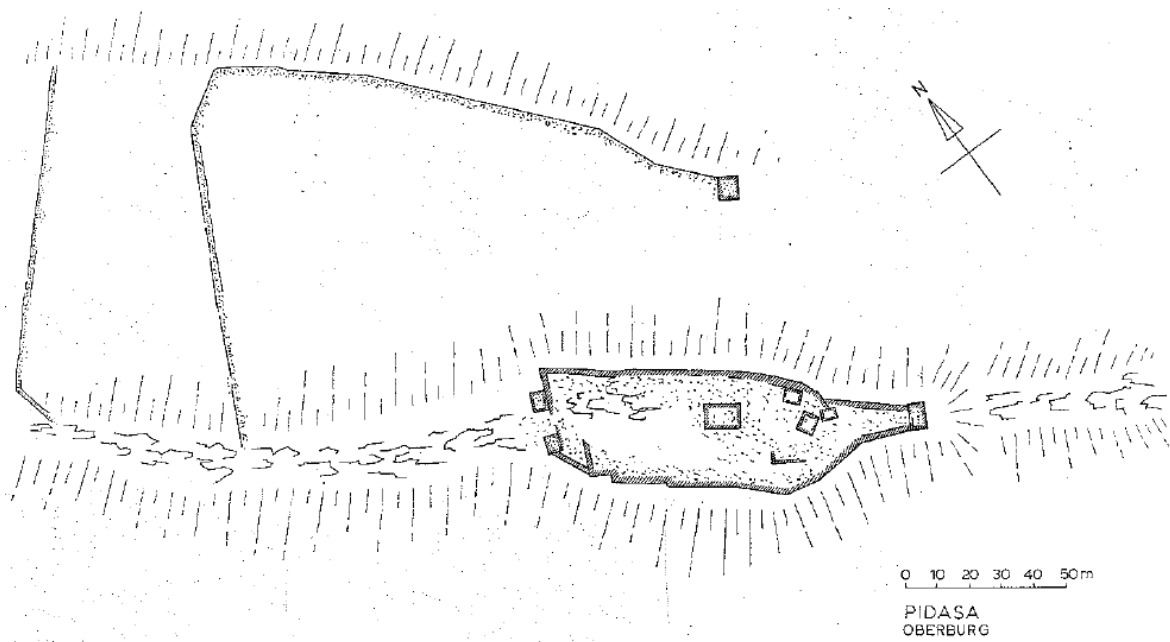


Fig. 196. Pidasa. Plan du site (Peschlow-Bindokat, 1989, fig. 12)

Asar Tepe et Zeytin Dağ

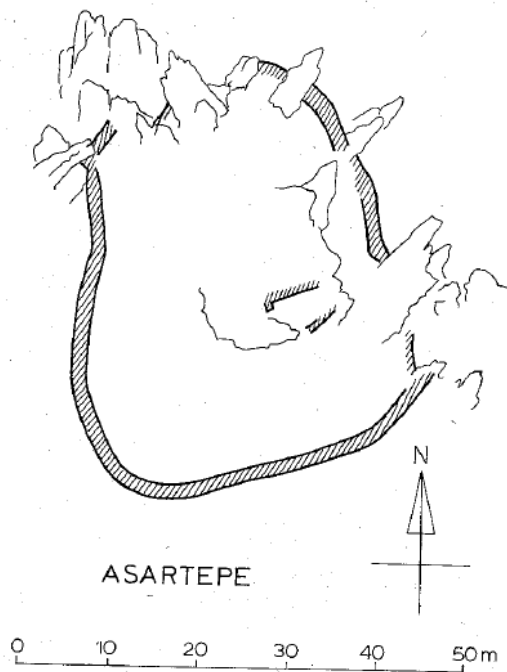


Fig. 197. Asar Tepe. Plan (Peschlow-Bindokat, 1989,fig.8)

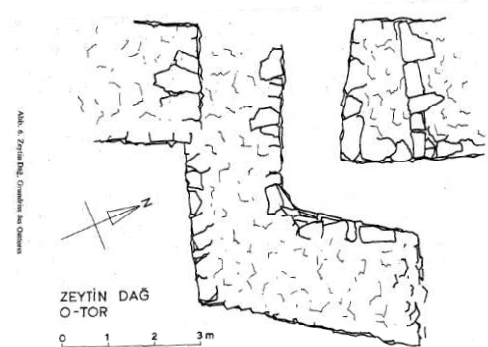


Fig. 198. Zeytin Dağ. Plan de la porte
(Peschlow-Bindokat, 1989, fig.9)

Iasos

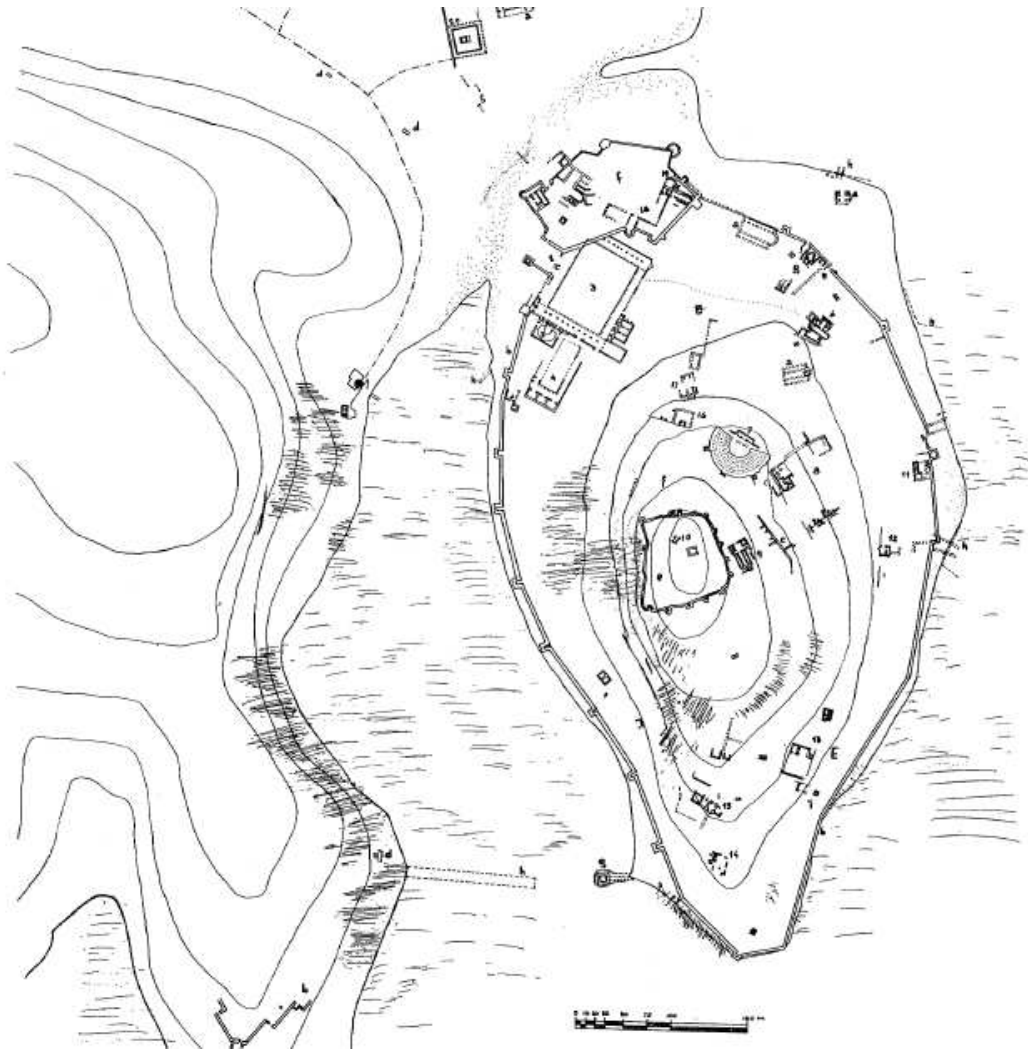


Fig. 199. Iasos. Plan du site (Laviosa, 1978, III.1)



Fig. 200. Iasos. Flanc ouest de l'acropole (ph. auteur)



Fig. 201. Iasos. Mur de fortification supposé (ph. de l'auteur)

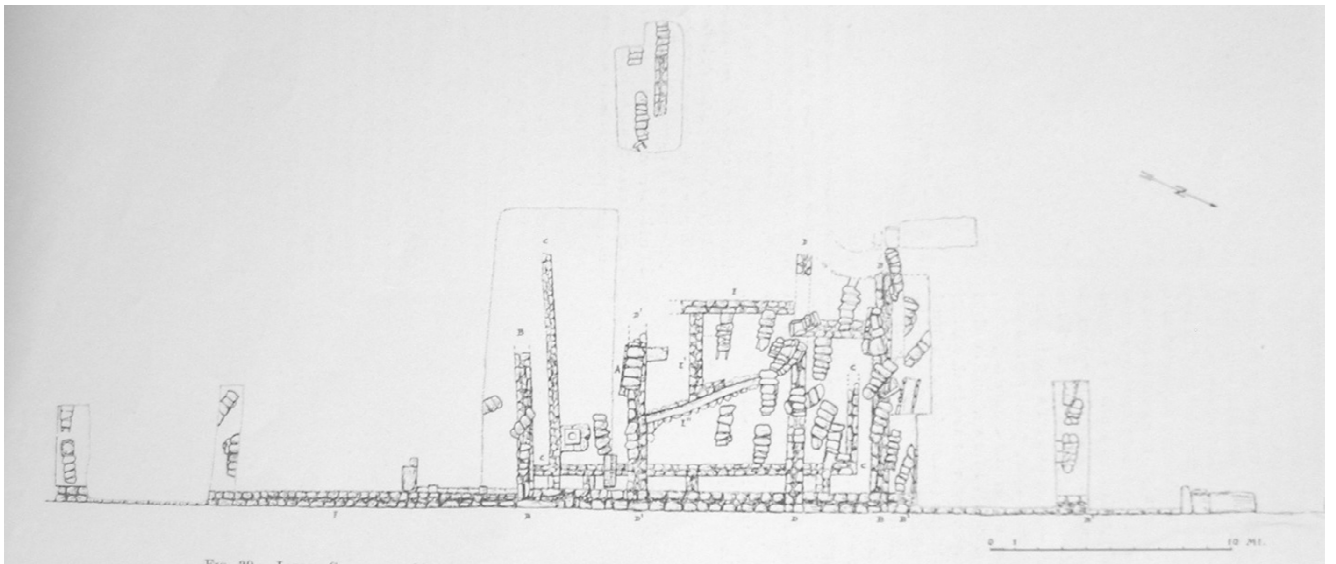
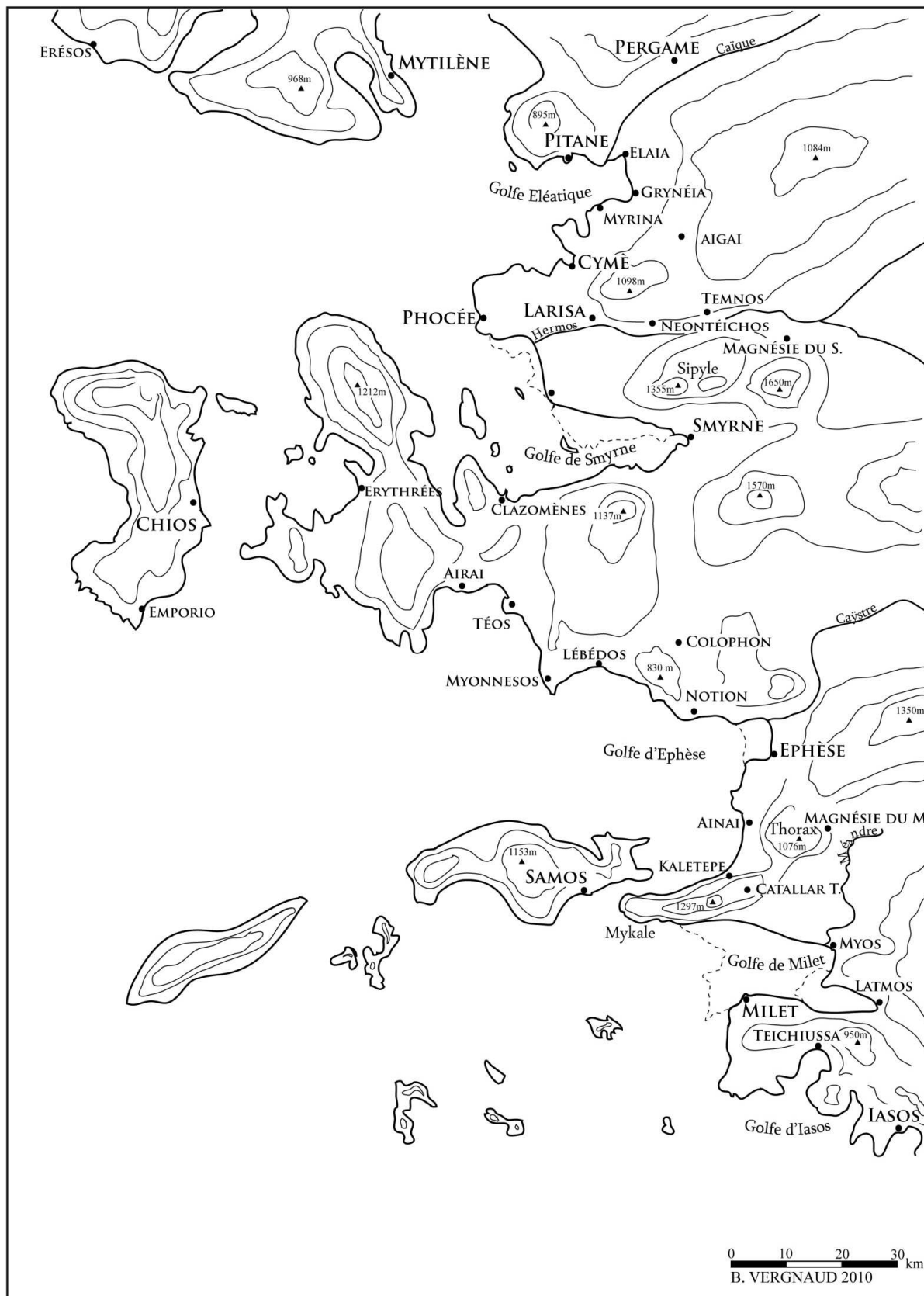


Fig. 202. Iasos. Plan du mur de fortification (Levi, 1963, fig.39)

Ionie



Carte 12. Ionie et Eolide.

Teichiussa

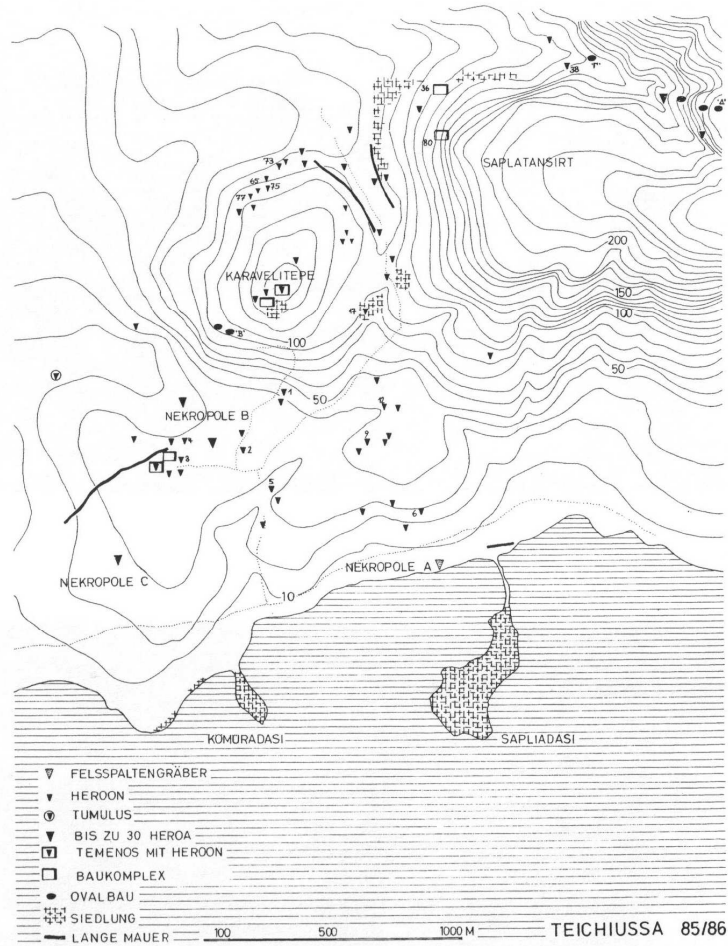


Fig. 203. Teichiussa. Plan du site et des environs
(Voigtländer, 1988, fig.1)

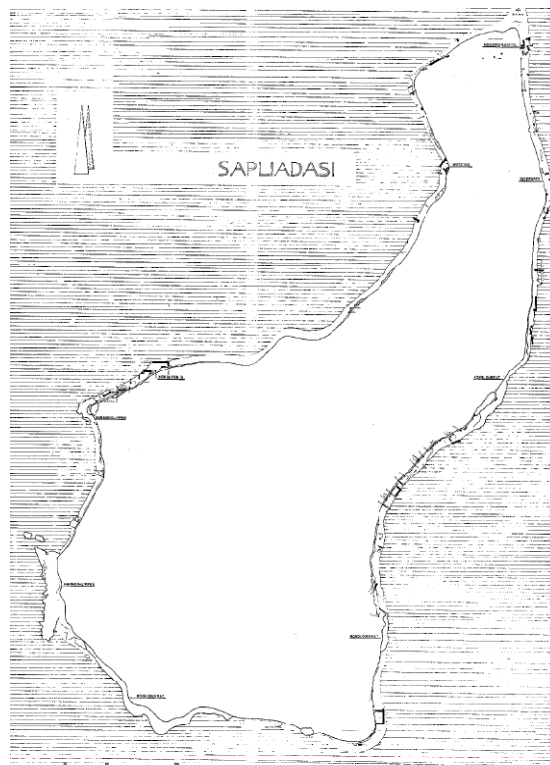


Fig. 204. Teichiussa. Murs de fortification sur Saphadasi
(Voigtländer, 2004)

Milet

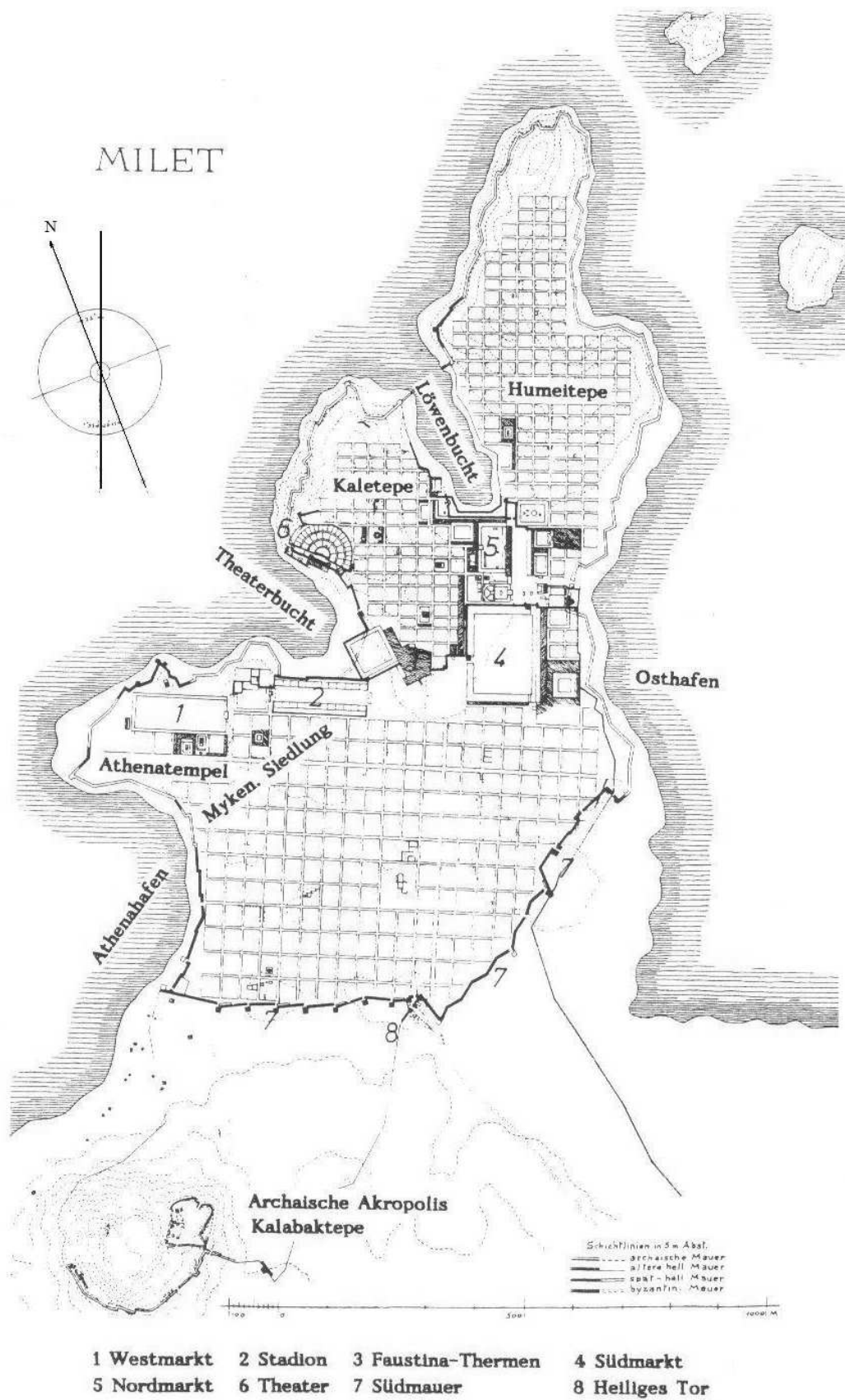


Fig. 205. Milet. Plan du site (von Gerkan, 1935, pl. I)

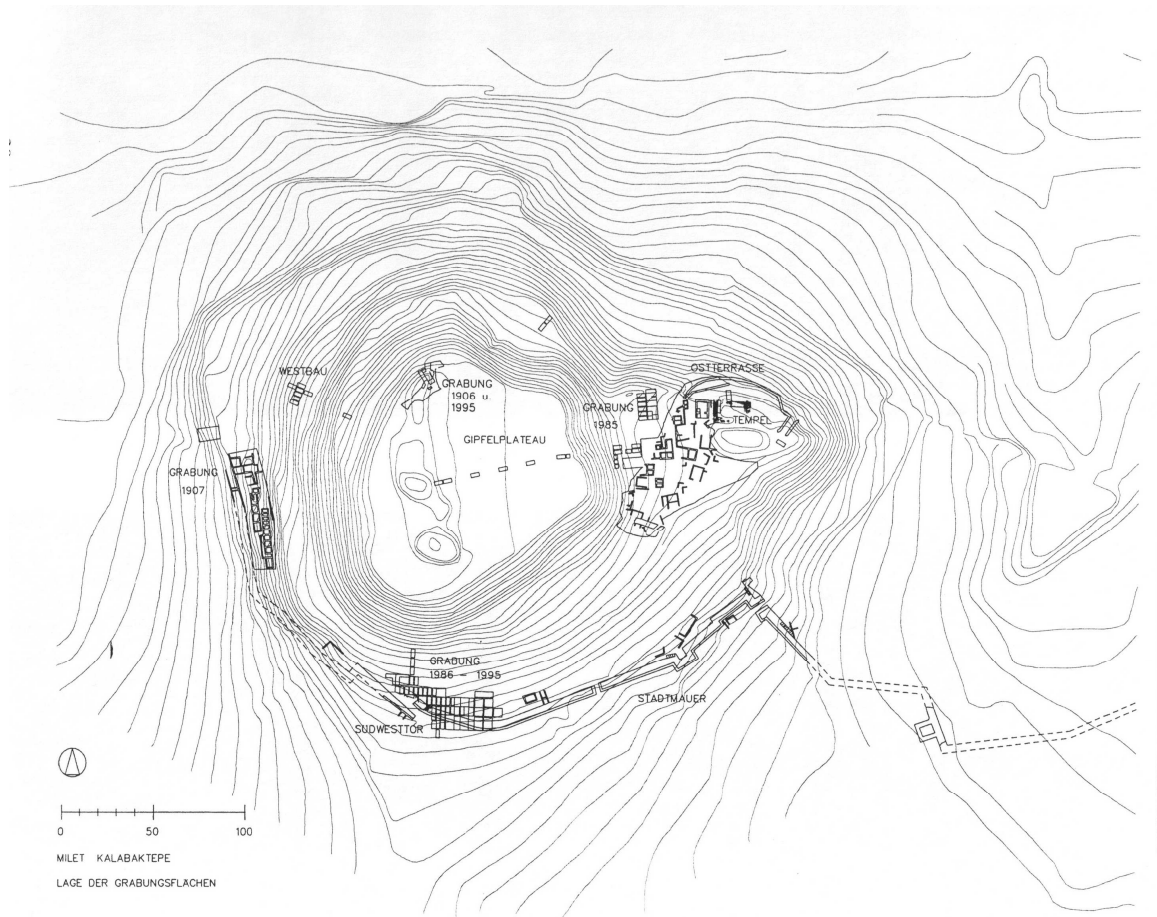


Fig. 206. Milet. Kalabaktepe. Plan du site (Senff, 2000, fig.4)



Fig. 207. Milet. Kalabaktepe. Plan du mur de fortification (Senff, 2000, fig.5)

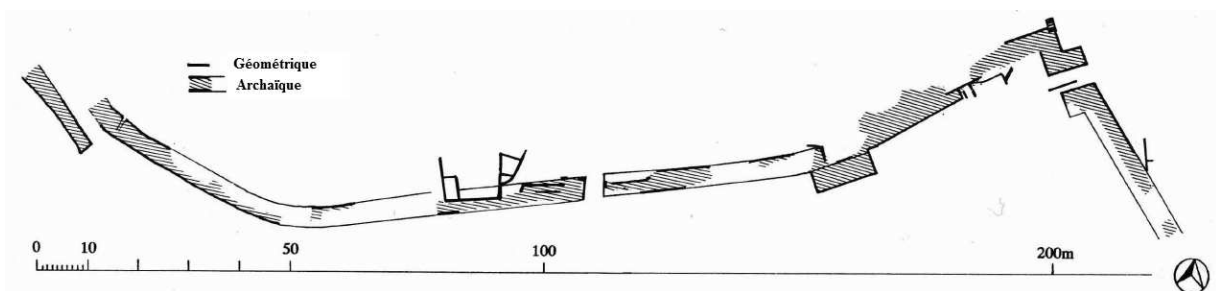


Fig. 208. Milet. Kalabaktepe. Portes et courtines (d'après Lang, 1996, fig.73)



Fig. 209. Milet. Kalabaktepe. Vue de la colline vers le sud ouest (ph. auteur)



Fig. 210. Milet. Colline du Théâtre depuis Kalabaktepe (ph. de l'auteur)



Fig. 211. Milet. Vallée du Méandre depuis Kalabaktepe. Mykale en arrière plan (ph. de l'auteur)



Fig. 212. Milet. Kalabaktepe. Mur en appareil polygonal (ph. de l'auteur)



Fig. 213. Milet. Kalabaktepe. Mur en appareil rectangulaire à bossage. Tour (ph. de l'auteur)

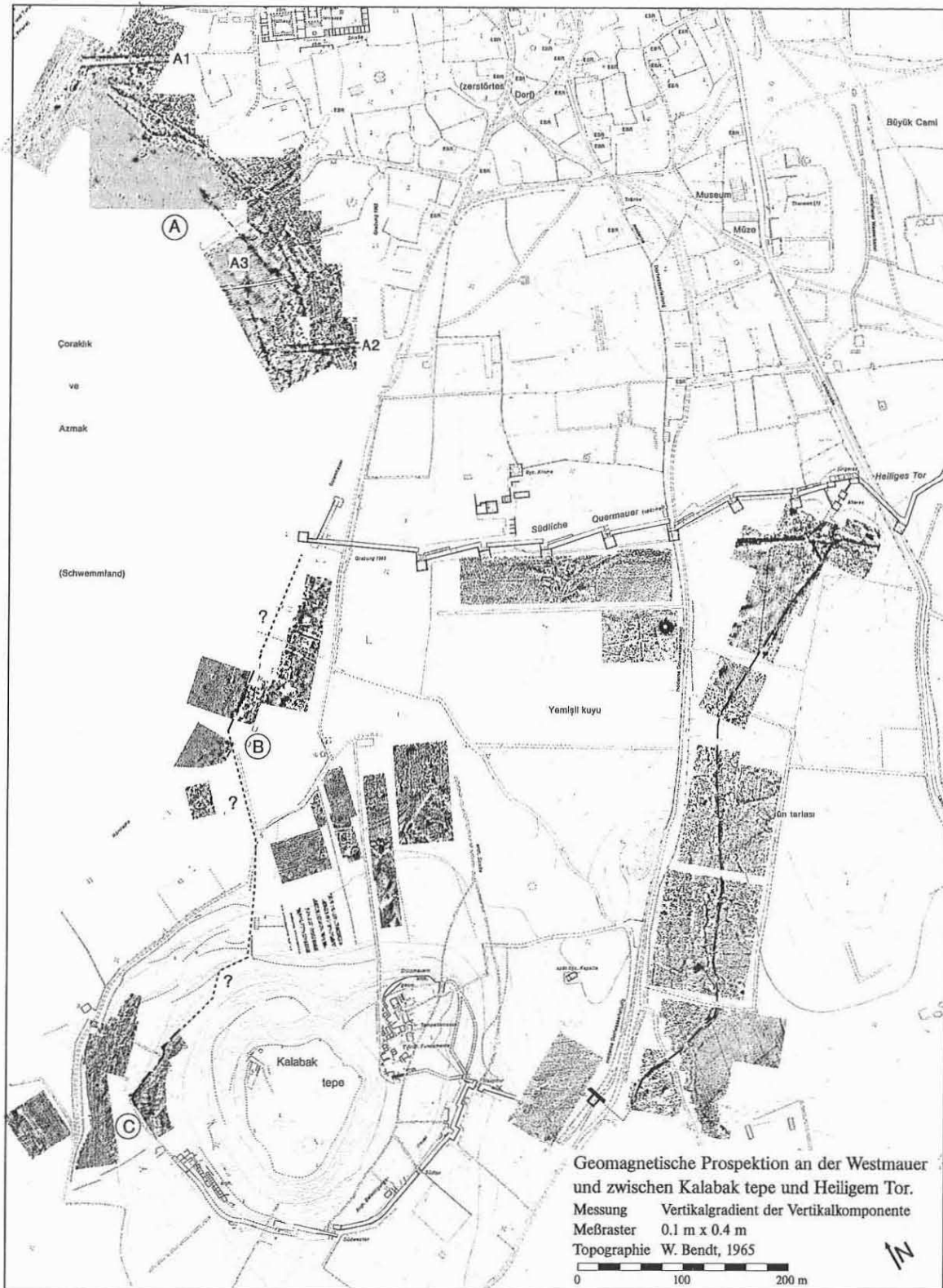
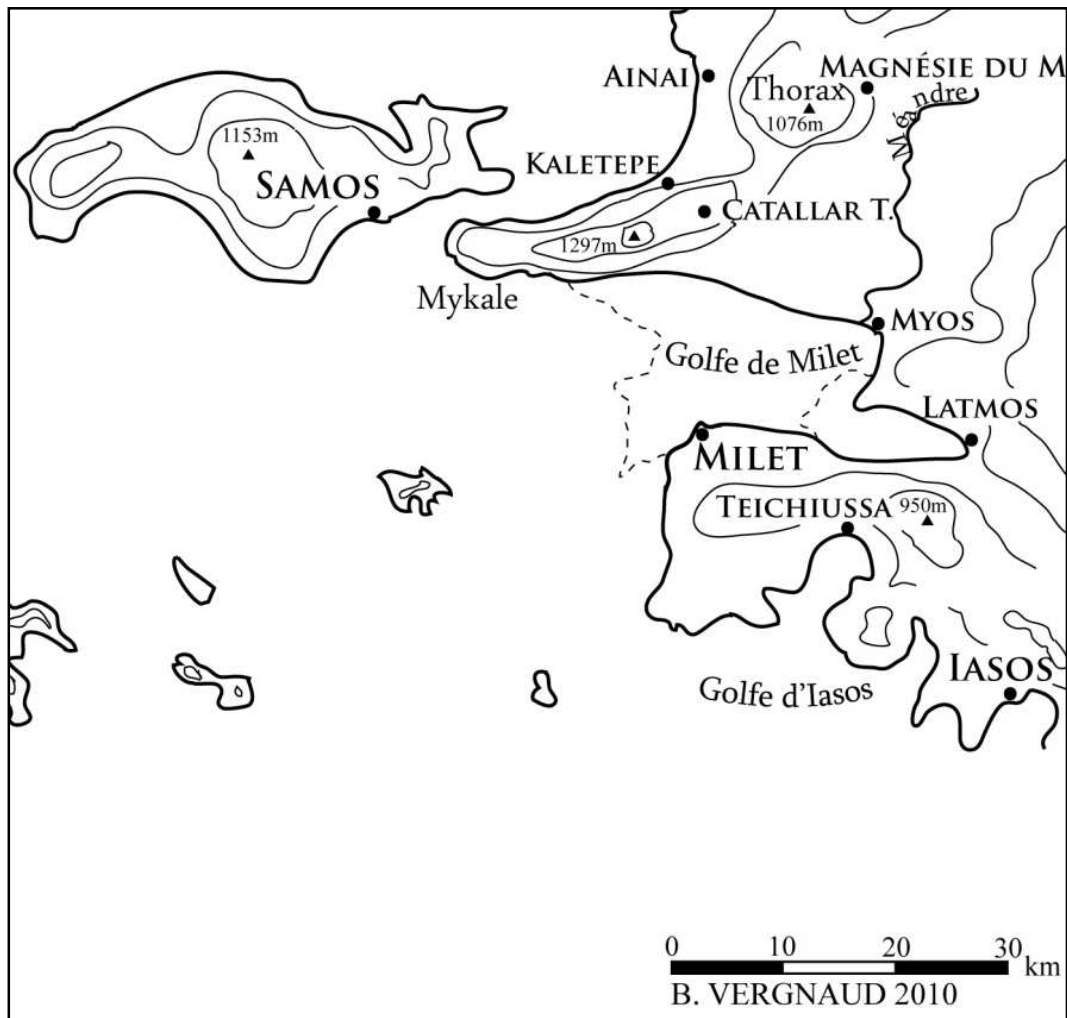


Fig. 214. Milet. Tracé de l'enceinte d'après les prospections géomagnétiques (Stümpel *et al.*, 1999, fig.6)



Carte 13. Sud de l'Ionie et Mykale

Atburgazi

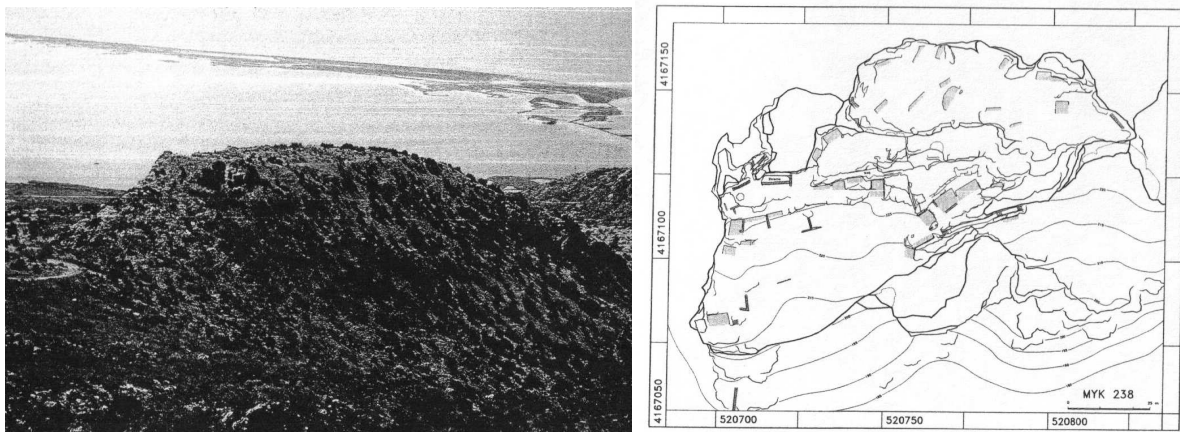


Fig. 215-216 Atburgazi. Vue du site et plan (Lohmann, 2007 *et al.*, fig.5 et 6)

Çatallar Tepe



Fig. 217. Çatallar Tepe. Vue vers le Nord
(Lohmann, <http://www.pm.ruhr-uni-bochum.de/pm2004/msg00306.htm>)

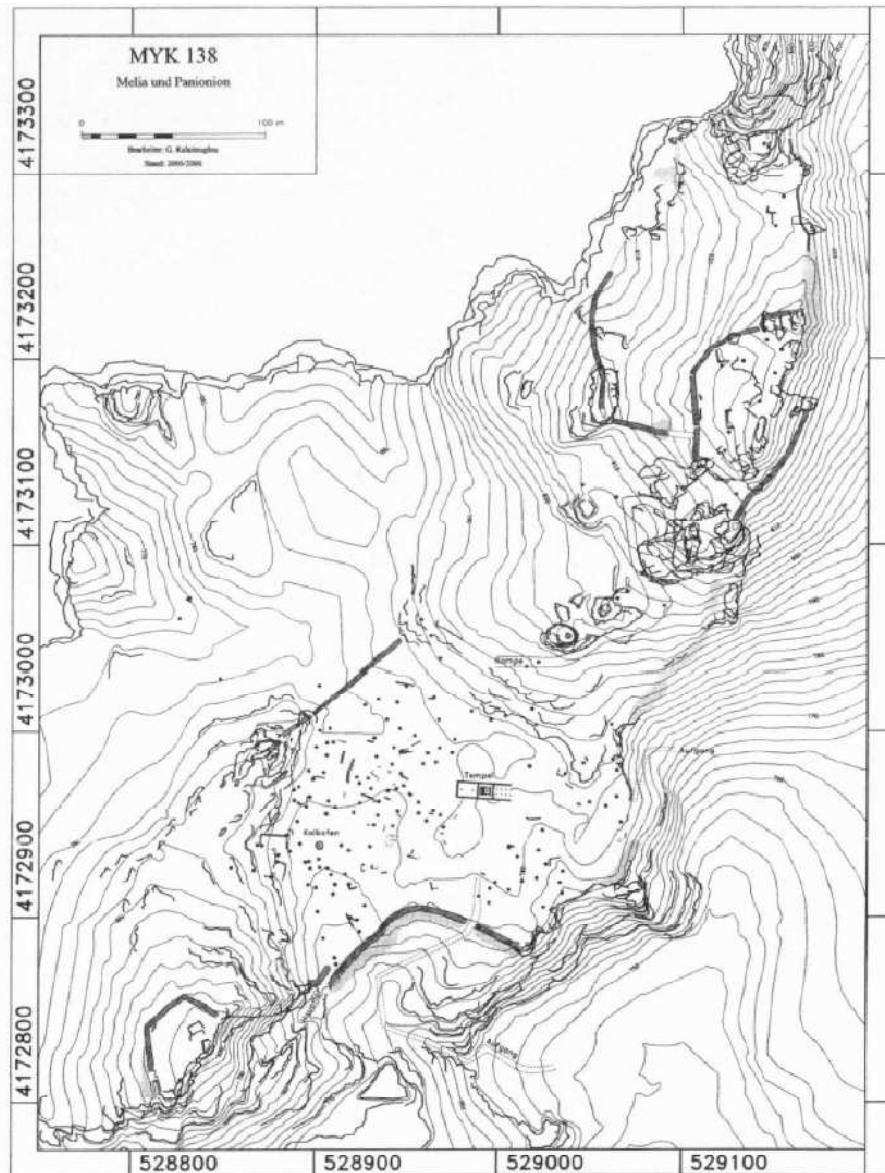


Fig. 218. Çatallar Tepe. Plan du site (Lohmann *et al.*, 2007, fig.53)

Kaletepe

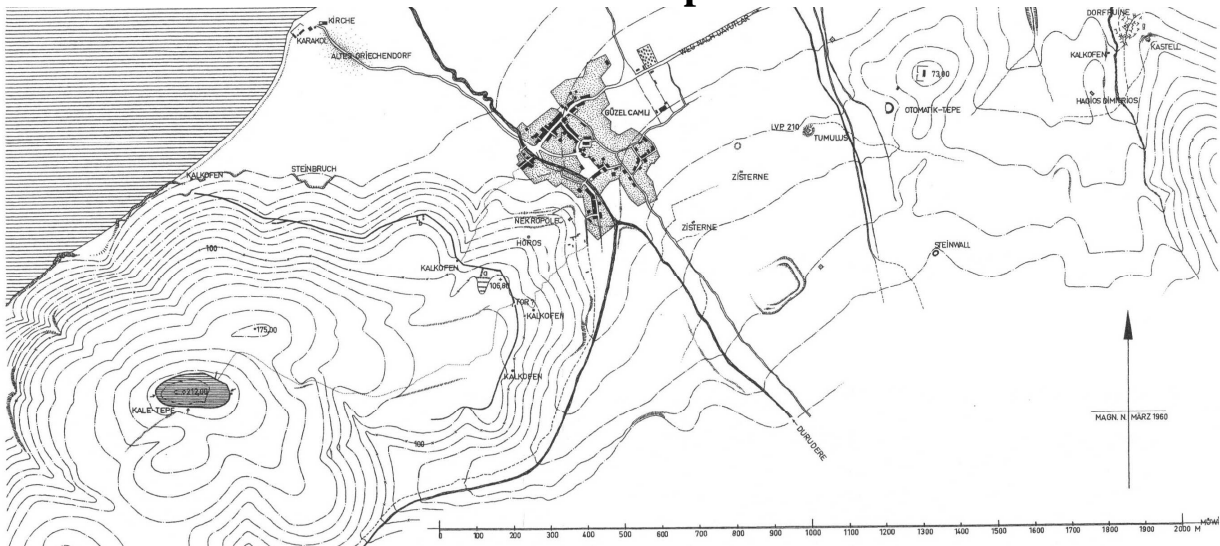


Fig. 219. Kaletepe et ses environs. (Kleiner *et al.*, 1967 pl.1)
Le mur de la citadelle est en grisé. L'enceinte extérieure est visible sur le bas de la pente.

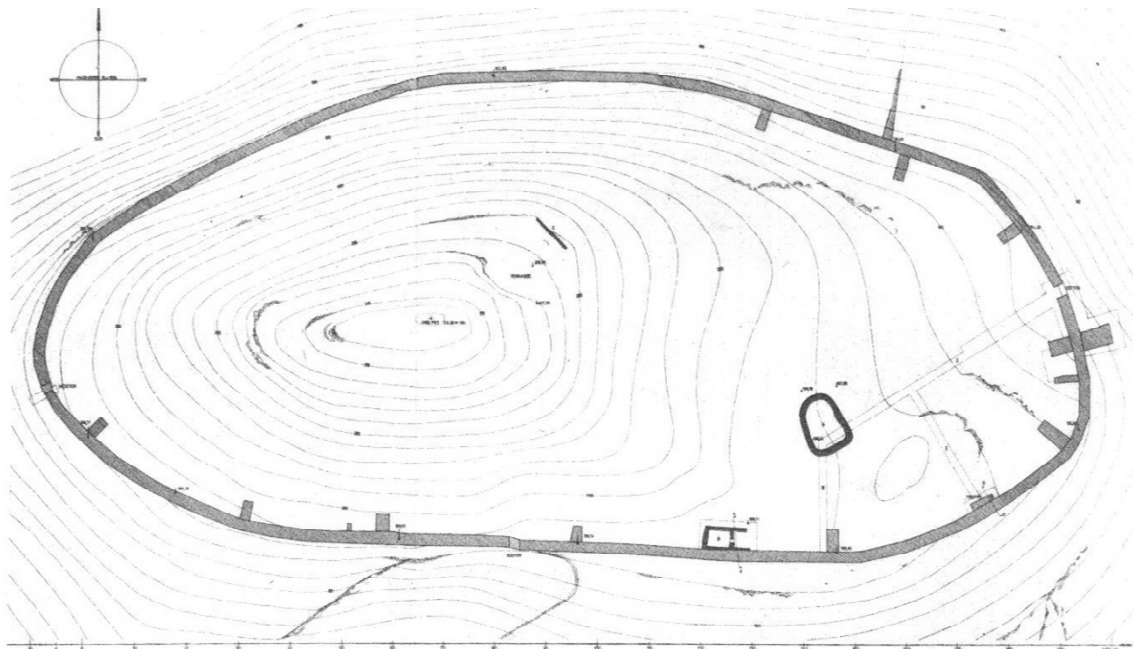


Fig. 220. Kaletepe. Enceinte au sommet du Kaletepe (*ibid.*)



Fig. 221. Kaletepe. Section du mur sud (*ibid.* fig.49)

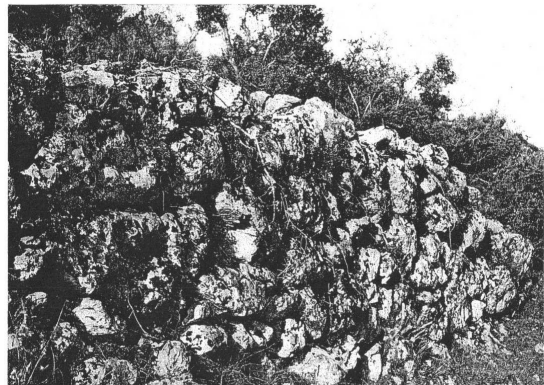


Fig. 222. Kaletepe. Section du mur nord (*ibid.* fig.49)

Samos



Carte 14. Vue aérienne du Mykale et de l'île de Samos (carte de l'auteur d'ap. Google maps)

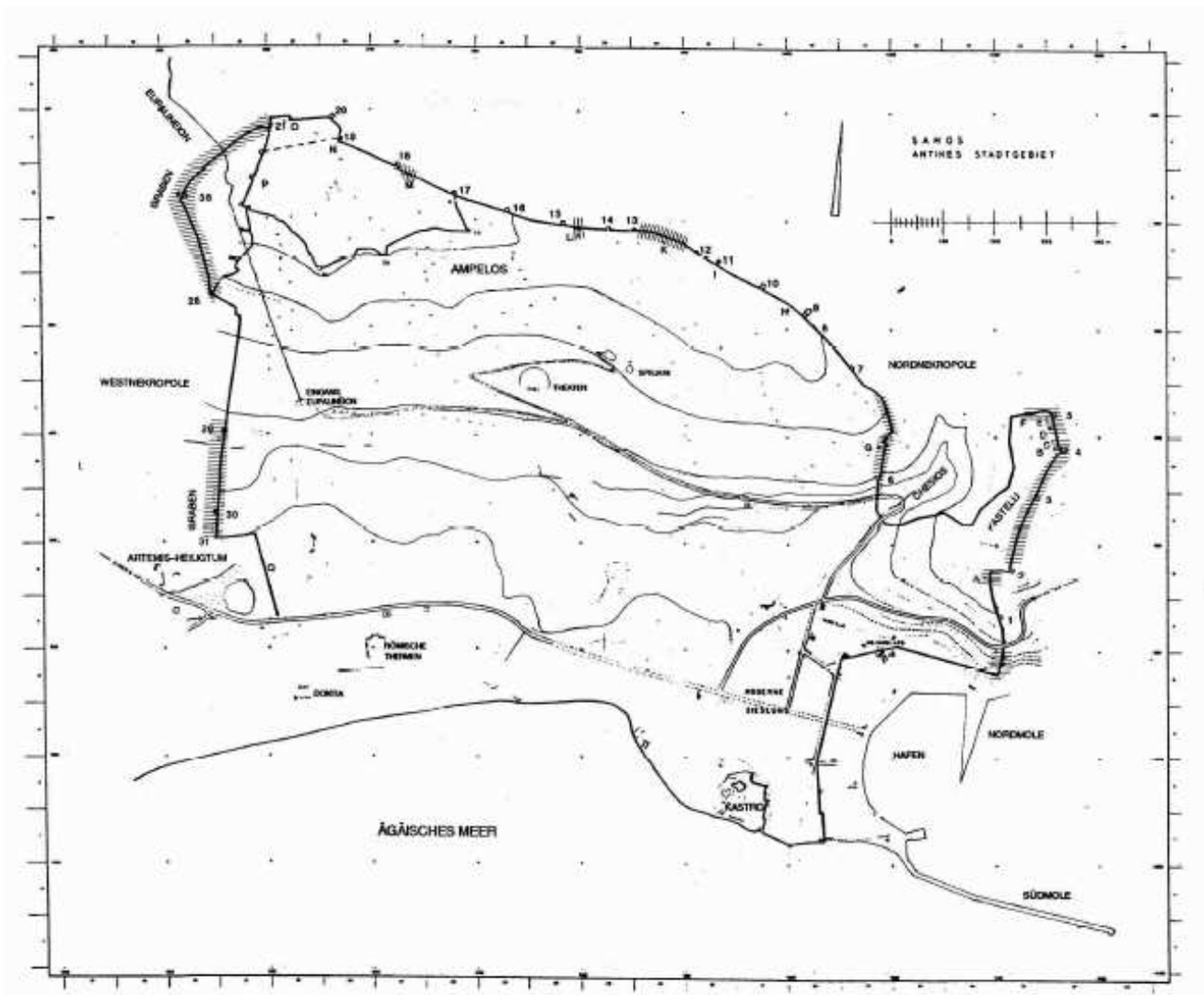


Fig. 223. Samos. Plan du site (tracé du mur archaïque en grisé) (Lang, 1996, fig. 89 d'ap. Kienast, 1978)

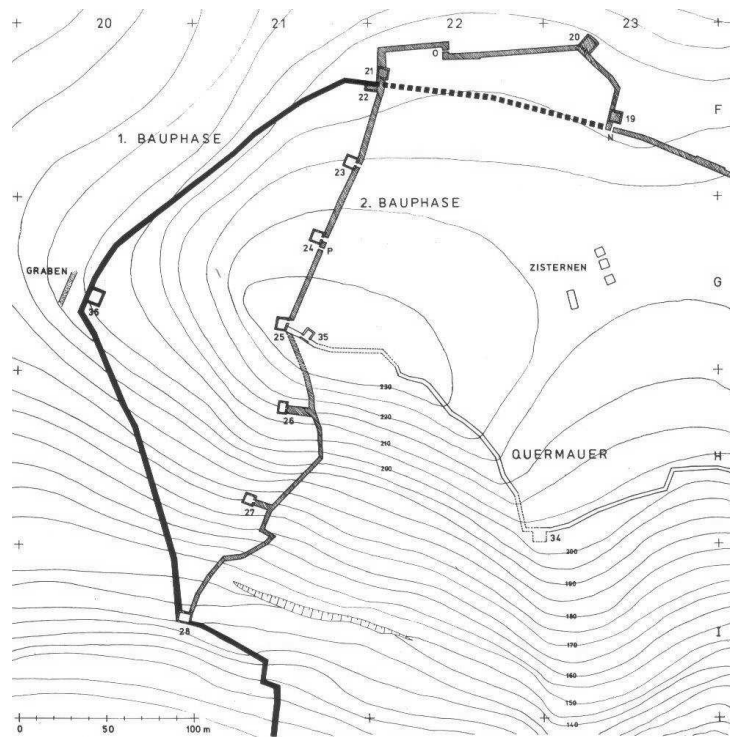


Fig. 224. Samos. Section nord ouest de l'enceinte archaïque (Kienast, 1978, fig. 17)



Fig. 225. Samos. Section du rempart nord. Vue vers le Mykale (ph. de l'auteur)



Fig. 226. Samos. Section du rempart nord. (ph. de l'auteur)



Fig. 227. Samos. Poterne avec section en appareil polygonal (pforte D-Kastelli) (ph. de l'auteur)

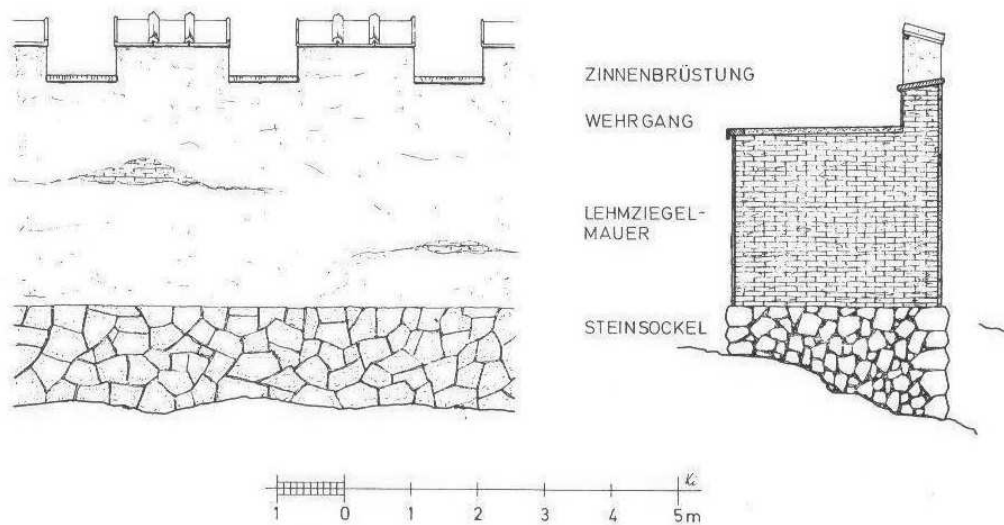


Fig. 228. Samos. Restitution hypothétique du rempart. Vue de face et en coupe (Kienast, 1978, fig. 20)

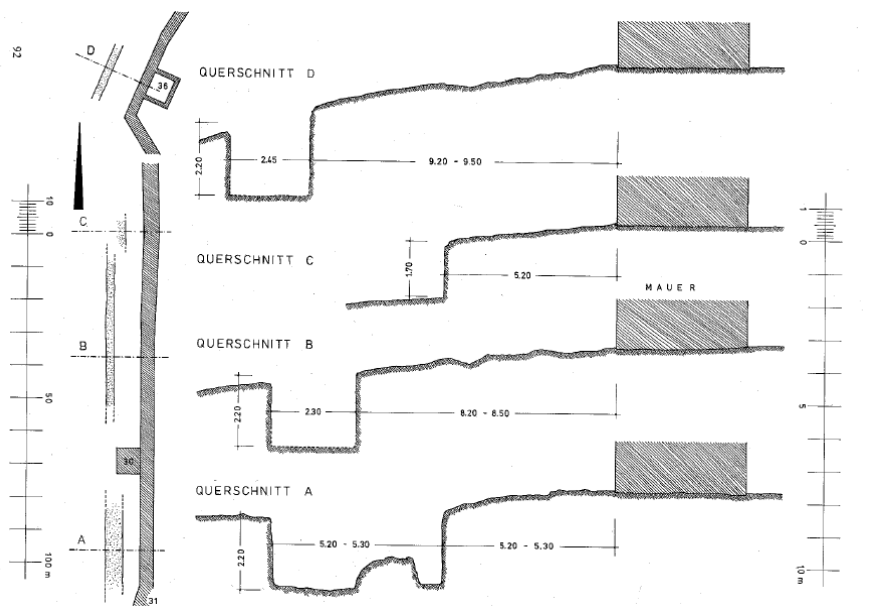


Fig. 229. Samos. Relevé en coupe des fossés (Kienast, 1978, fig.50)

Ephèse



Fig. 230. Ephèse. Plan du site (Tréziny, d'après Scherrer, 2001)

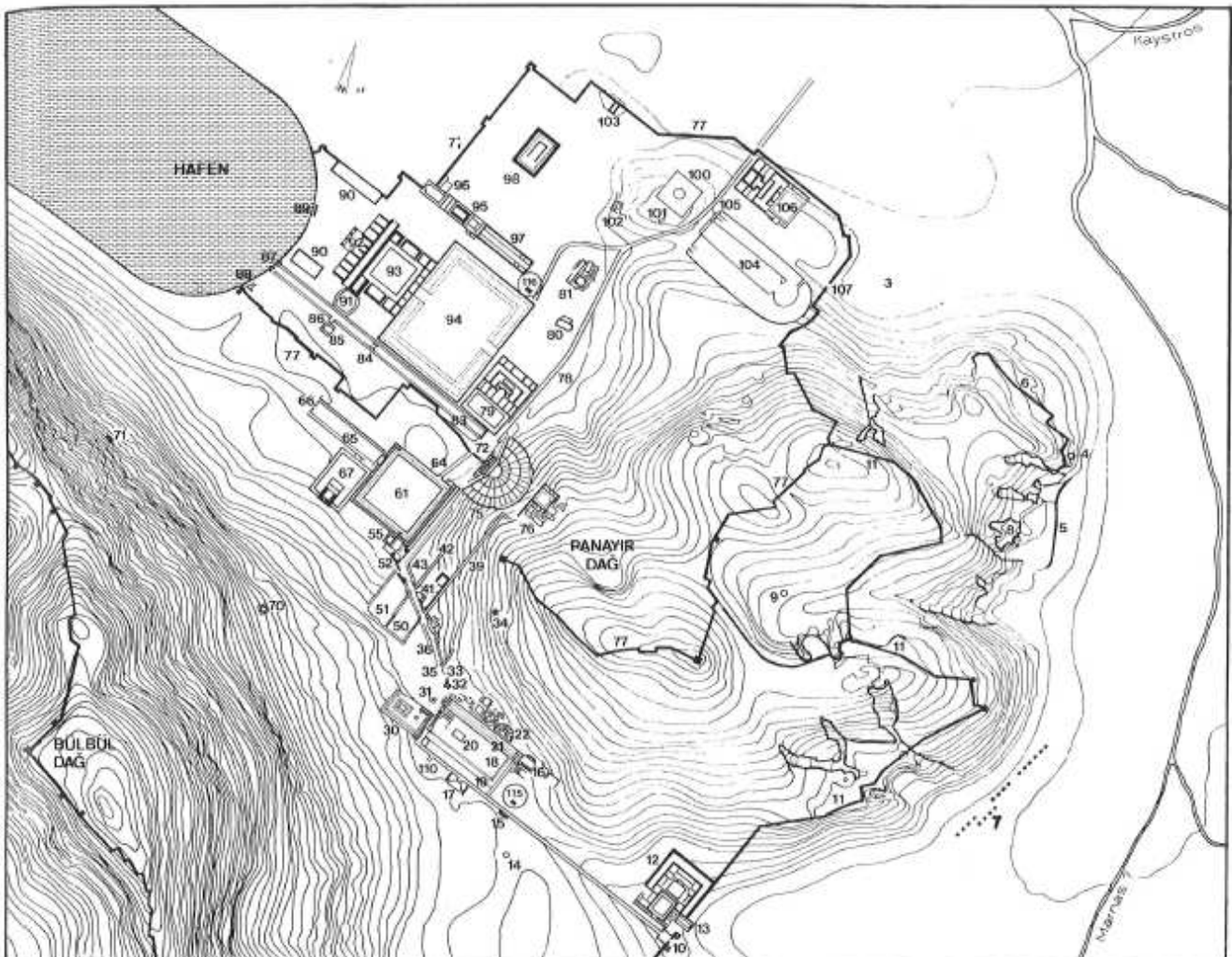


Fig. 231. Ephèse. Plan du secteur de Panayır Dağ (Scherrer, 2001, fig.3.9.)
(6-Mur de fortification)



Fig. 232. Ephèse. Section du mur sur le Panayır Dağ (Kerschner et al., 2008, pl.40)

Colophon

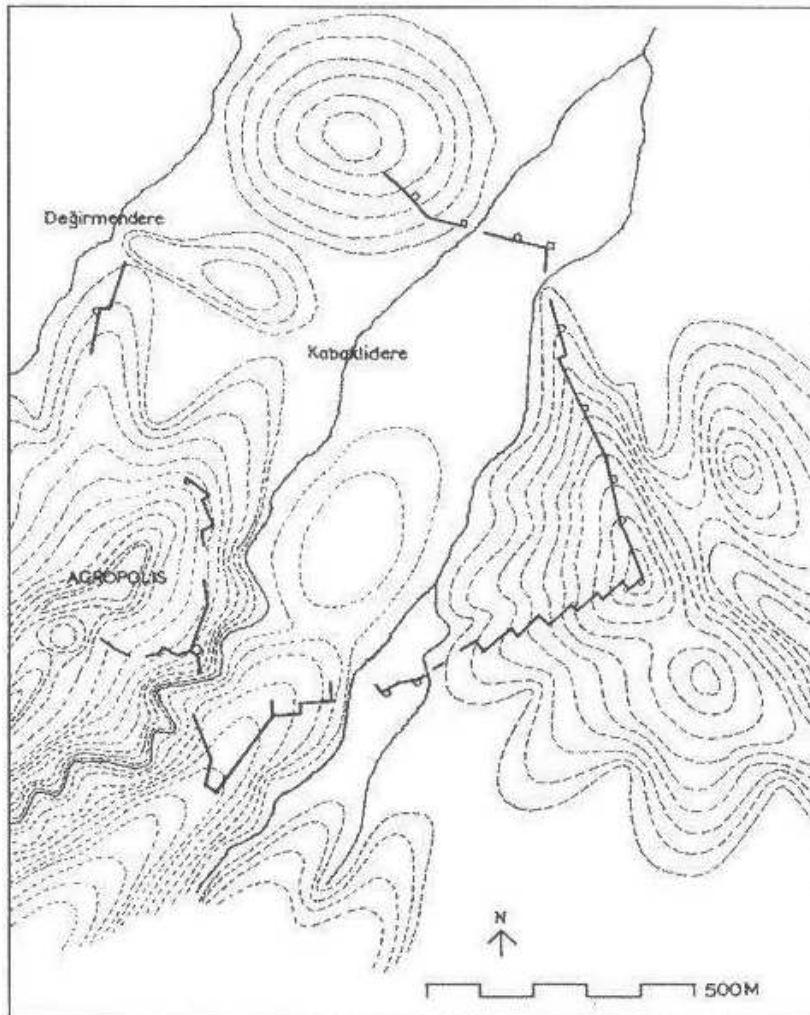


Fig. 233. Colophon. Plan du site (Mc Nicoll, 1997, 70)

Téos et Clazomènes

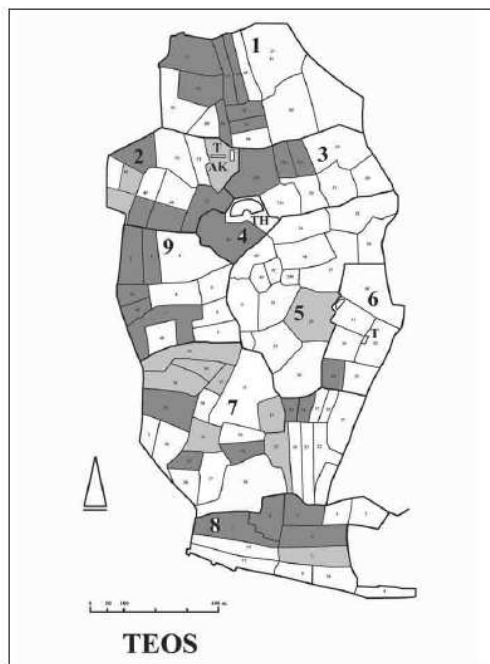
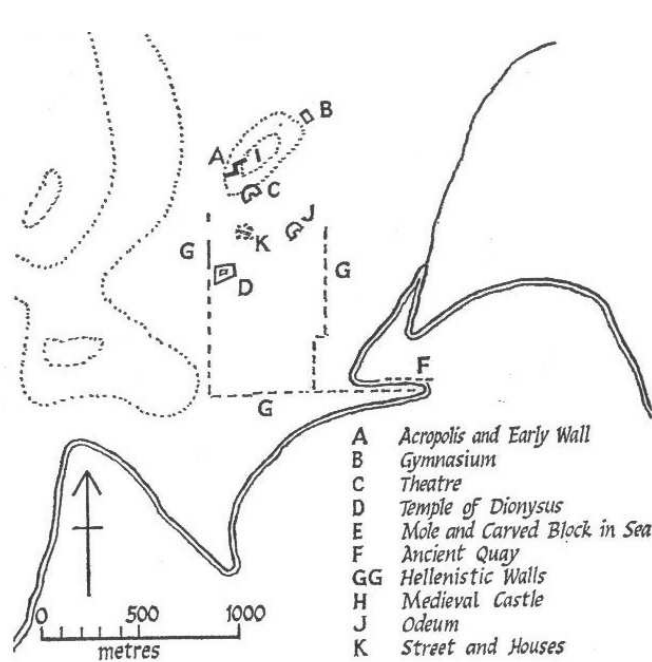


Fig. 234. Téos. Plan du site (Bean, 1979 (a), Fig. 36)

Fig. 235. Téos. Plan 2 (Ersöy et Koparal, 2010, fig.1)

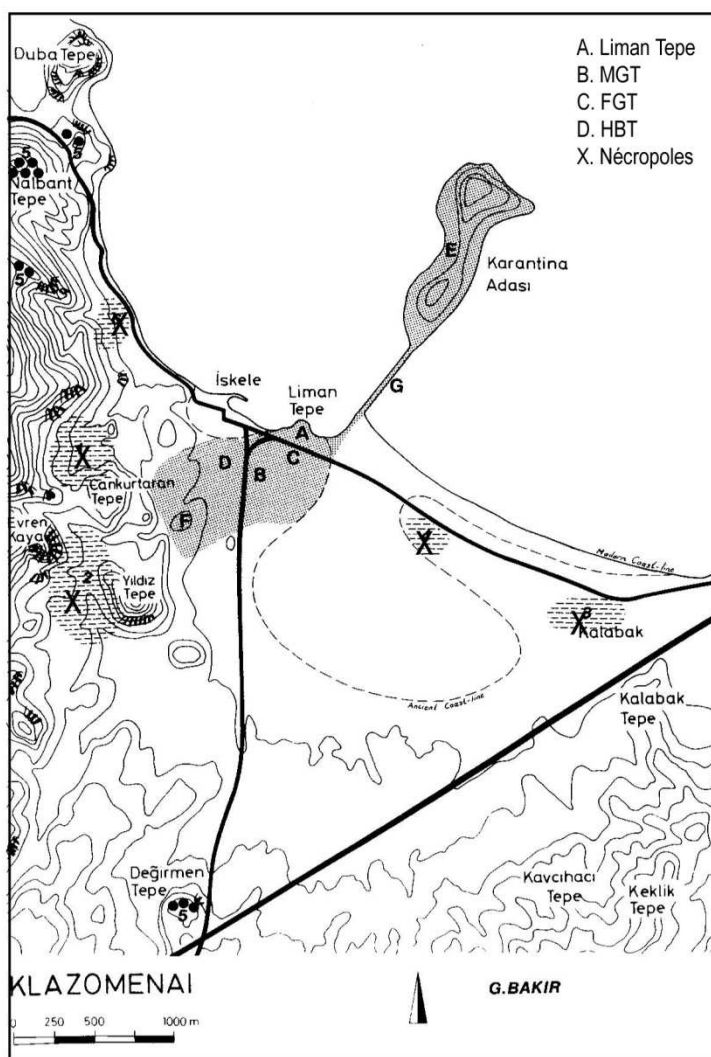


Fig. 236. Clazomènes. Plan du site (d'après Ersöy, 2007, fig.1)



Fig. 237-238. Clazomènes. Mur d'enceinte dans le secteur de la porte (Bakır *et al.*, 2008, fig.11 et 13)

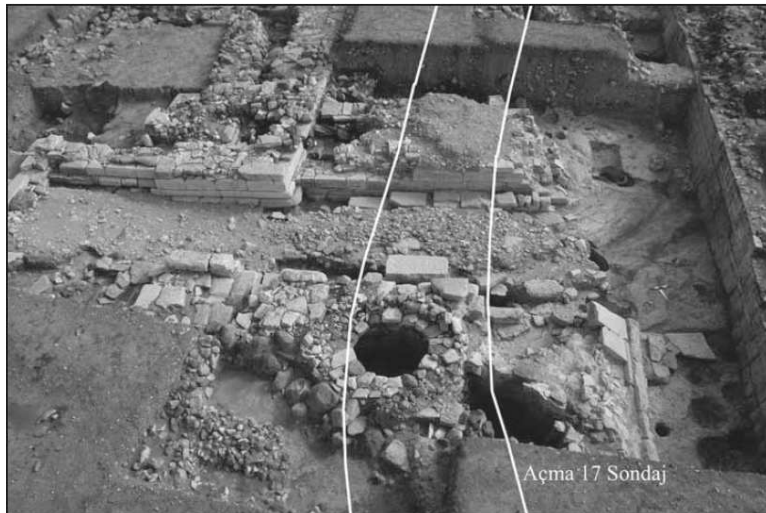


Fig. 239. Clazomènes. Vue de la porte (Ersöy *et al.* 2011, fig.5)

Fig. 240. Clazomènes. Blocs à l'angle de la porte (Bakır *et al.*, 2005, fig.9)



Fig. 241-242. Clazomènes. Glacis. (Ersöy *et al.* 2010, fig. 3 et 2)

Kocadümen Tepe, Erythrées et Lébédos

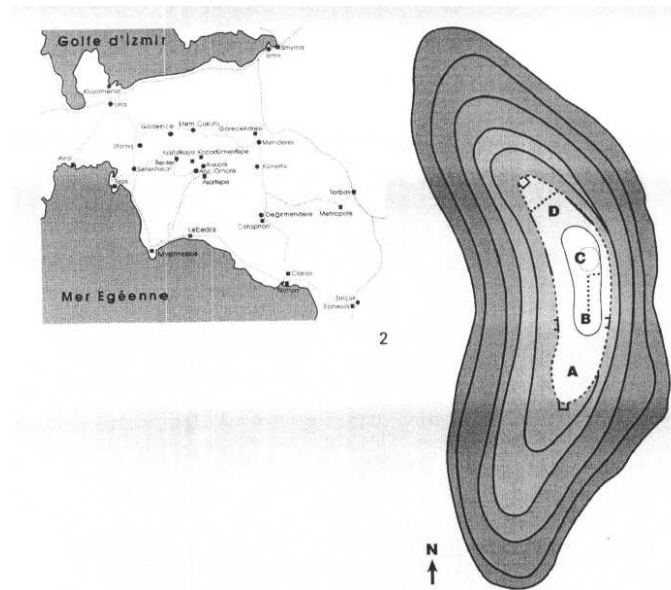


Fig. 243. Kocadümen Tepe. Plan (Beden et Manucci, 2005, 114)

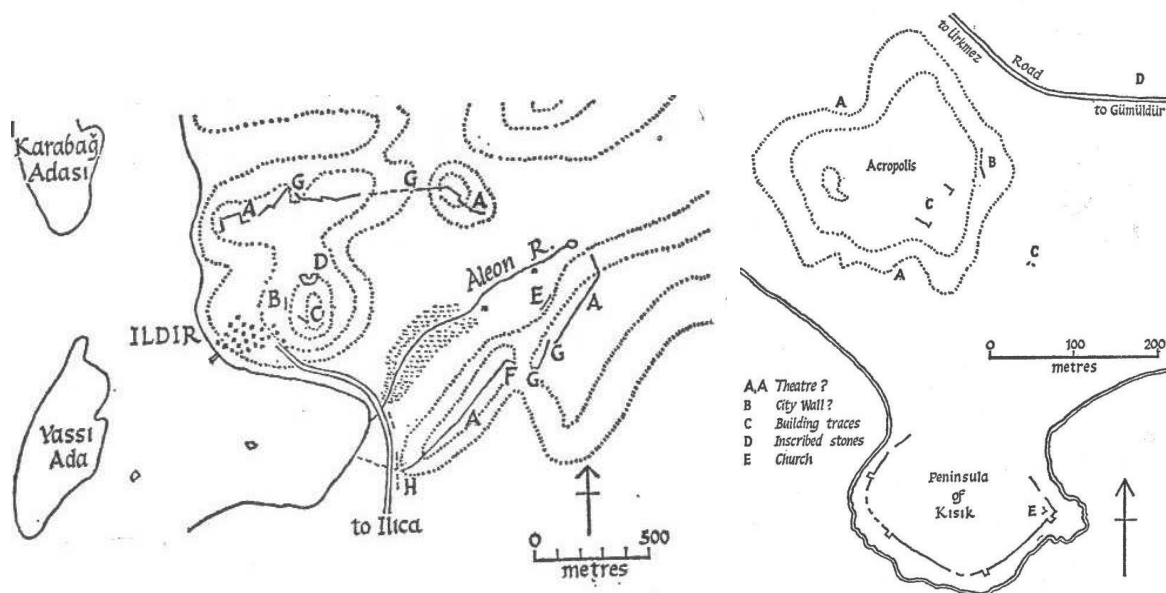


Fig. 244. Erythrées. Plan du site

AA: enceinte (hellénistique) ; B: Mur de l'acropole ; C: mur de terrasse ; D: Théâtre ; E: terrasse ; GG: portes ; H: aqueduc
(Bean, 1979 (a), Fig. 31)

Fig. 245. Lébédos, Plan du site (*Ibid.*, Fig. 30)

Emporio (Chios)



Fig. 246. Emporio. Chios. Vue du site (Boardman, 1967, pl.1a)

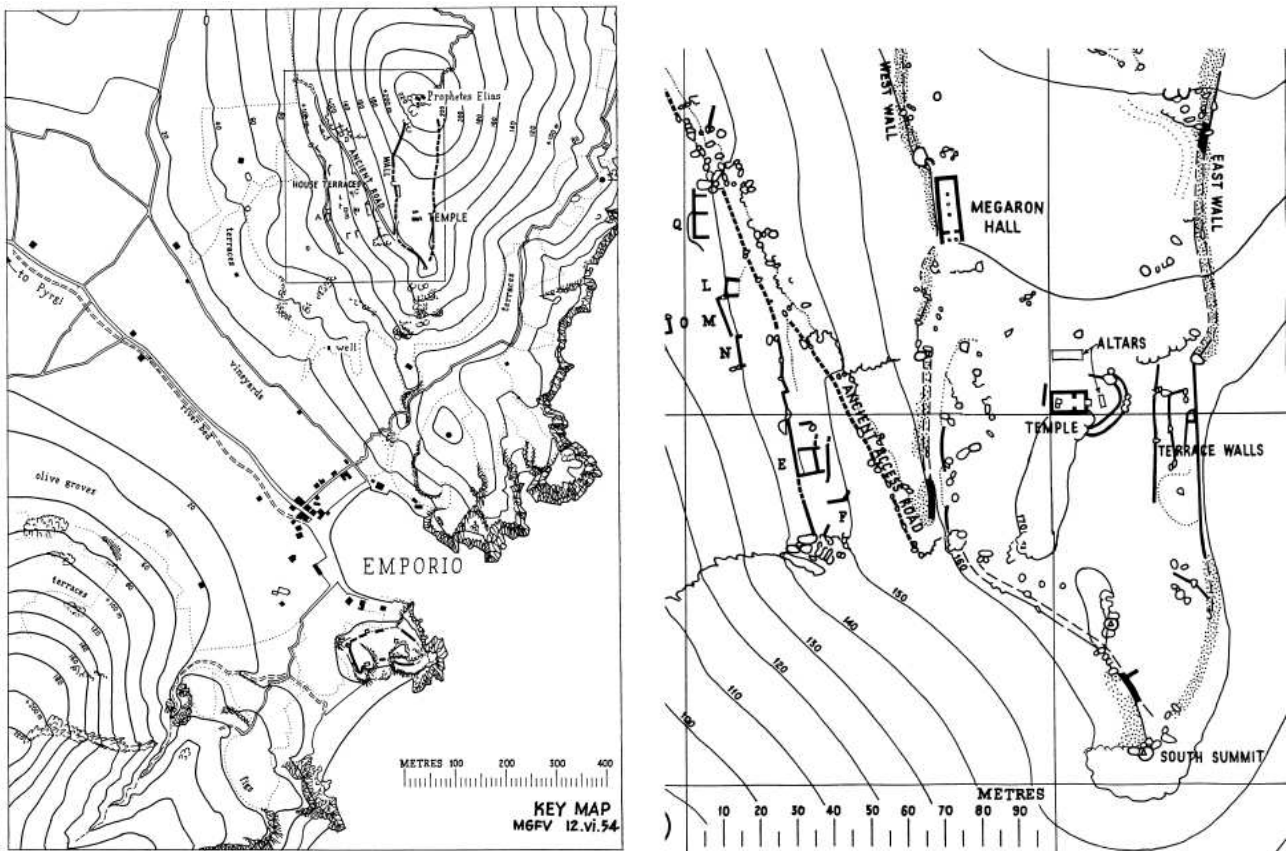


Fig. 247-248 Emporio. Chios. Plan du site et de la partie sud de l'acropole (Boardman, 1967, fig.2 et 4)

Smyrne

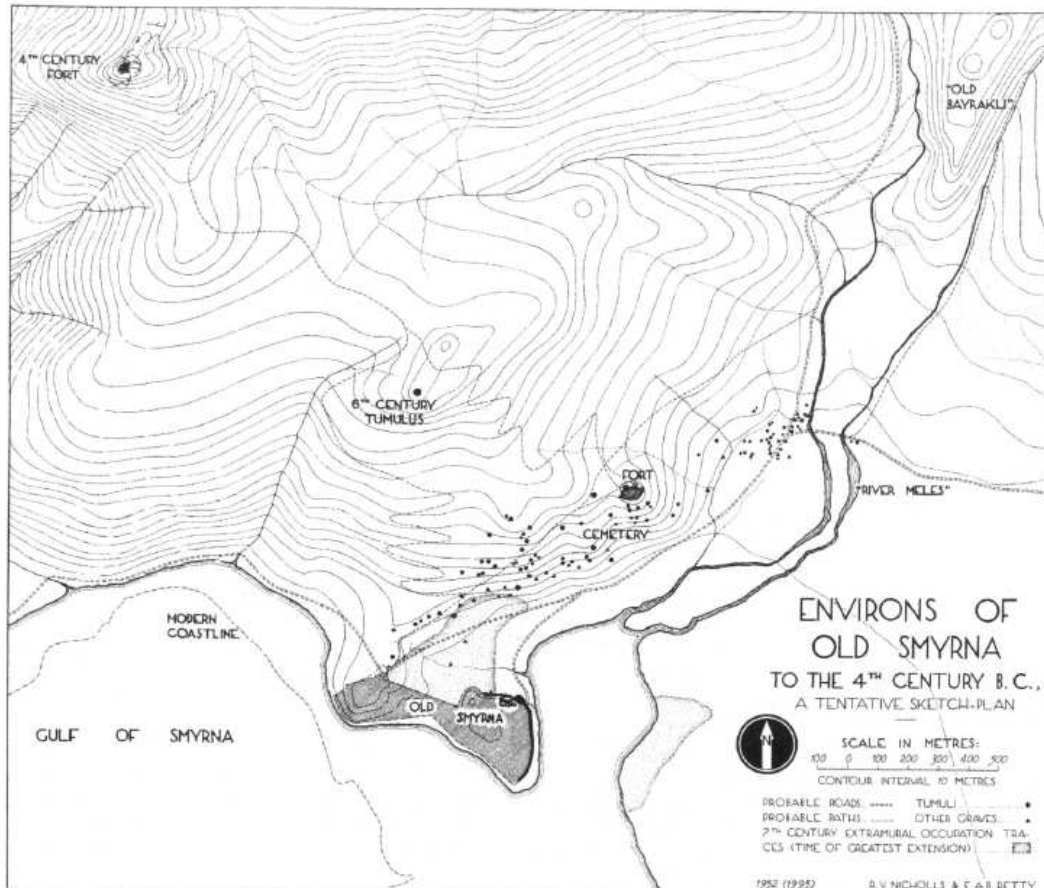


Fig. 249. Plan des environs de Smyrne (Cook et Nicholls, 1998, fig.1)



Fig. 250. Smyrne dans les années 1930 (Miltner, 1932, fig.80)

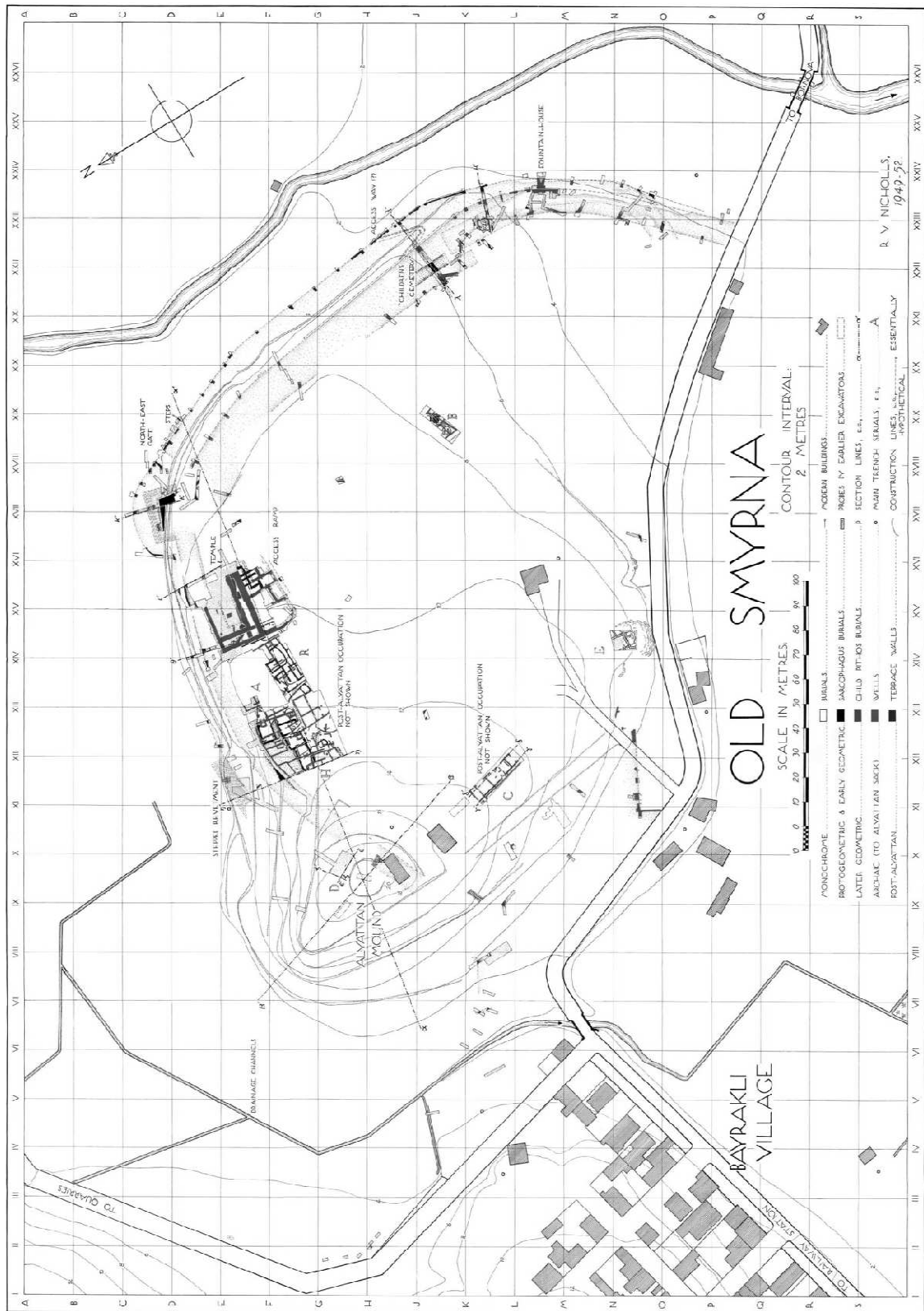


Fig. 251. Smyrne. Plan des premières zones de fouilles (Nicholls, 1958-1959, plan)



Fig. 252. Smyrne. Plan du site
 (d'après Akurgal, 2005, fig.1 et ph. de l'auteur du plan présenté sur le site de Bayraklı)
 13 : mur du VIIe s. - 14 : Avant mur/ mur extérieur archaïque



Fig. 253. Smyrne. Vue des murs dans la partie orientale du site (ph. de l'auteur)



Fig. 254-255. Smyrne. Murs du VII^e s. et du couronnement en appareil polygonal lesbien (VI^e s.) (ph. de l'auteur)



Fig. 256. Smyrne. Socle du VII^e s. et superstructure en appareil polygonal lesbien (VI^e s.) (ph. de l'auteur)



Fig. 257. Smyrne. Avant mur du VI^e s et possible porte dans l'enceinte principale (arrière plan) (ph. de l'auteur)

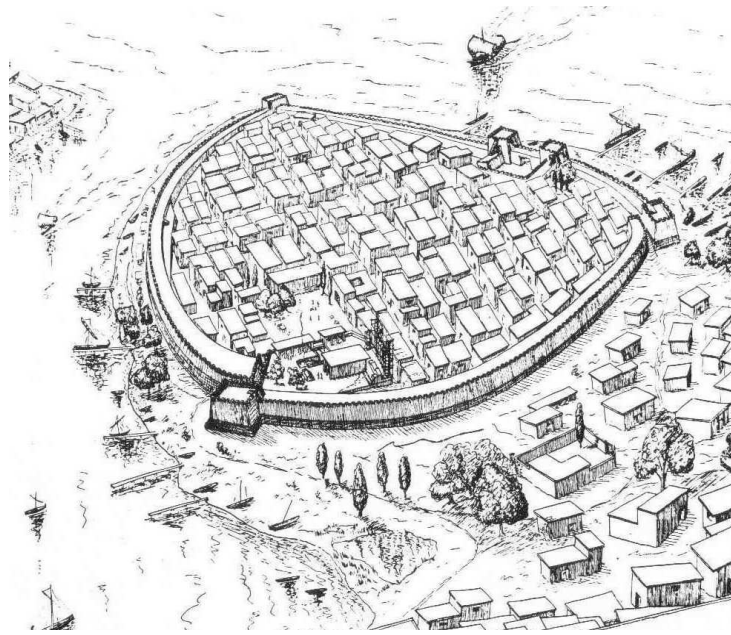


Fig. 258. Smyrne. Représentation de la cité et de ses défenses autour de 700
 (Cook, 1958-1959, fig. 3)

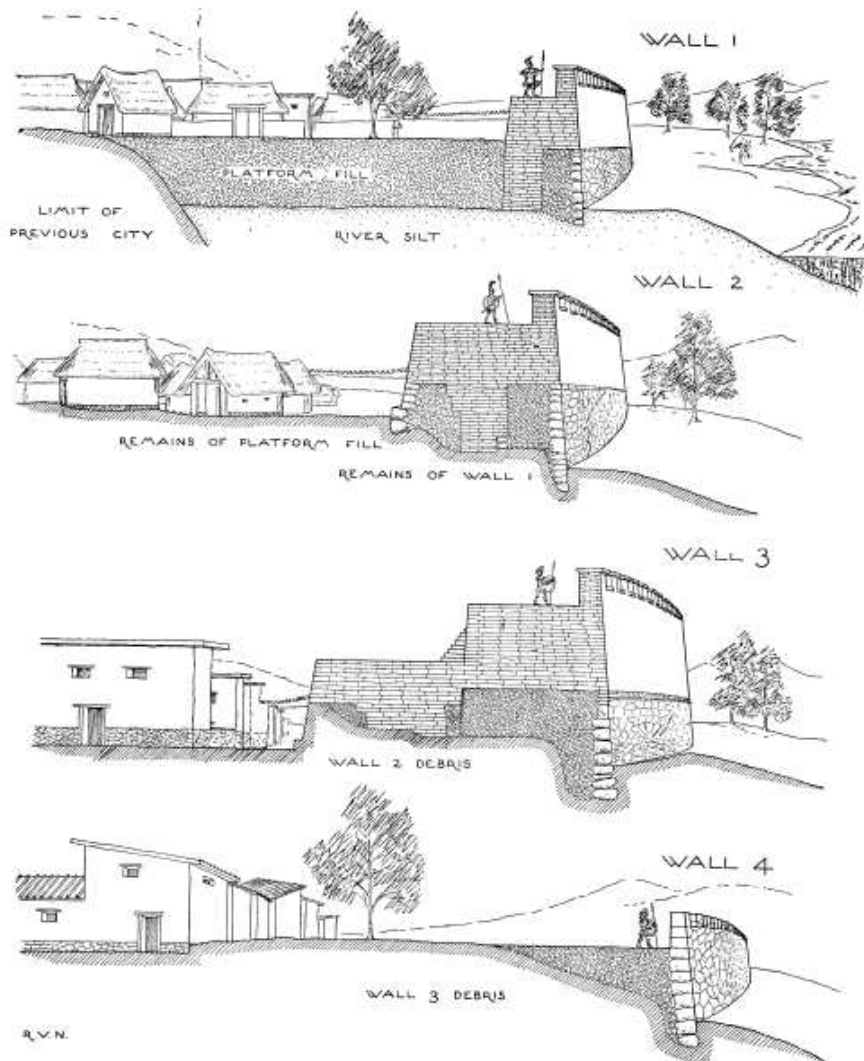


Fig. 259. Smyrne. Interprétation simplifiée des quatre phases de fortification du site (Mur 1 à 4)
 (Nicholls, 1958-1959, fig.7)

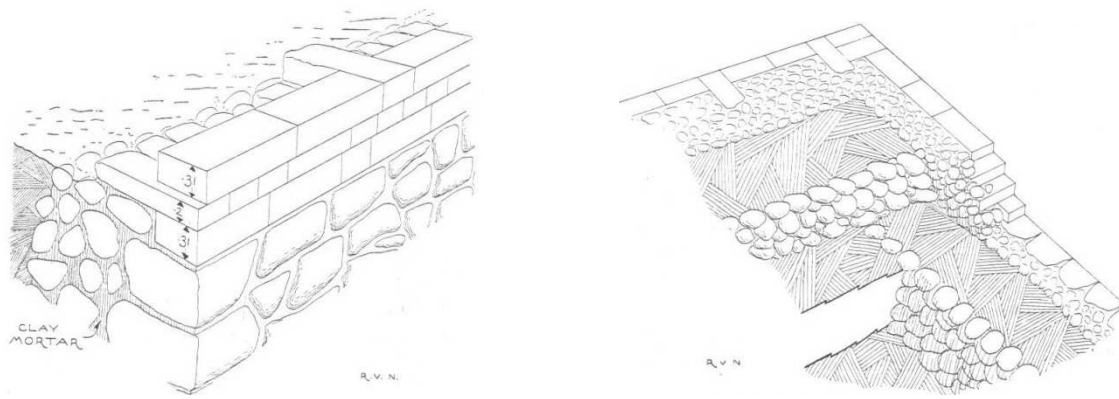


Fig. 260-261. Smyrne. Tour nord-est. Elévation et du remplissage (*ibid.* fig. 32 et 30)

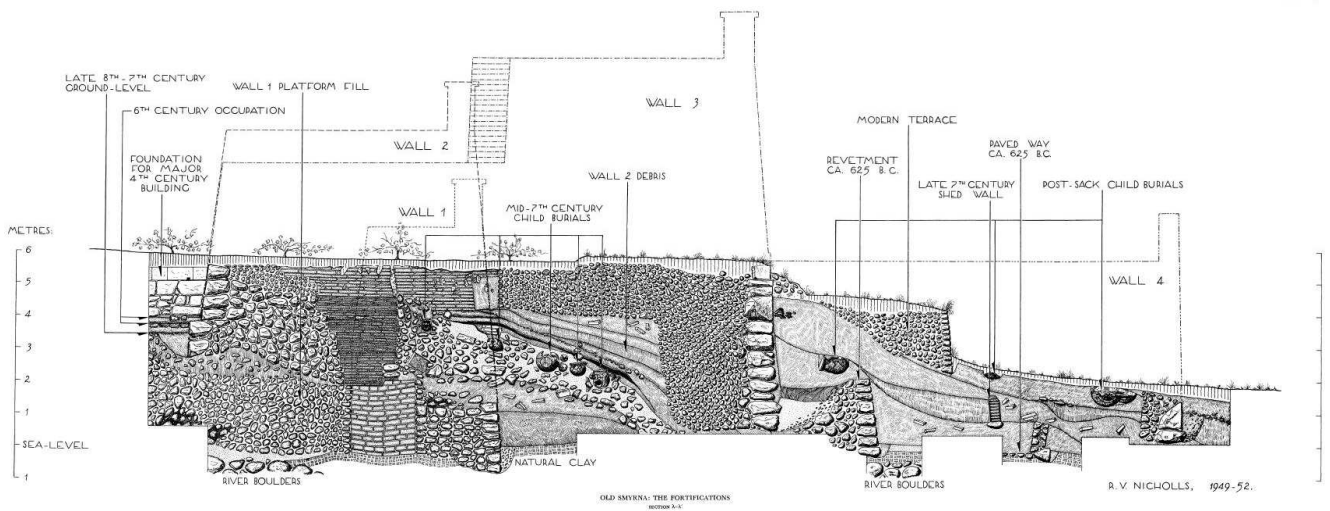
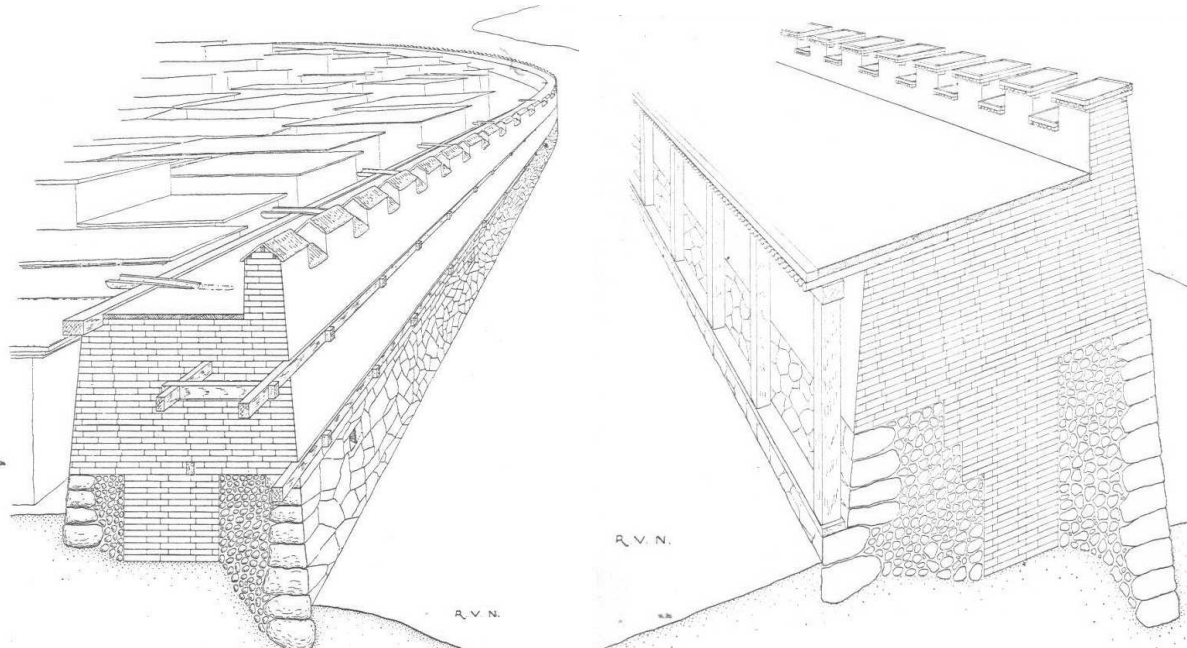


Fig. 262. Smyrne. Section des différents états de l'enceinte. (Nicholls, 1958-1959, pl.7)



A

B

Fig. 263. Smyrne. Représentations hypothétiques de l'enceinte (remplissage, chaînages de bois, socle, couronnement) (*ibid.* fig.34 et 35)

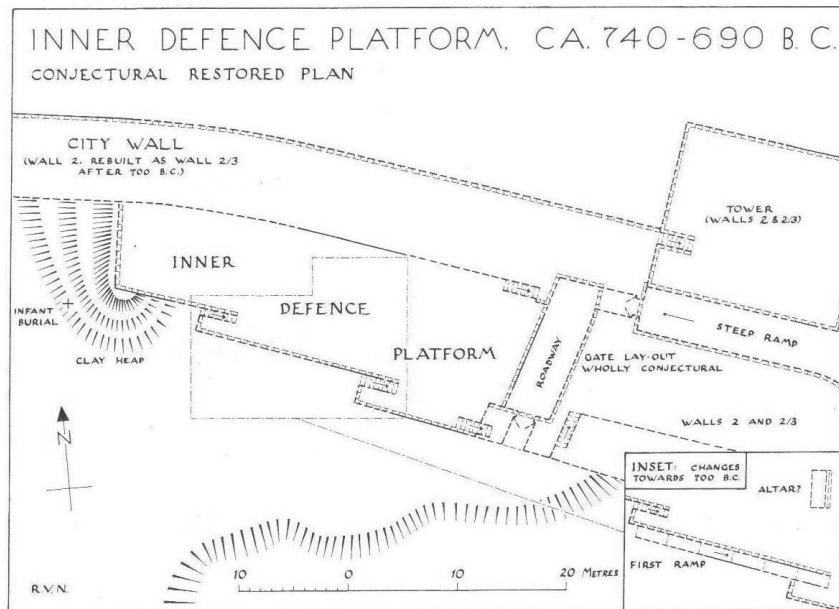


Fig. 264. Smyrne. *Inner Defence Platform* (Cook et Nicholls, 1998, fig. 8)

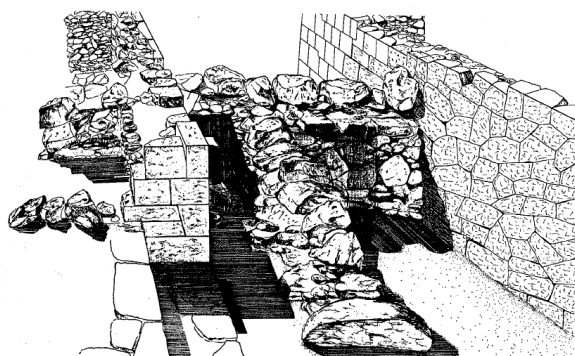


Fig. 265-266. Barricade du VI^e s. dans le temple d'Athéna (Akurgal, 1983, fig.52b et ph. de l'auteur)



Fig. 267. Smyrne. Glacis. Mur 4 (époque classique)
(Nicholls, 1958-1959, Pl. 14 (d))

Phocée

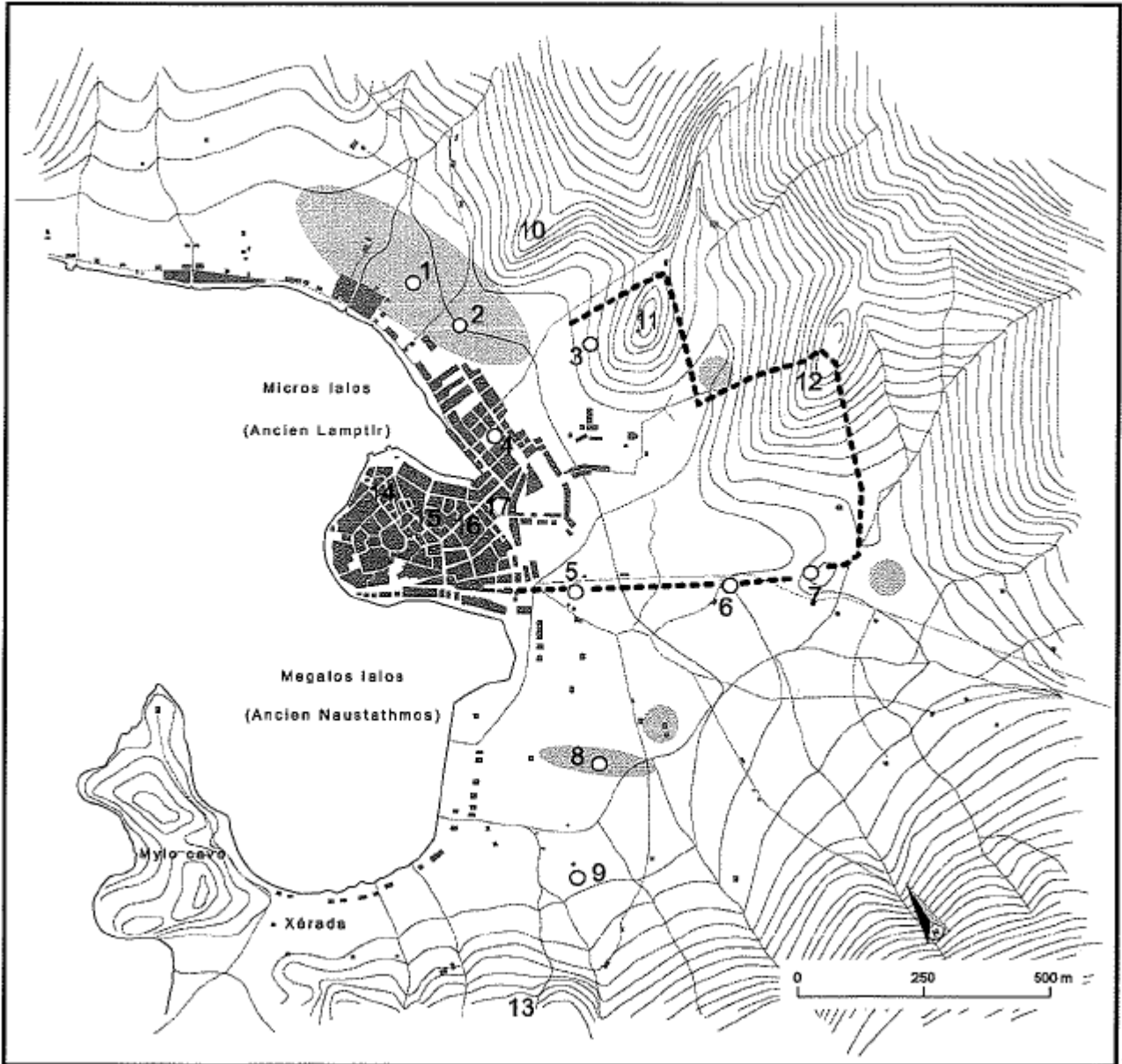


Fig. 268. Phocée. Plan du site. Tracé supposé du rempart (d'après Tréziny, 2006, fig.12)

1. « Mégaron nord » ; 2. Dépotoir romain; 3. Théâtre; 4. Habitat archaïque; 5-6. Rempart; 7. Secteur de Maltepe ; 8. Autels archaïques; 9. « Mégarons sud » ; 10. Çift Kayalar Tepe ; 11. Değirmen Tepe ; 12. Altın Mağarası Tepe ; 13. Colline du Prophète Élie; 14. Temple d'Athéna. En grisé, nécropoles.



Fig. 269. Phocée. Colline des moulins/du théâtre (ph. de l'auteur)



Fig. 270. Phocée. Colline dans la partie est de la cité (ph. de l'auteur)



Fig. 271. Phocée. Port. Section du rempart (ph. auteur)



Fig. 272. Phocée. Lits de pose (Özyiğit, 1994, ph.21)



Fig. 273. Phocée. Maltepe. Rempart et glacis (ph. auteur)

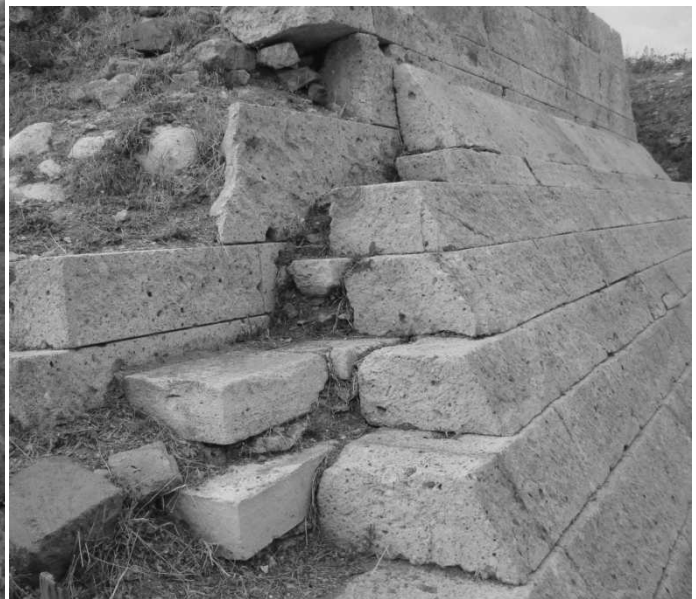


Fig. 274-275. Phocée. Maltepe. Glacis (ph. auteur)



Fig. 276. Phocée. Détail du glacis (rainure) (ph. auteur)

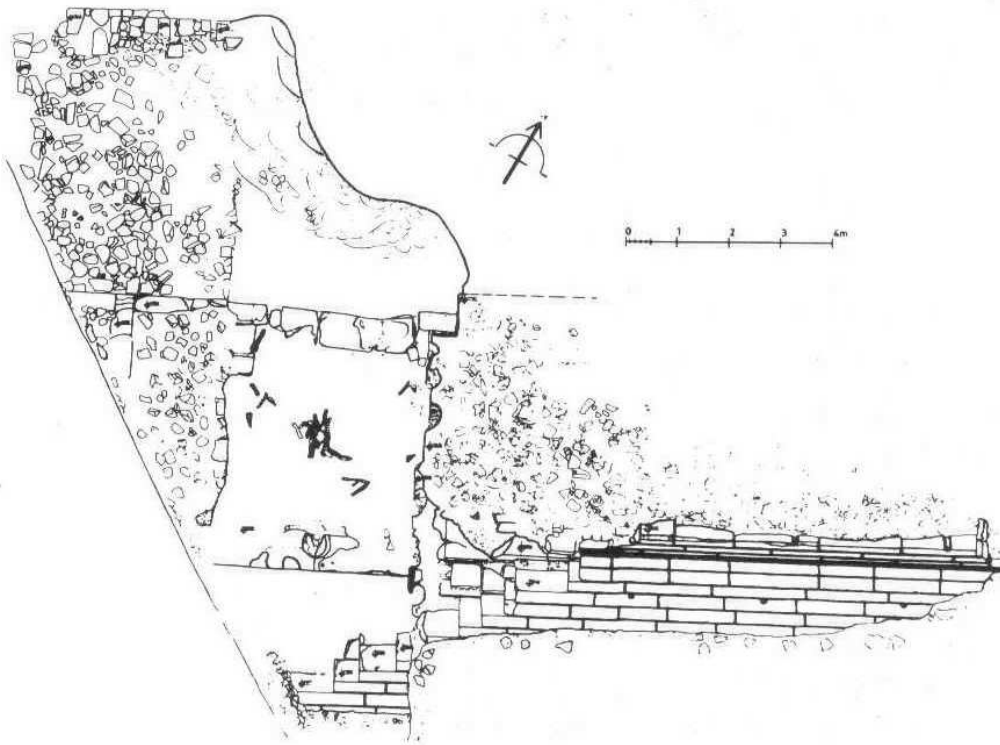
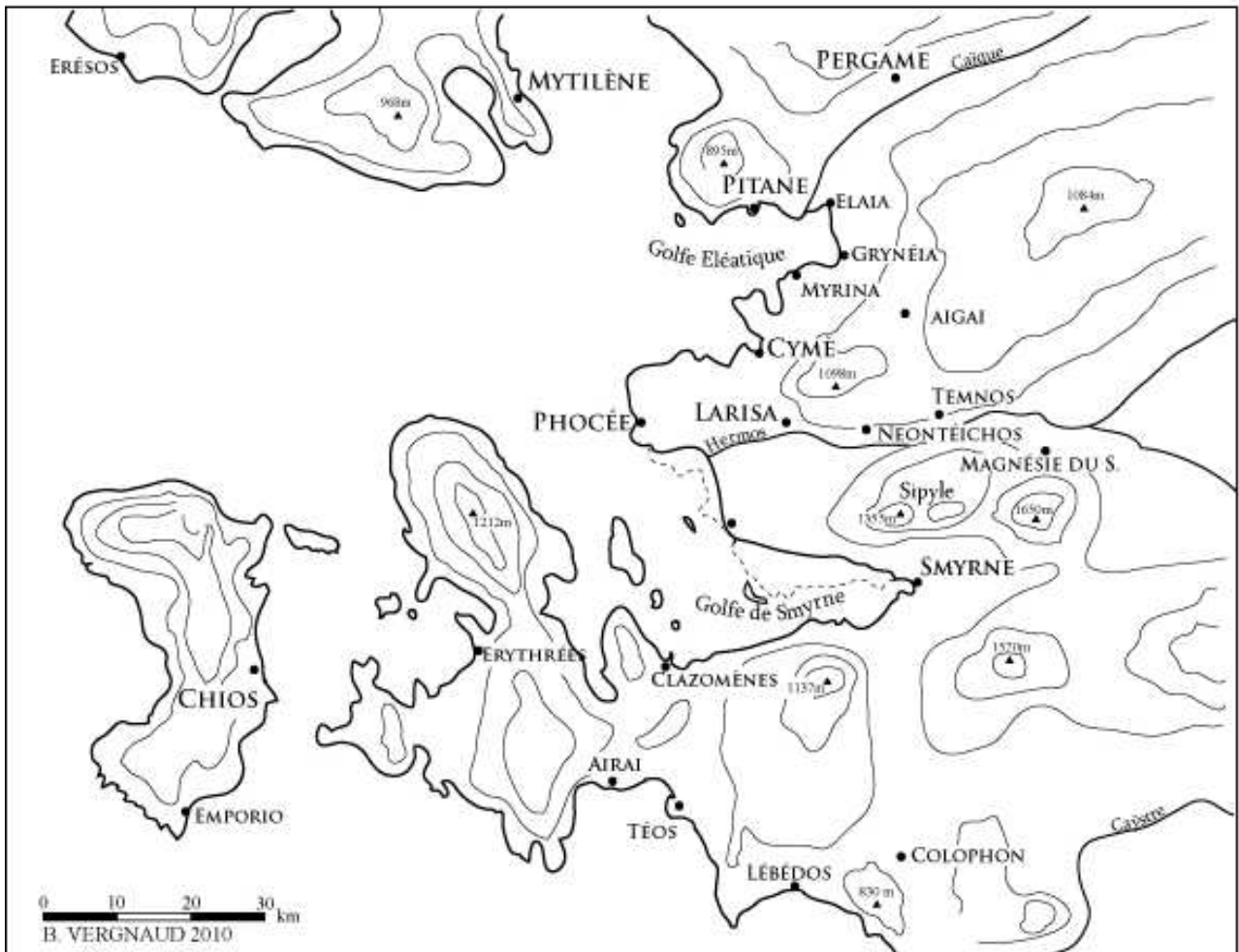


Fig. 277. Phocée. Maltepe. Plan de la porte (Özyiğit, 1994, fig. 4)



Fig. 278-279. Phocée. Maltepe. Vue de la porte. Empilement de blocs, traces d'incendie et boulet (*Ibid.*, Ph. 25-26)

Eolide



Carte 15. Eolide

Cymè

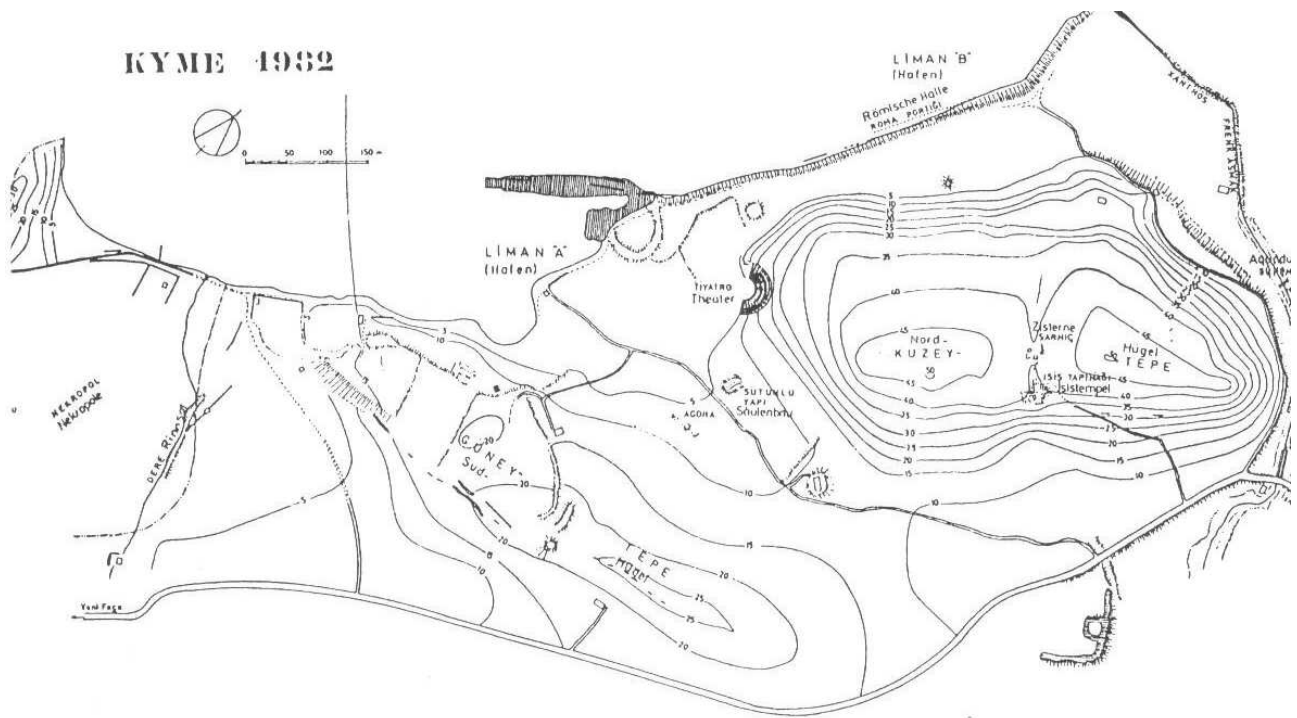


Fig. 280. Cymè. Plan du site
(Müller, 1997 d'après Vedat, « Kyme », *Belleten*, 53, 1989, Abb. 2)

Myrina

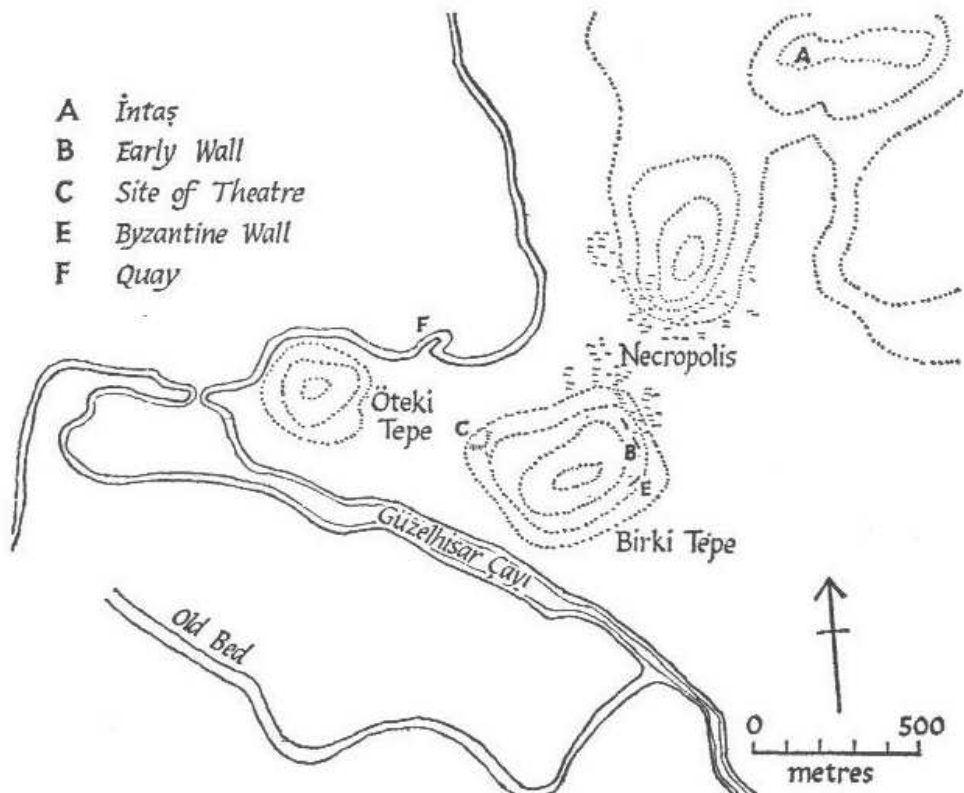


Fig. 281. Myrina. Plan du site (Bean, 1979a, fig. 16 d'après Pottier et Reinach)

Aigai



Fig. 282. Aigai. Plan du site (Bohn, 1889, fig.3)

Larisa sur l'Hermos

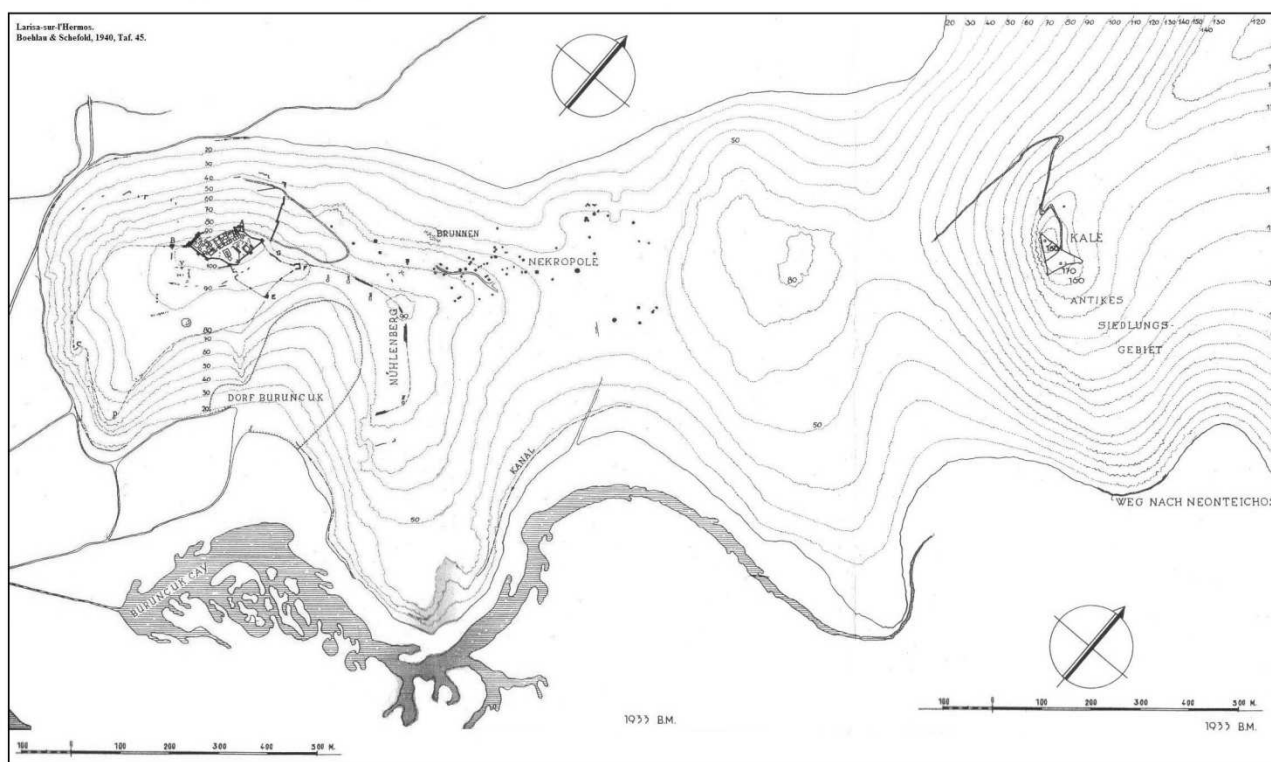


Fig. 283. Larisa sur l'Hermos. Plan du site et de ses environs (Boehla & Schefold, 1940, pl. 45)

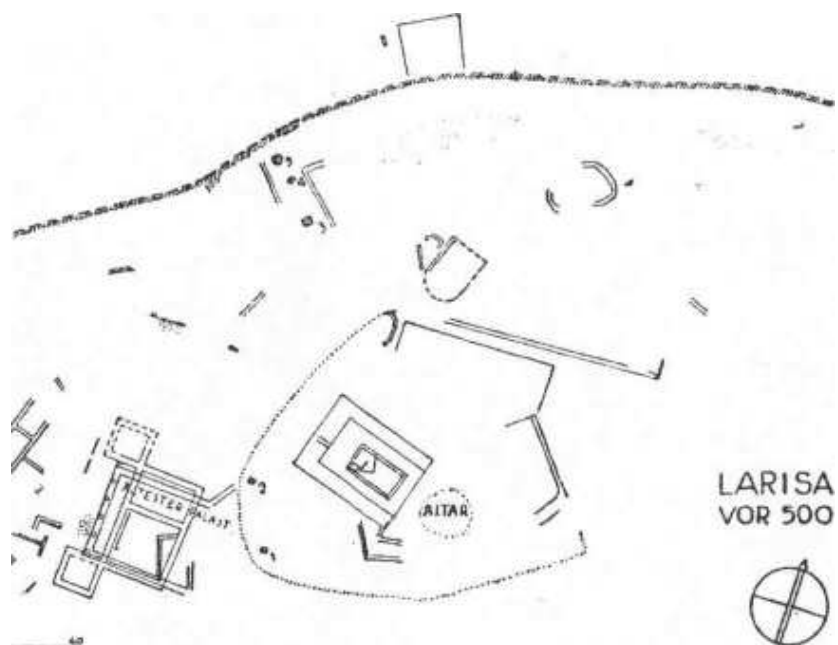


Fig. 284. Larisa sur l'Hermos. Plan du site avant 500
(Boehla et Schefold, 1940, fig.3)

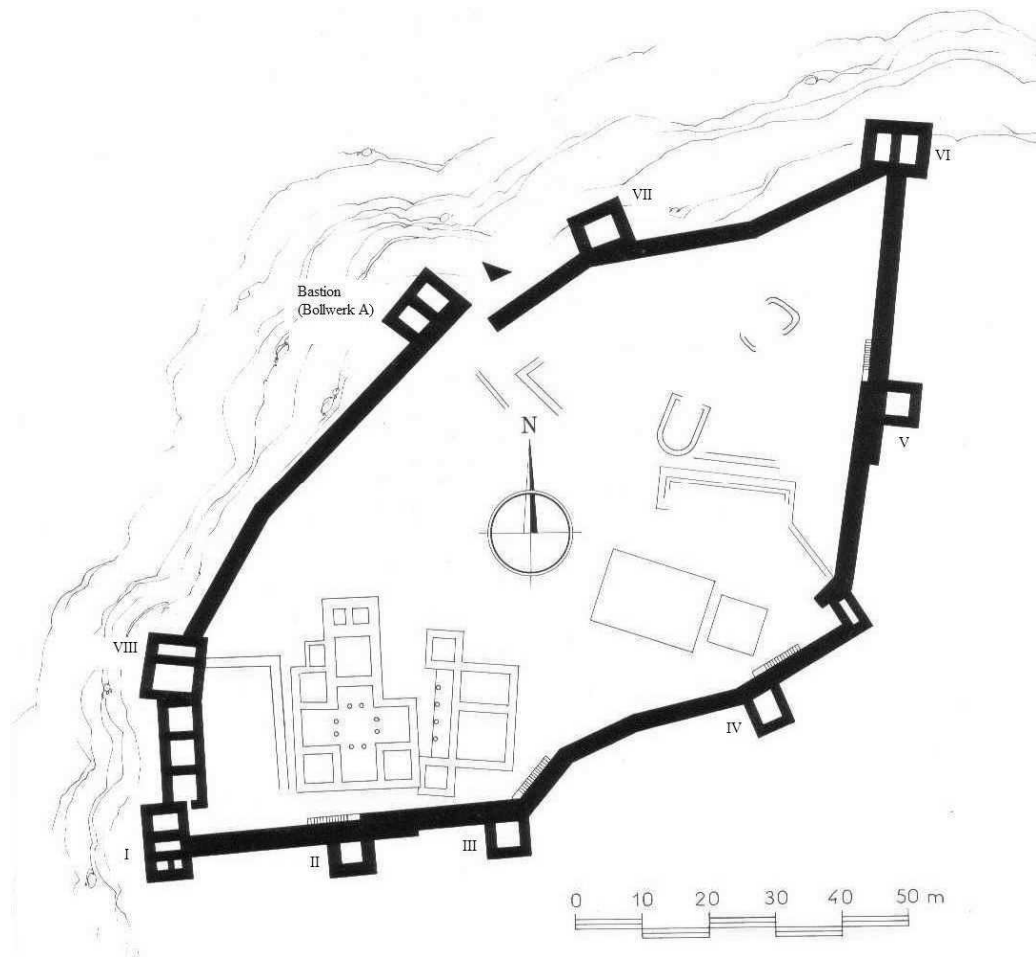


Fig. 285. Larisa sur l’Hermos. Plan des murs de la citadelle (Adam, 1992, fig.4)

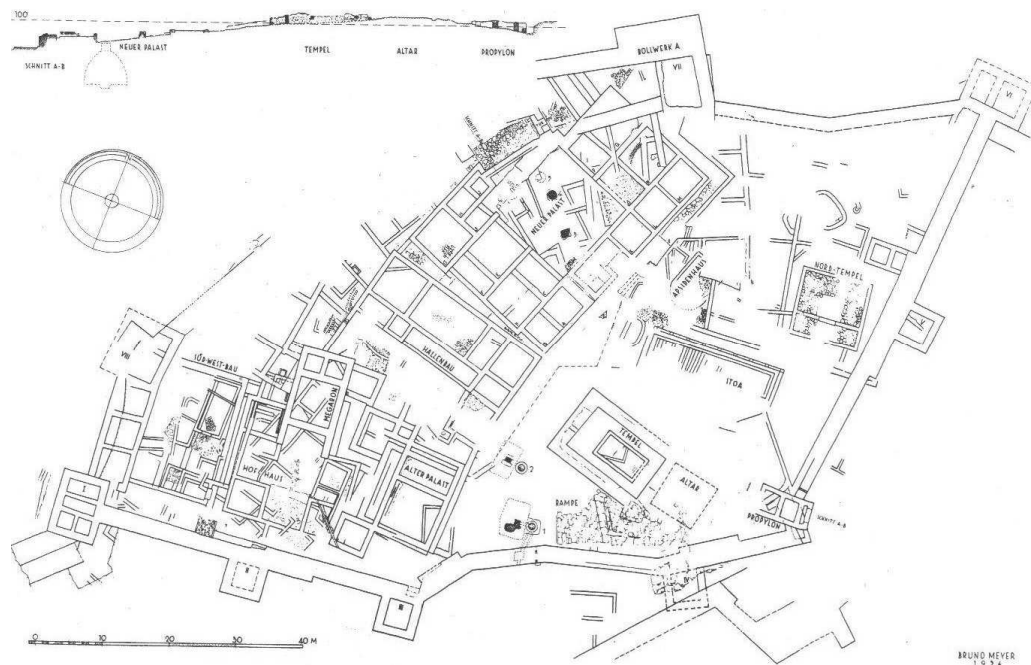


Fig. 286. Larisa sur l’Hermos. Plan des différentes phases de construction sur la citadelle (au centre, en pointillés : mur séparant la zone palatial de la zone culturelle) (Boehlau et Schefold, 1940, pl.44)



Fig. 287. Larisa sur l’Hermos. Colline de la citadelle. Vue vers le sud-ouest (ph. auteur)



Fig. 288. Larisa sur l’Hermos. Fondations du mur de la citadelle (ph. auteur)



Fig. 289. Larisa sur l’Hermos. Fondations sur le rocher du mur de la citadelle (ph. auteur)



Fig. 290. Larisa sur l'Hermos. Mur polygonal dans le secteur de la porte (ph. auteur)



Fig. 291. Larisa sur l'Hermos. Mur polygonal. Courtine au s-o de la tour VII (ph. auteur)



Fig. 292. Larisa sur l'Hermos. Mur polygonal. Courtine entre tours I et VIII (ph. auteur)



Fig. 293. Larisa sur l'Hermos. Tour I et courtine vers le nord. (ph. auteur)

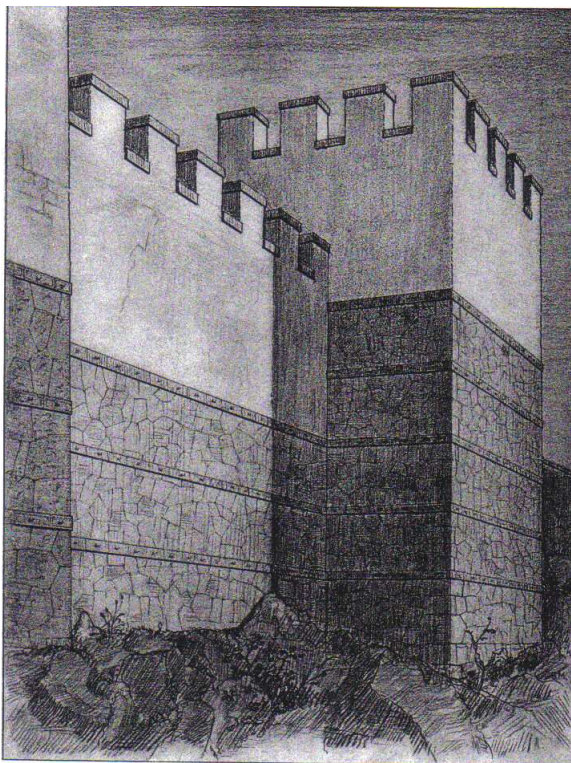


Fig. 294. Larisa sur l'Hermos. Restitution de la section entre la tour VIII et la tour I (Boehlau et Schefold, 1940, pl.28)



Fig. 295. Larisa sur l'Hermos Tour I. Vue vers le nord (ph. auteur)

Pergame

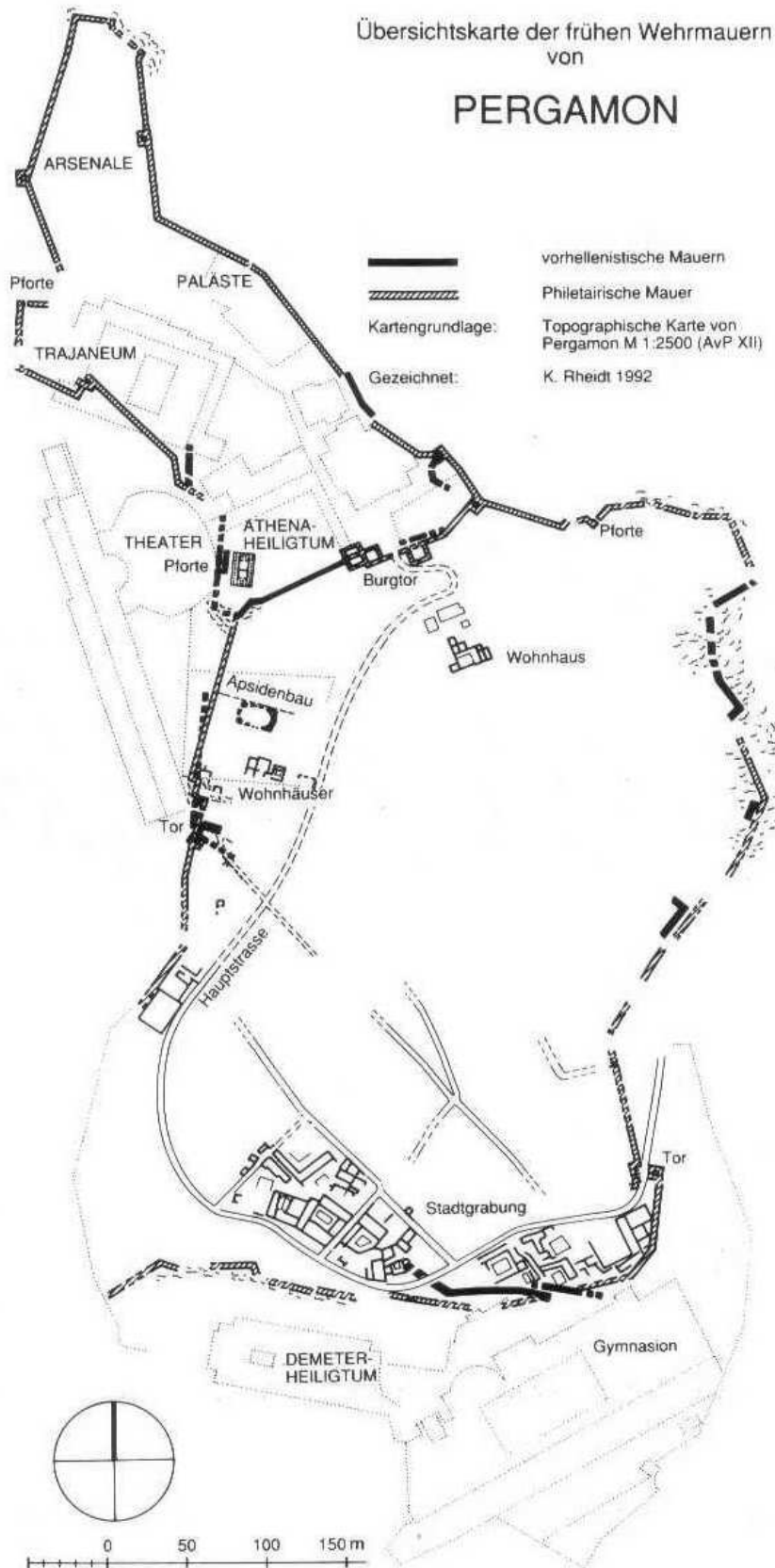


Fig. 296. Pergame. Plan des fortifications (en noir: Murs I et II) (Radt, 1994, 64)

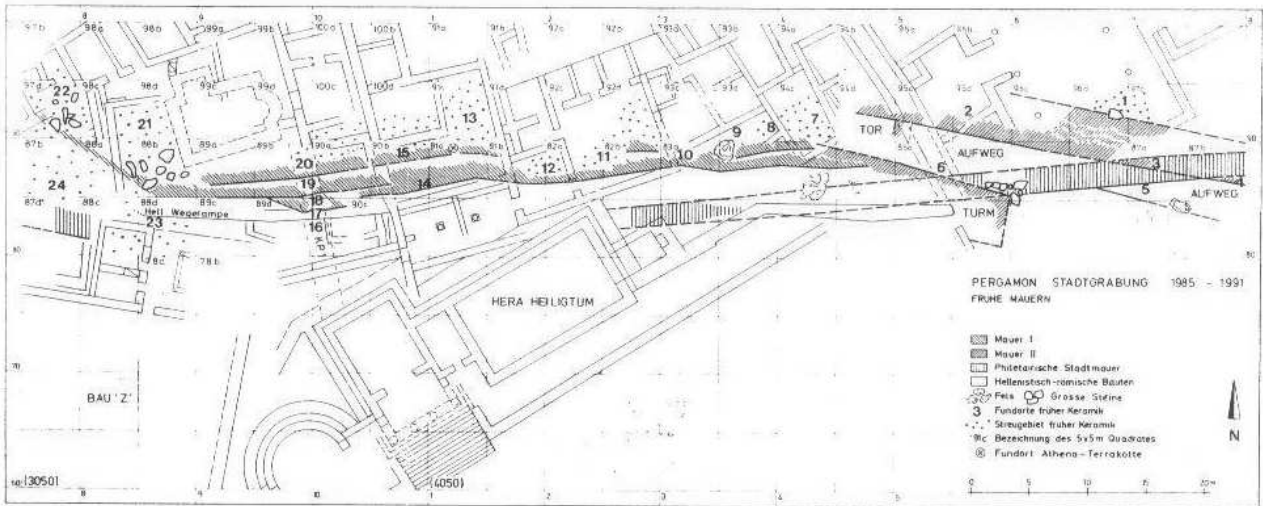


Fig. 297. Pergame. Secteur Sud. Plan d'ensemble des vestiges (Murs I et II) (*Ibid.*, fig. 5)

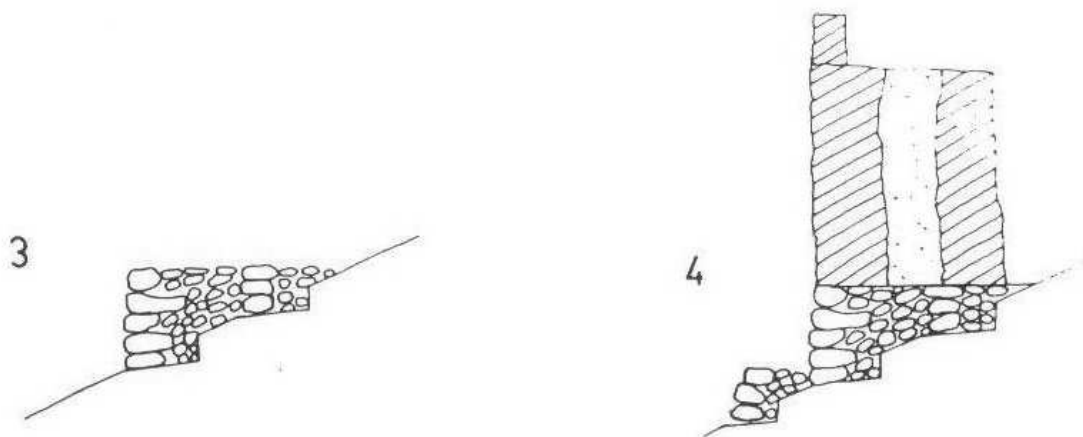


Fig. 298. Pergame. Mur I. Méthodes de fondation (*Ibid.*, 66-67)



Fig. 299. Pergame. Mur I. Secteur de la porte. Pierres en forme de « miche de pain » (*Brötlaiiformige*) (*Ibid.*, Abb.13)

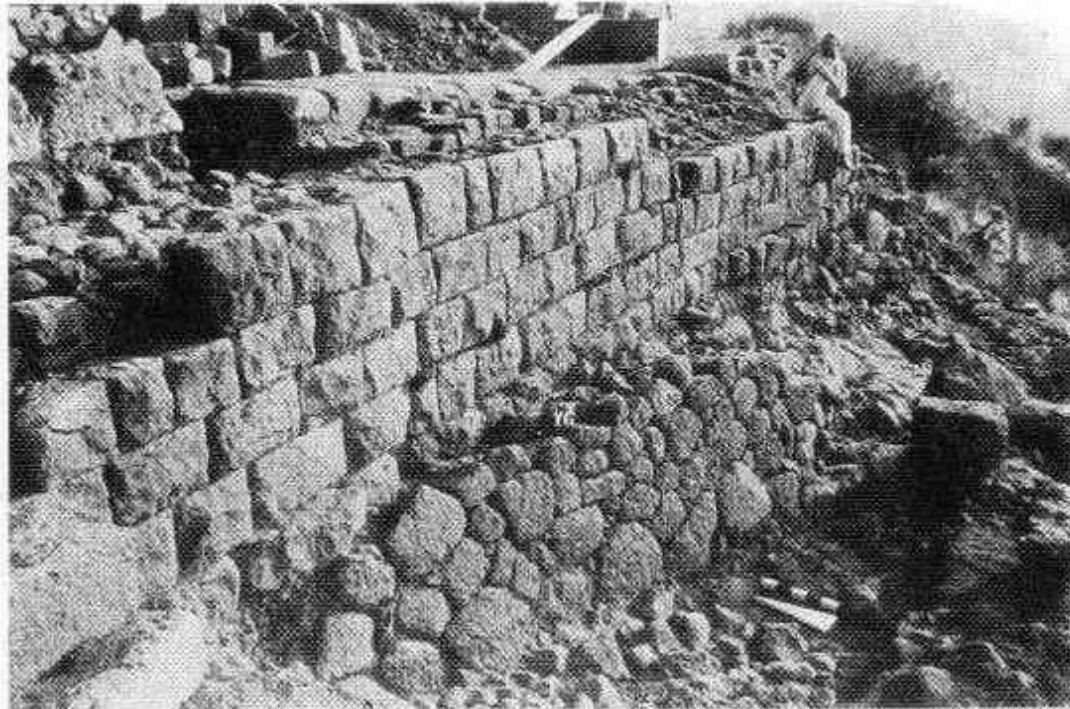


Fig. 300. Pergame. Secteur 5. Mur II. Mur de soutènement en appareil polygonal de la rampe de la porte à recouvrement. Vue de l'ouest. (au dessus: mur de Philétairos) (*Ibid.*, *Abb.* 15)

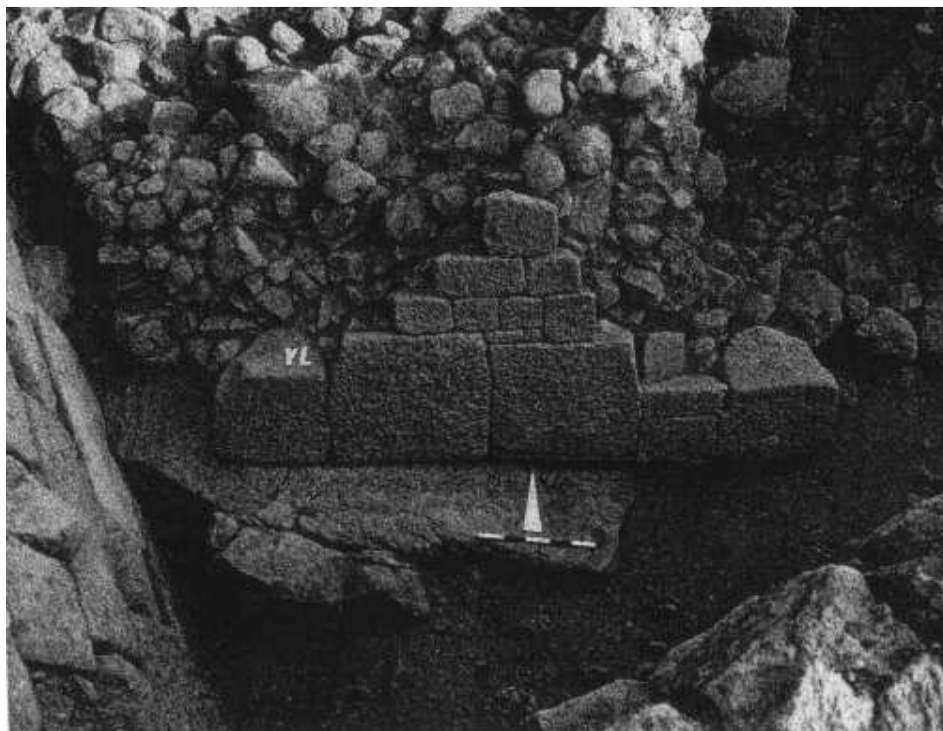
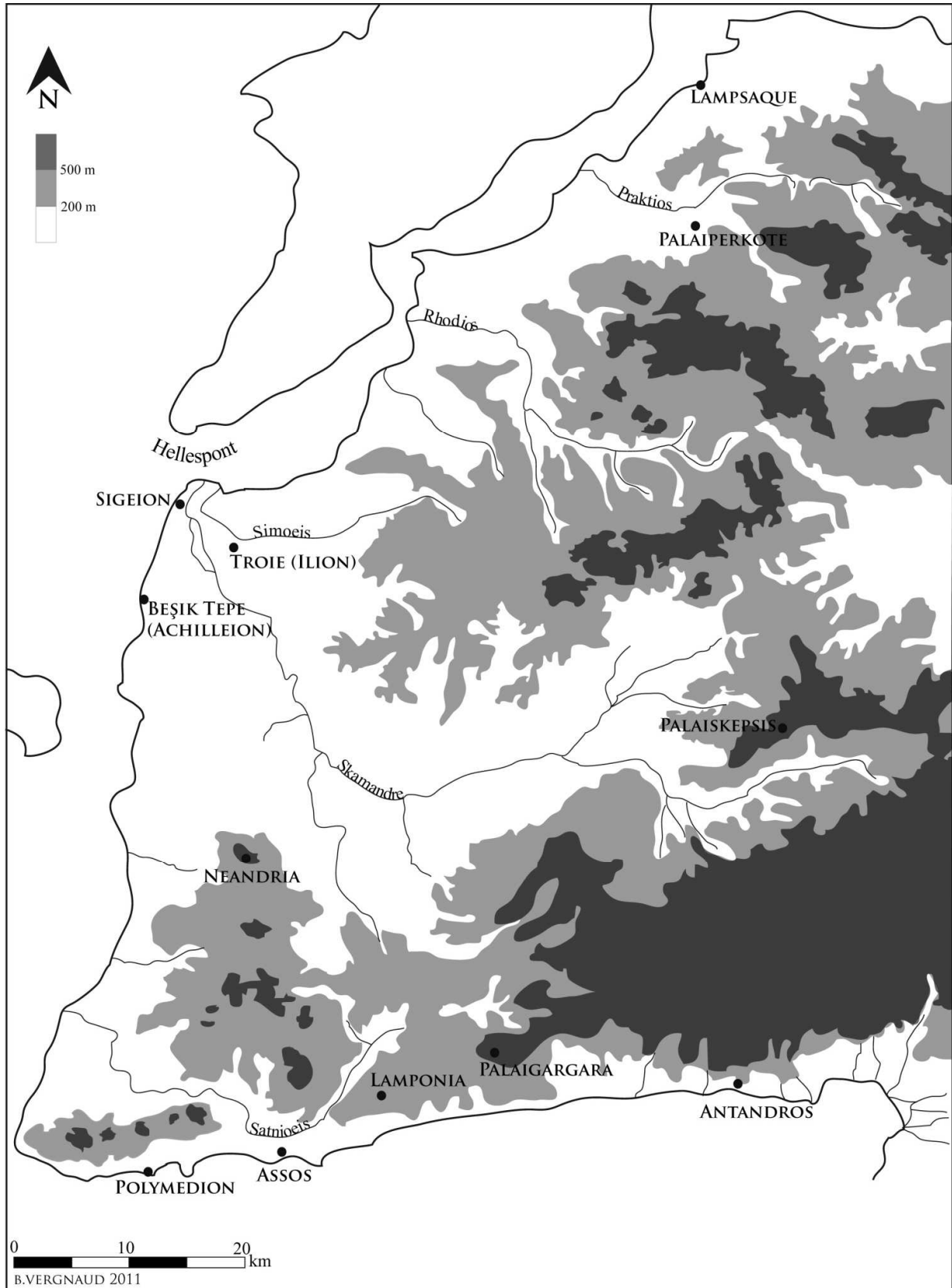


Fig. 301. Pergame. Mur de Philétairos. Glacis (Marksteiner, 1994 (b), Pl.11.3)

Troade



Carte 16. Troade

Assos

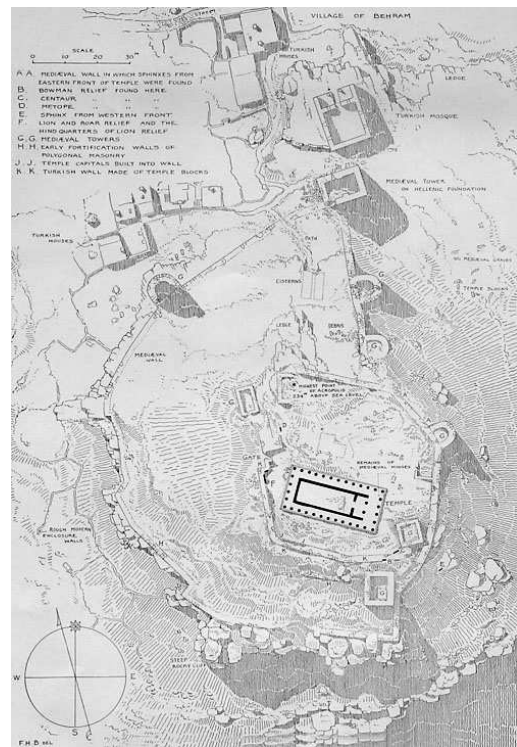


Fig. 302. Assos. Plan général (Mc Nicoll, 1997, 183)

Fig. 303. Assos. Plan de l'acropole (Bacon *et al.* 1902, 139)



Fig. 304. Assos. Section du mur de fortification en appareil polygonal (ph. auteur)

Gargara

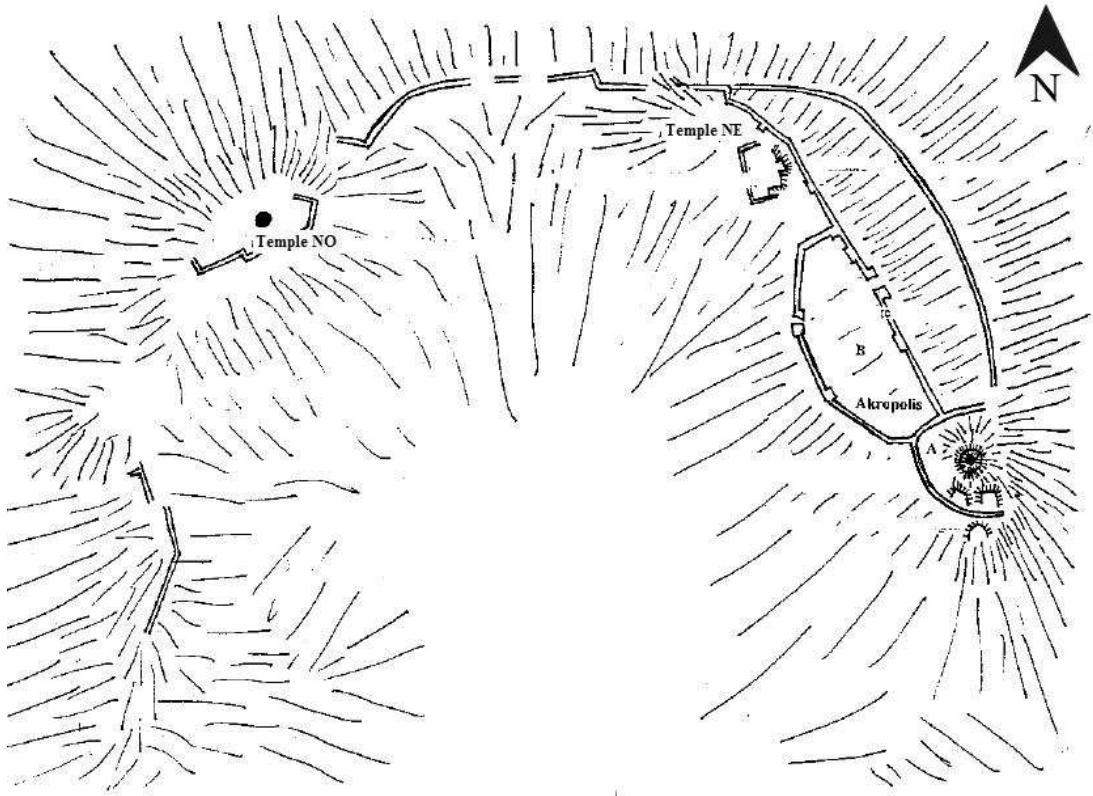


Fig. 305. Gargara. Plan du site (croquis) (Stupperich, 1996, fig.1)

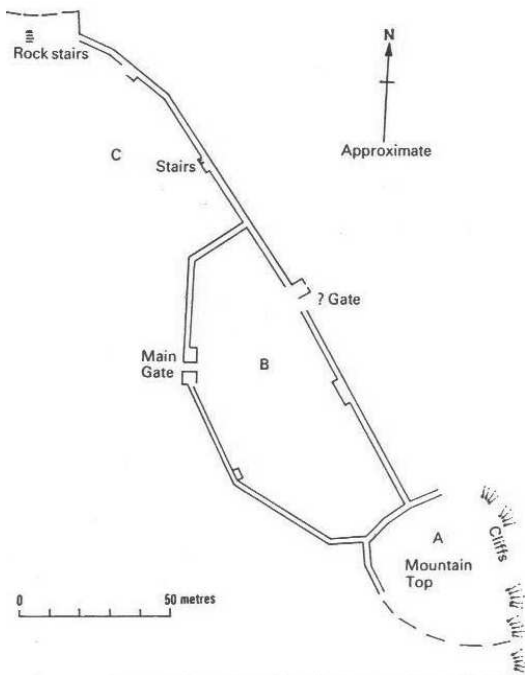


Fig. 306. Gargara. Plan du site (Cook, 1973, 258)



Fig. 307. Gargara, section du rempart (*ibid.* pl. 35)

Lamponia

Lamponia

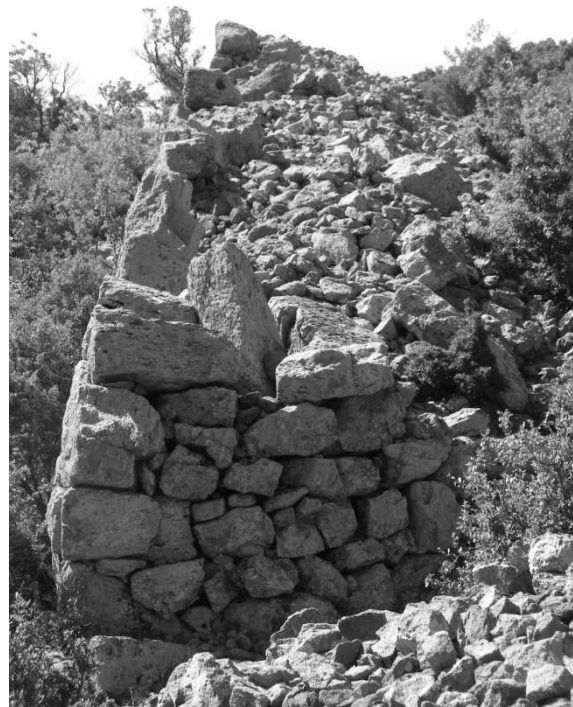
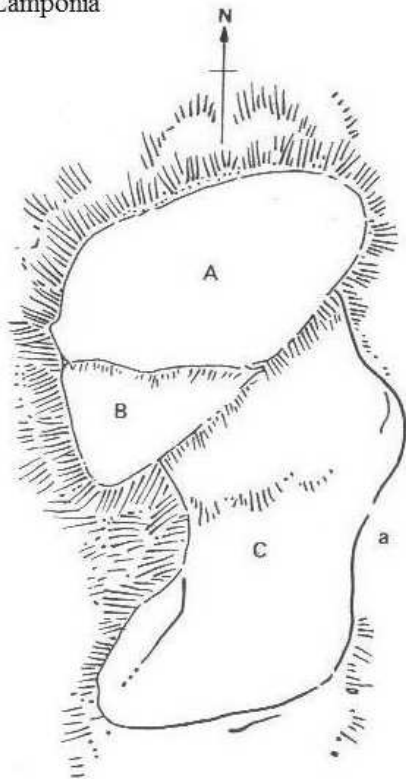


Fig. 308. Lamponia. Plan (croquis) (Cook, 1973, 262) Fig. 309. Lamponia. Mur d'enceinte (ph. auteur)



Fig. 310. Lamponia. Acropole. Vue depuis la ville basse (ph. auteur)



Fig. 311-312. Lamponia. Enceinte. Blocs cyclopéens. Secteur de la porte (angle et parement) (ph. auteur)

Néandria

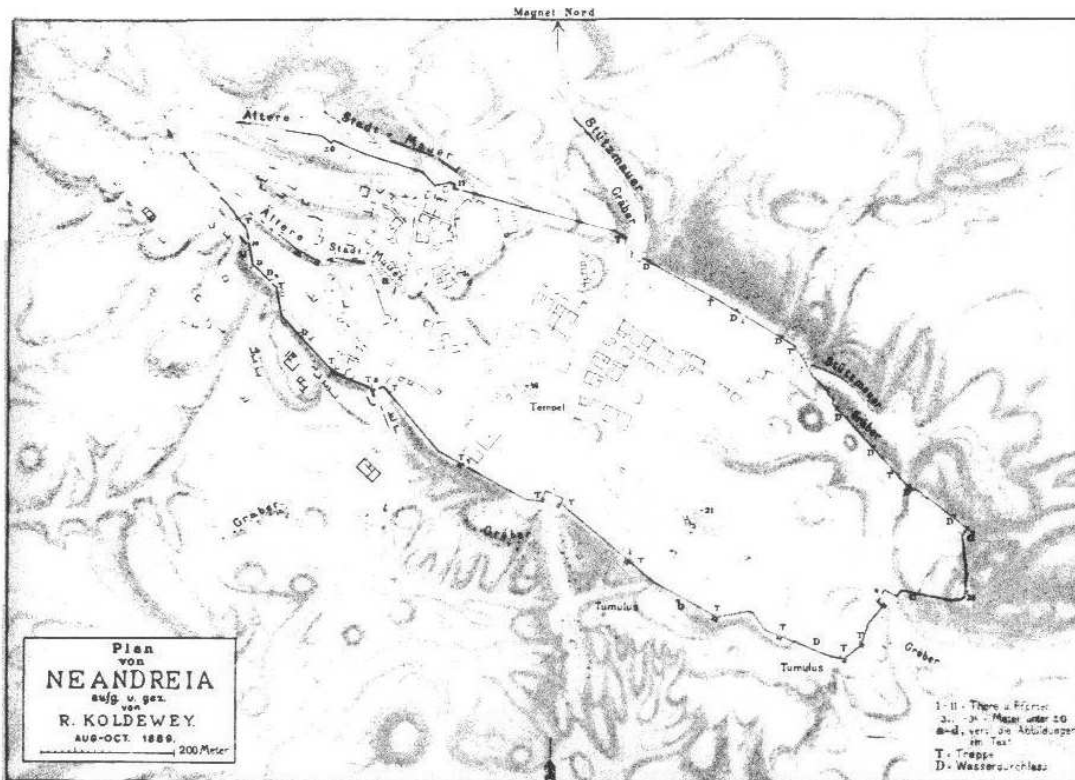


Fig. 313. Néandria. Plan du site (Winter, 1985, 681 d'après Koldewey)

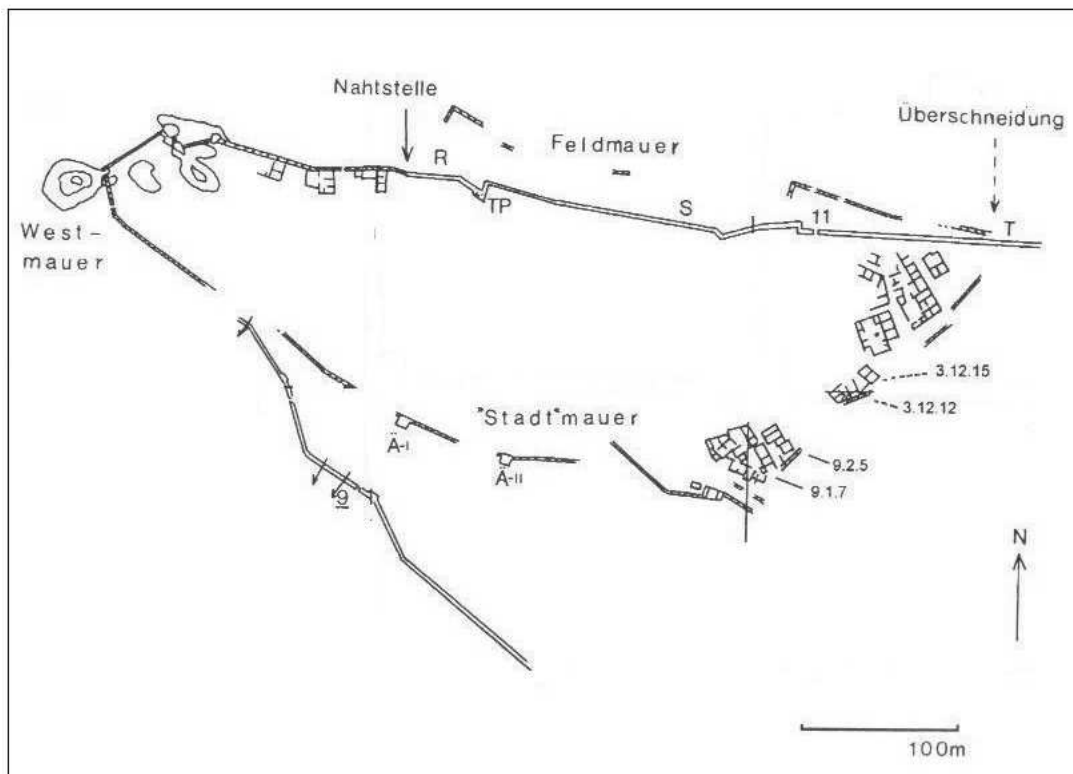


Fig. 314. Néandria. Plan du rempart le plus ancien de la cité (Schulz, 2000, fig.10)

Beşik Tepe



Fig. 315. Beşik Tepe (Achilleion). Vue du promontoire (Ivanova, 2008, fig.36)



Fig. 316. Beşik Tepe (Achilleion) (Korfmann, 1988, fig.3)

Comparaisons

Anatolie centrale et sud-est anatolien

Boğazköy-Ḫattuša



Fig. 317. Ḫattuša. Reconstruction partielle du mur hittite (ph. auteur)



Fig. 318. Ḫattuša. Tour hittite reconstruite (*ibid.*)



Fig. 319. Ḫattuša. Casemates et poterne (*ibid.*)



Fig. 320. Hattuşa. Porte aux lions. Glacis contre le mur (*ibid.*)

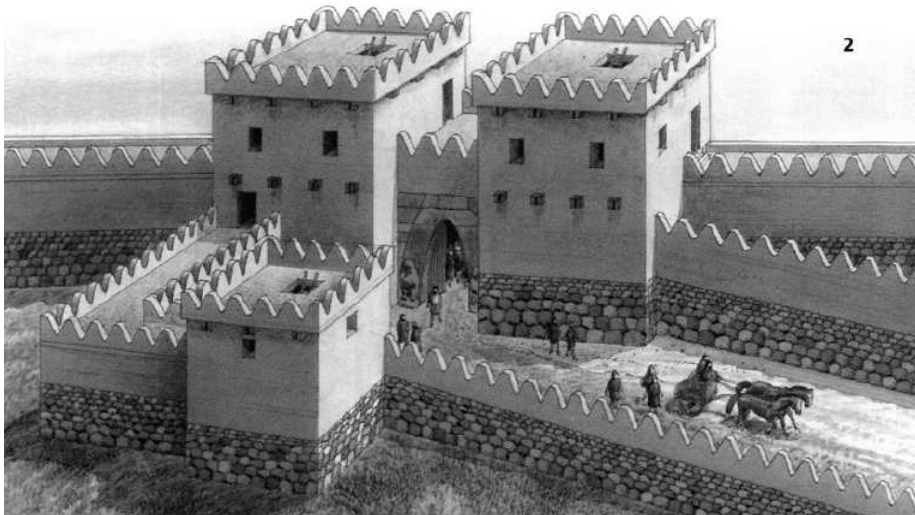


Fig. 321. Hattuşa. Porte aux lions. Tentative de restitution. Le glacis a été omis (Nossov, 2008, 27)



Fig. 322. Hattuşa. Porte aux lions (ph. de l'auteur)

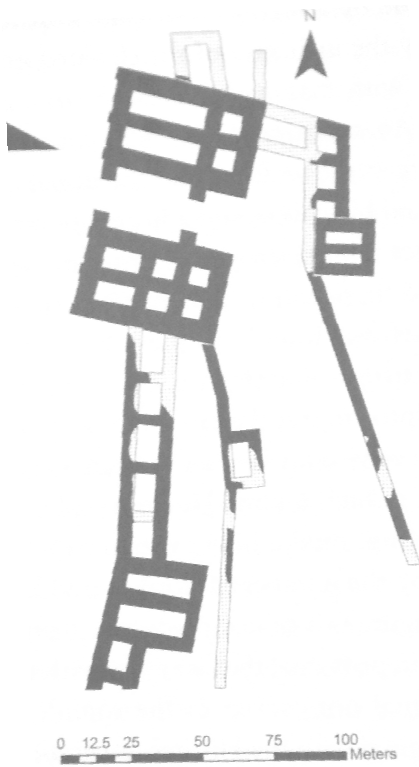


Fig. 323-324. Hattuşa. Porte du roi (King's Gate) (Sagona, 2009, 268. et ph. de l'auteur)



Fig. 325. Hattuşa. Yerkapı. Glacis (*ibid.*)

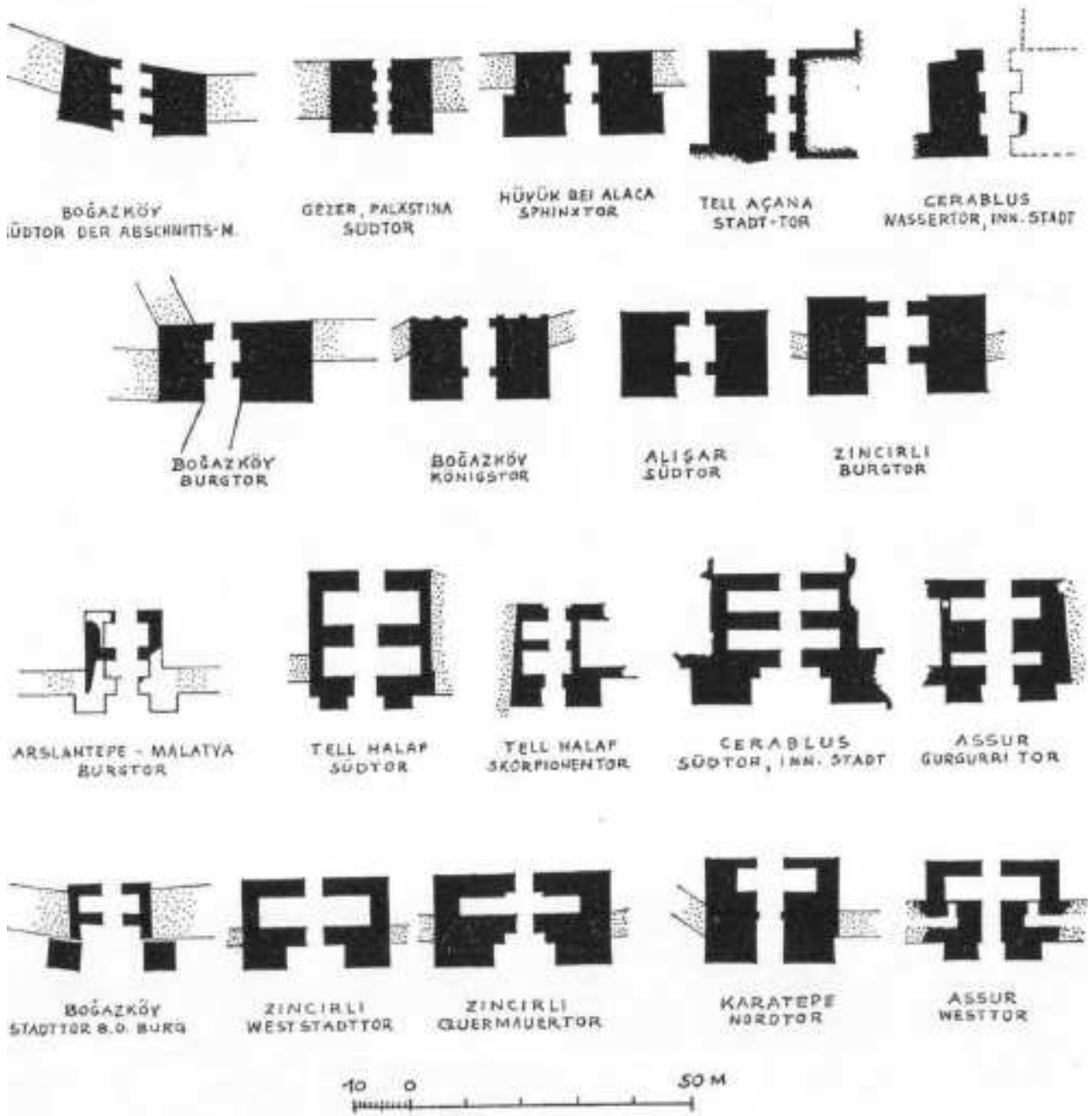


Fig. 326. Portes des enceintes et citadelles hittites et néo-hittites (Naumann, 1971, fig.406)

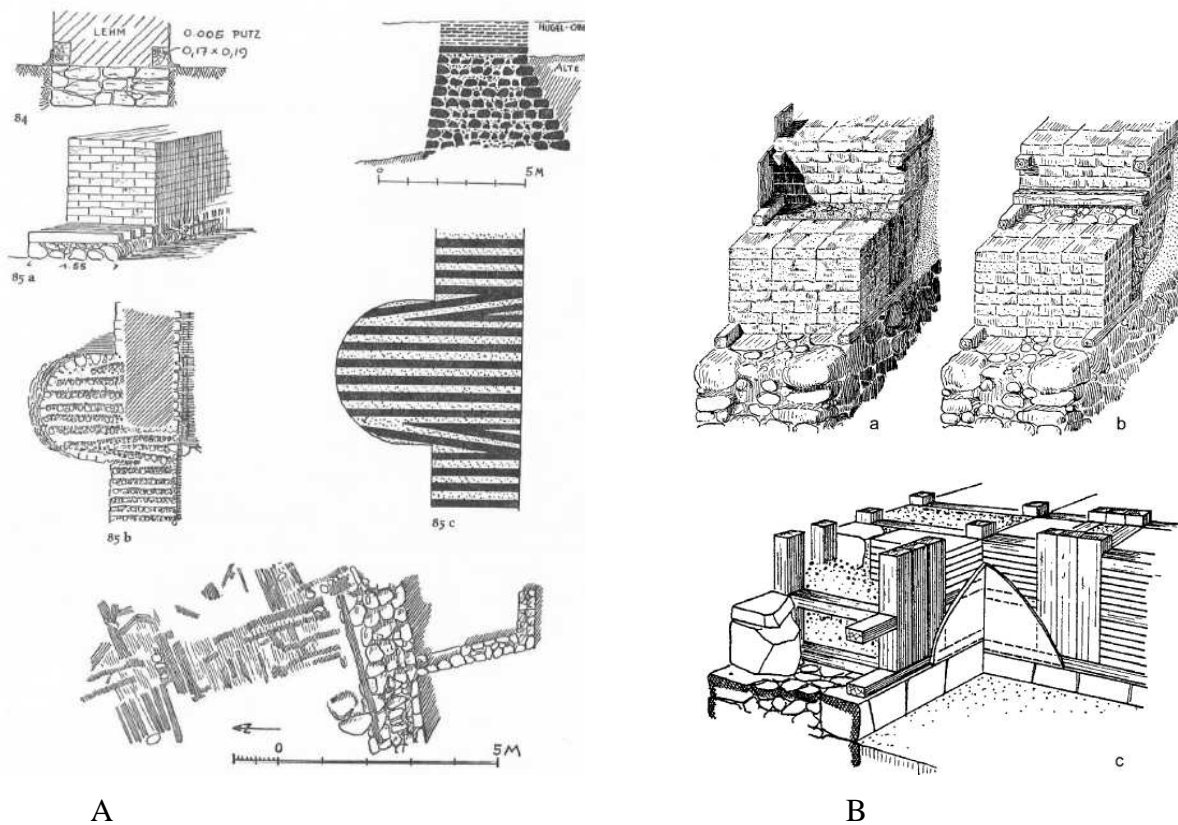


Fig. 327. Techniques de construction hittites
A. Utilisation du bois dans les fondations ou pour l'euthyntéria :
 Tarse (84), Zincirli (85abc), Alişar (86) (Naumann, 1971, 92)
B. Utilisation du bois dans l'élévation. Chaînage et coffrage (Mielke, 2009, fig.5)

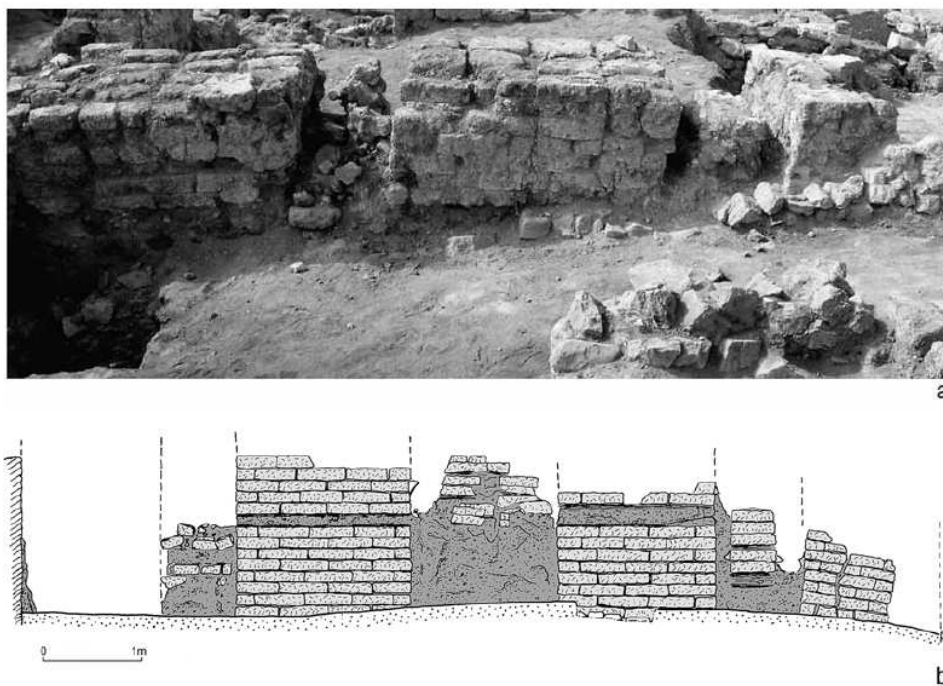


Fig. 328. Kuşaklı-Sarissa. Porte nord-ouest (Mielke, 2009, Fig.7)

Zincirli

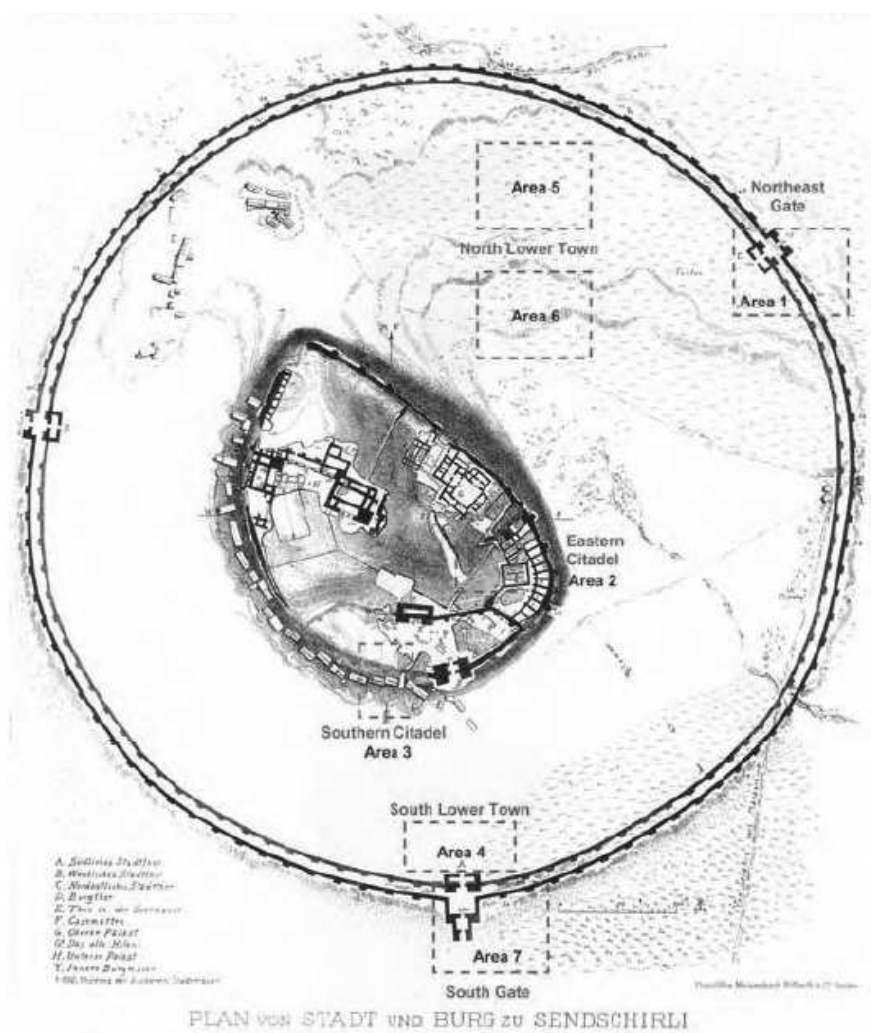


Fig. 329. Zincirli. Plan du site (Schloen et Fink, 2009, 208 d'après von Luschan, 1898)

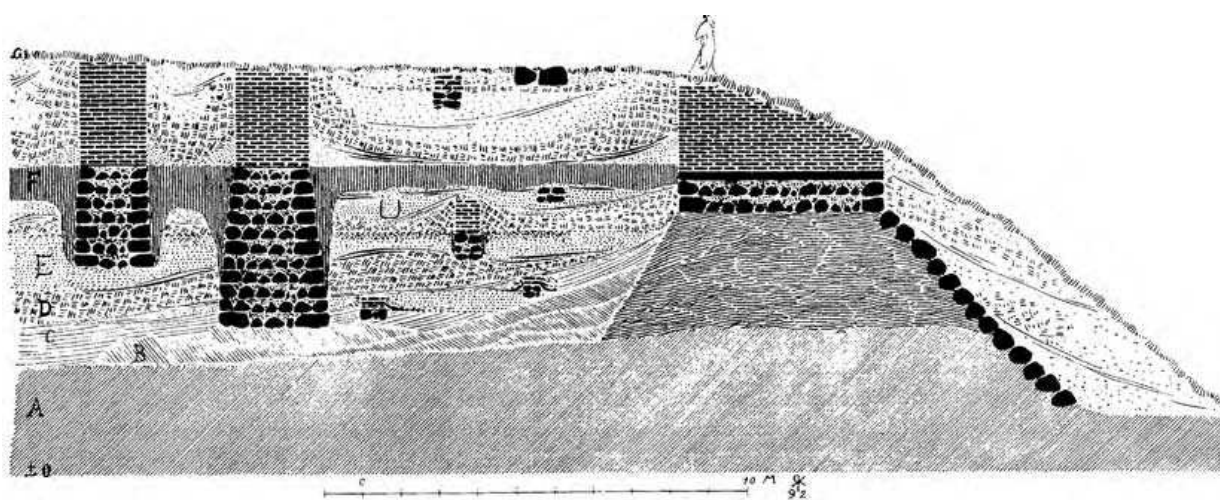


Fig. 330. Zincirli. Coupe des murs et glacis (Schloen et Fink, 2009, 211 von Luschan, 1898)

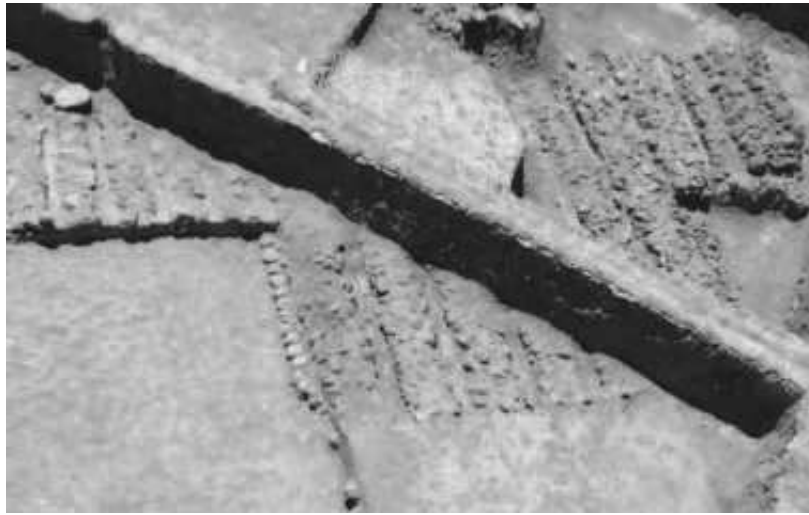


Fig. 331. Zincirli. Fondation de blocaille et de bois (Schloen et Fink, 2009, 209)

Karatepe

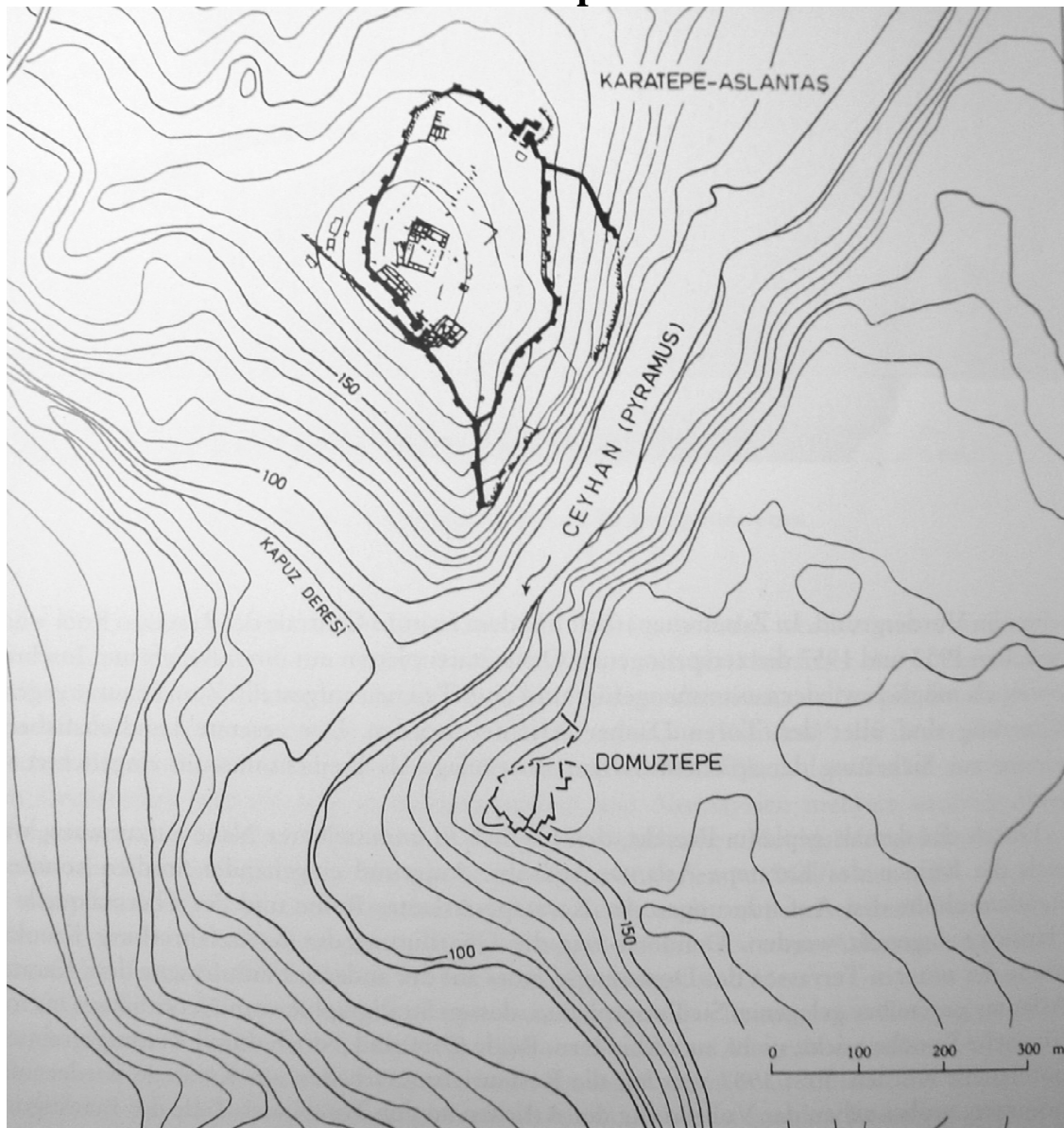


Fig. 332. Karatepe. Plan du site (Sicker-Akman, 1999, fig.3)

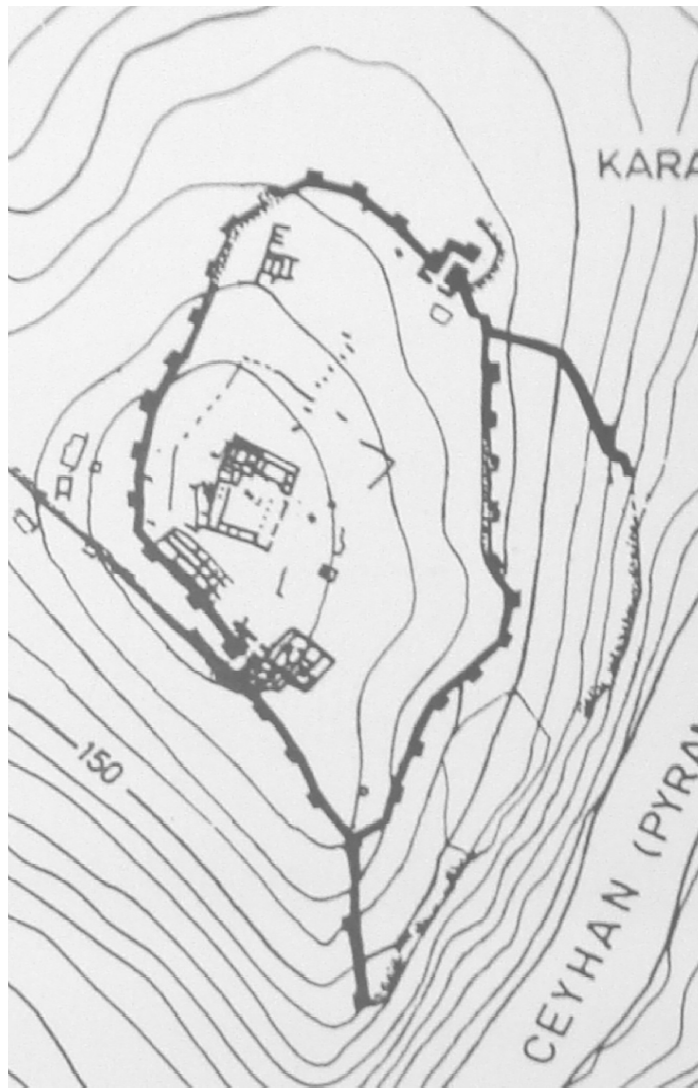


Fig. 333. Karatepe. Plan des défenses (Sicker-Akman, 1999, fig.3)

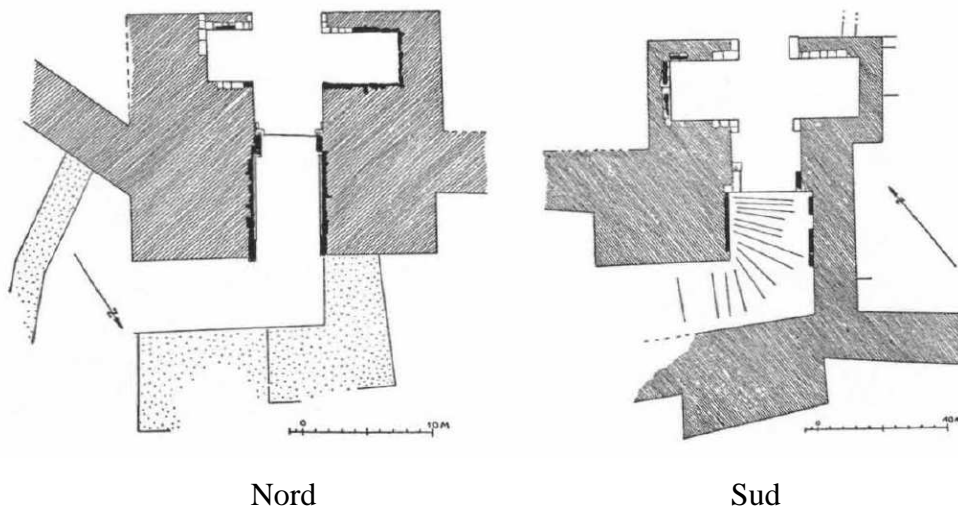


Fig. 334. Karatepe. Portes en chicane (Naumann, 1971, fig. 404-405)

Carcémish

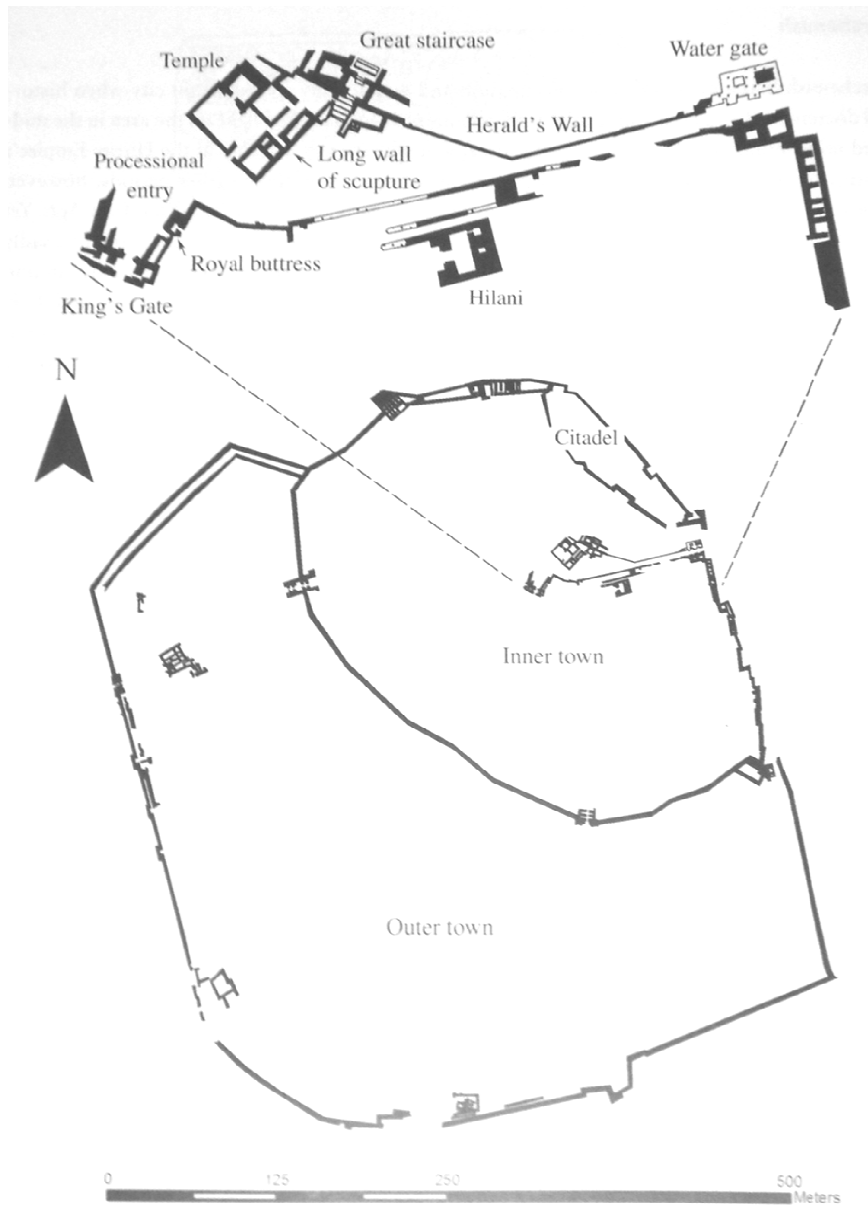


Fig. 335. Carcémish. Plan du site (Sagona, 2009, 8.3.)

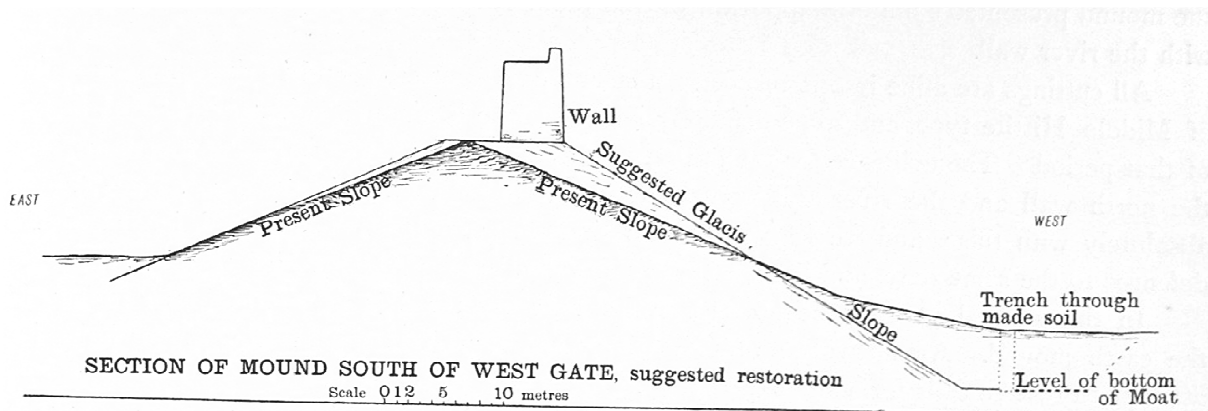


Fig. 336. Carcémish. Mur et glacis (Wooley, 1921, fig.14)

Mésopotamie

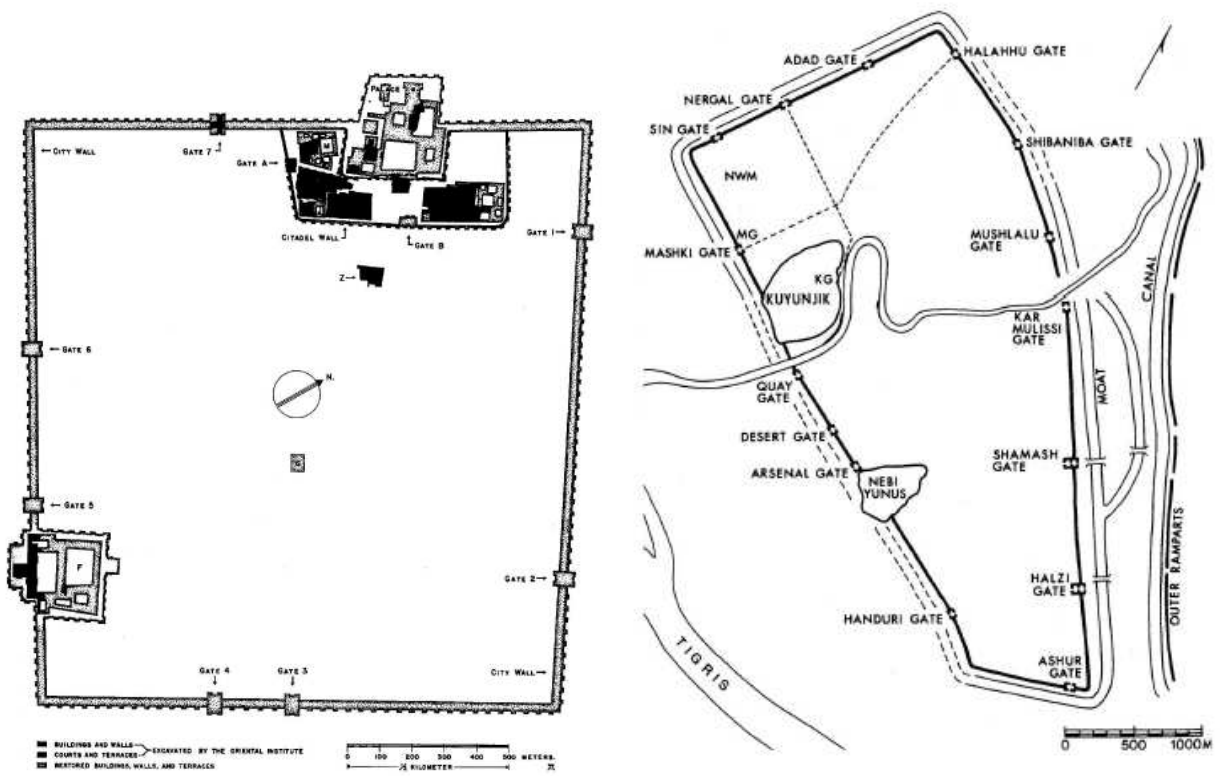


Fig. 337. Khorsabad. Plan du site (Halama, 2006, fig.17) Fig. 338. Ninive. Plan du site (*ibid.* fig. 20)



Fig. 339. Assur. Mur de fortification avec revêtement de blocs (Ratté, 2011, fig.275) (à gauche)

Fig. 340. Jerwan. Aqueduc de Sennachérib (Ratté, 2011, fig.276) (à droite)

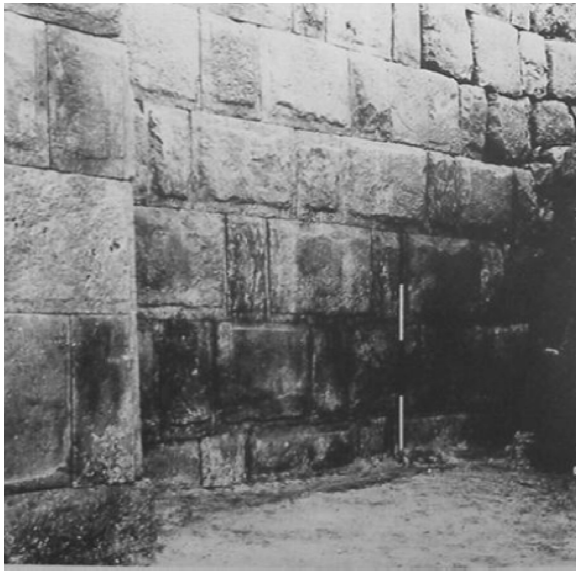


Fig. 341. Ninive. Revêtement du mur de fortification (Boardman, 2000, 30)



Fig. 342. Nimrud. Fort de Shalmaneser

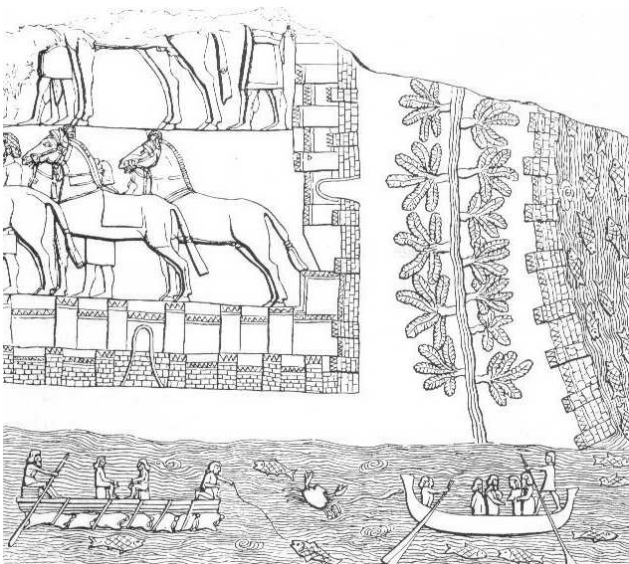
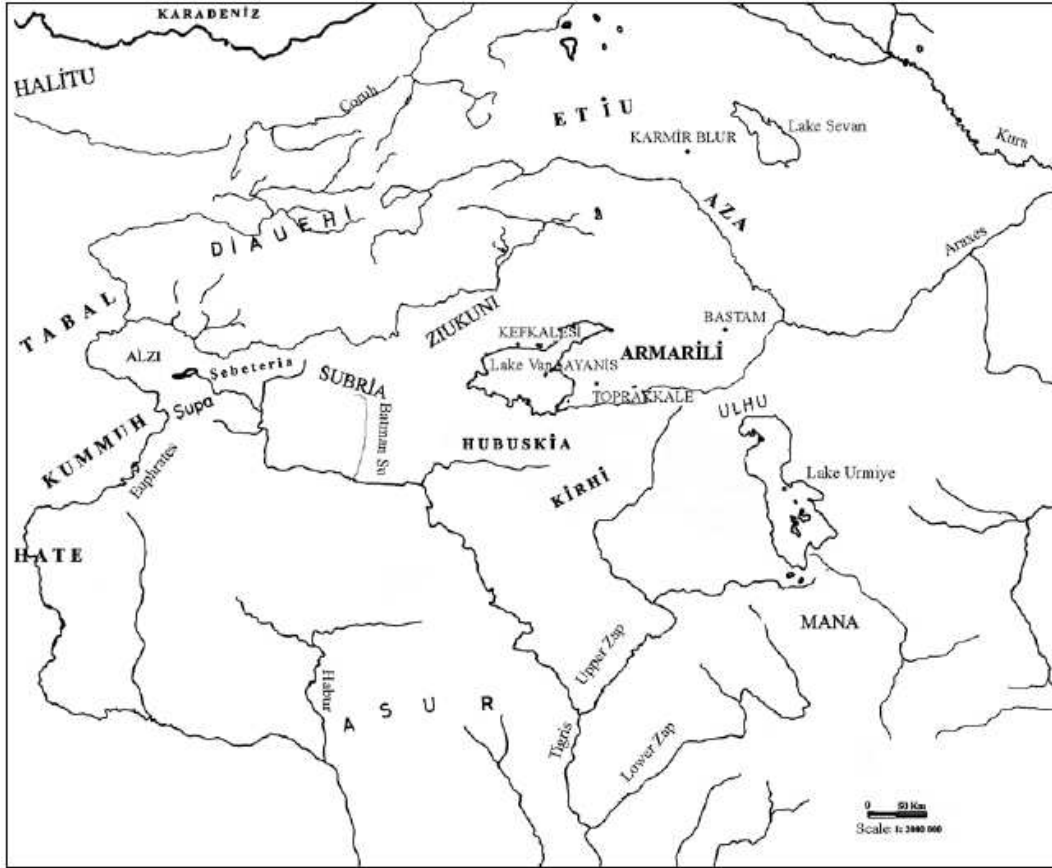


Fig. 343. Relief assyrien représentant les murs de fortification d'une ville mésopotamienne. Le mur extérieur semble revêtu de blocs de pierre. (Lawrence, 1979, fig.9). (à gauche)



Fig. 344. Relief représentant une attaque assyrienne sur une ville (British Museum, AN 234677) (à droite)

Ourartou



Carte 17. Ourartou (Erdem et Batmaz, 2008, fig.3)



Carte 18. Sites ourartéens à l'est du lac de Van (*ibid.* fig.7)



Fig. 345. Ayanis. Vue de la citadelle et son périmètre fortifié (Harmanşah, 2009, fig.2 et 6)



Fig. 346. Ayanis. Mur de la citadelle (*Ibid.* fig.7)



Fig. 347. Anzaf (Lower Anzaf). Socle en appareil cyclopéen (Sagona, 2009, 9.6)

Troie VI

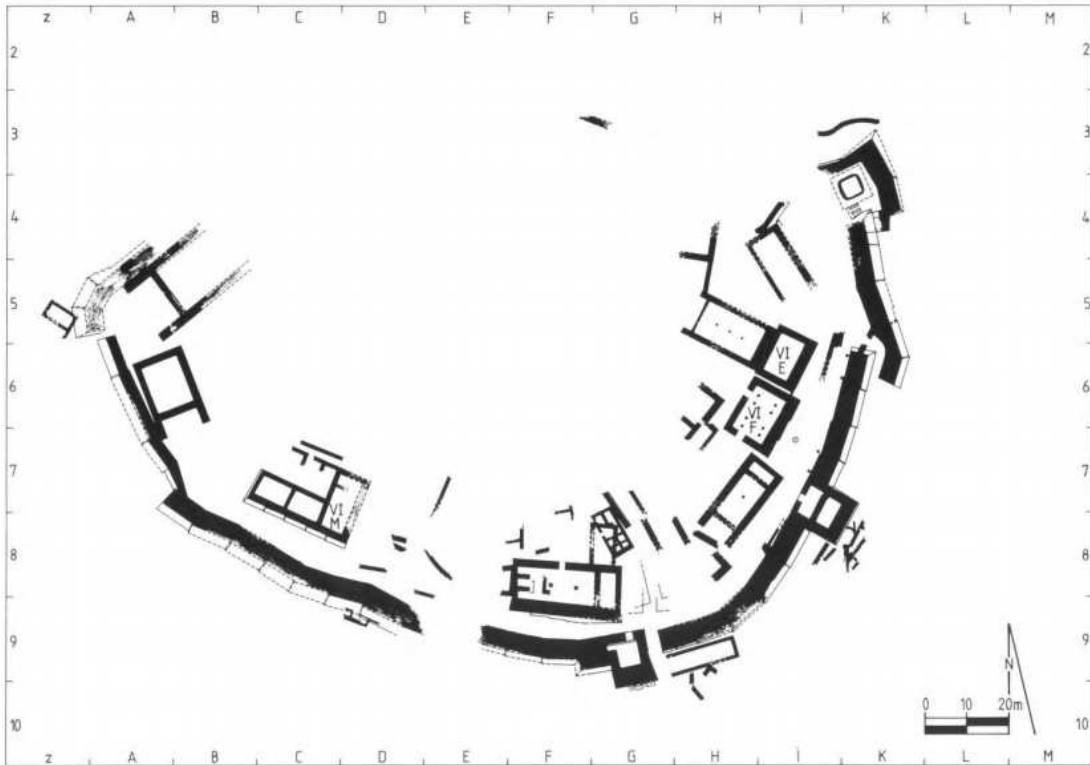


Fig. 348. Troie VI. Plan de la citadelle (Korfmann, 1995, pl.26)

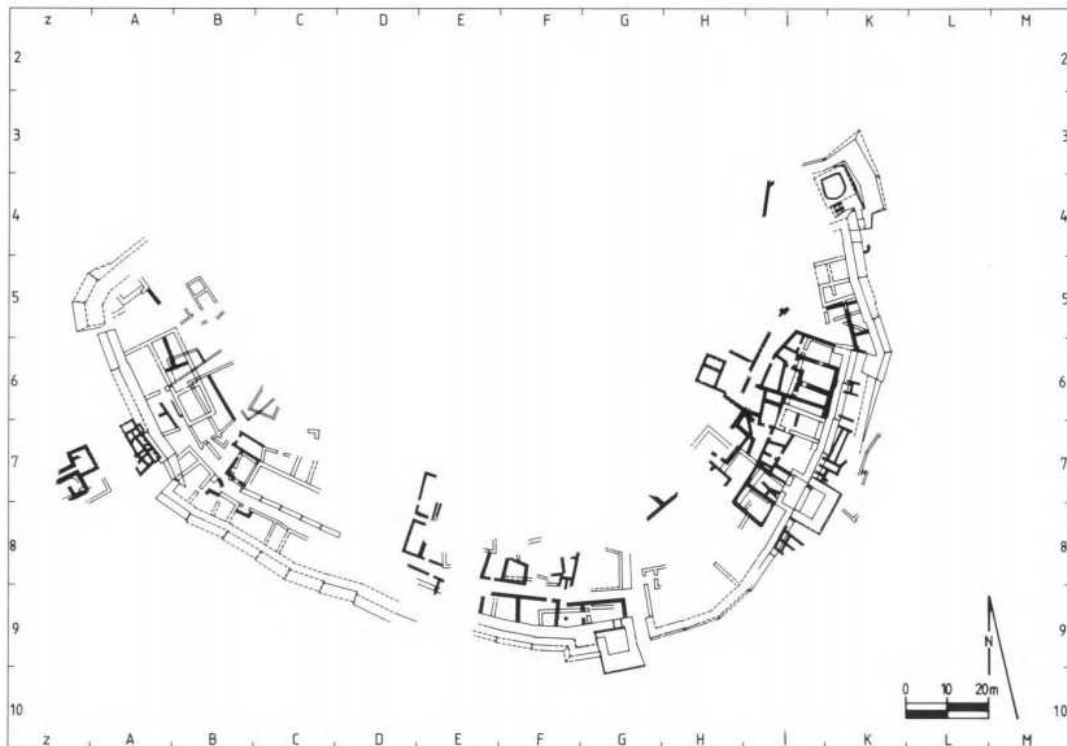


Fig. 349. Troie VII. Plan de la citadelle (Korfmann, 1995, pl.27)



Fig. 350. Troie VI. Citadelle. Restitution (Korfmann et Mansperger, 1998, fig.65)



Fig. 351. Troie VI. Murs et porte à recouvrement



**Fig. 352. Troie VI. Détail du mur
(Korfmann et Mansperger, 1998, fig.53 et 70)**



Fig. 353. Troie VI. Bastion N-E

Monde Mycénien

Milet

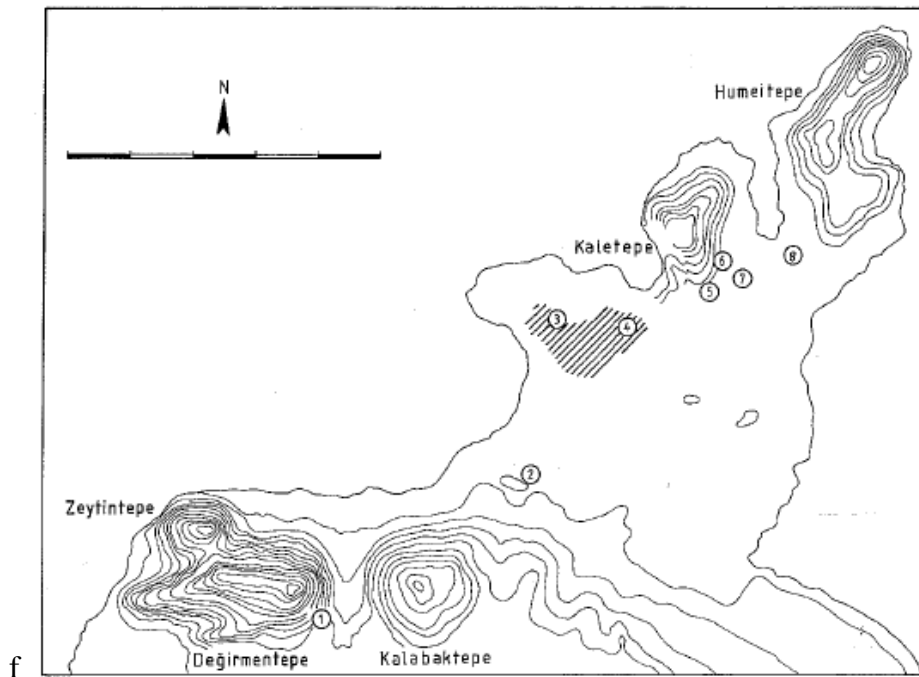


Fig. 354. Milet. Extension supposée de l'occupation à l'époque mycénienne (Niemeier, 2007, fig.1). //// : aire enclose par le mur de fortification

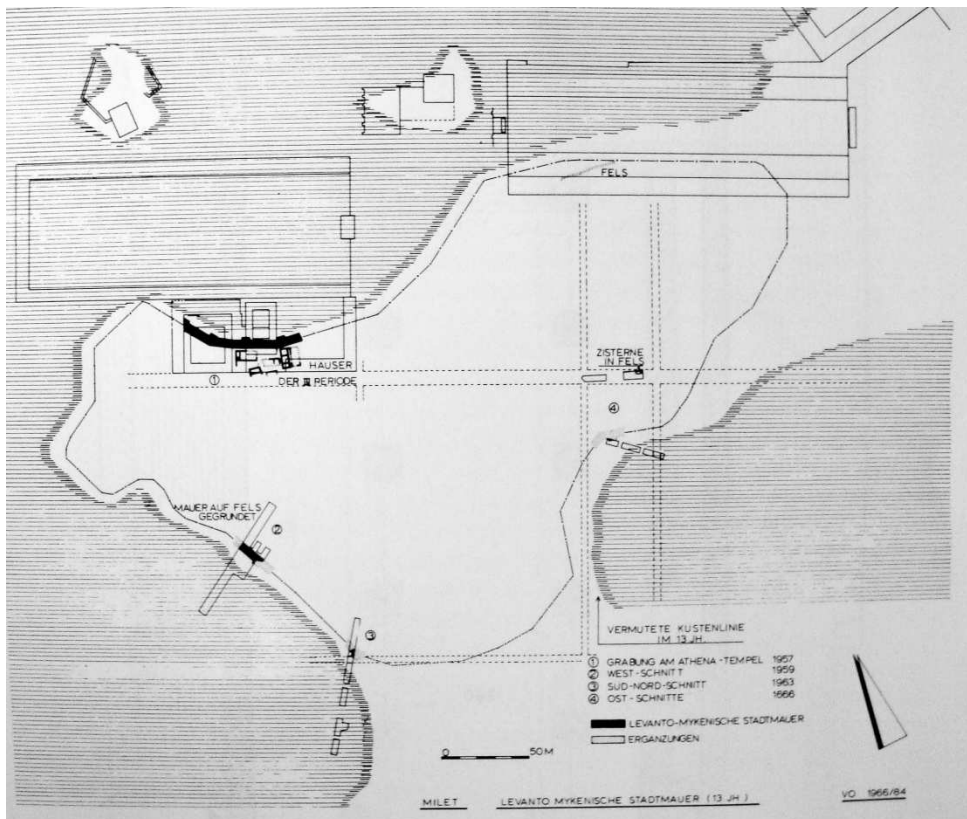
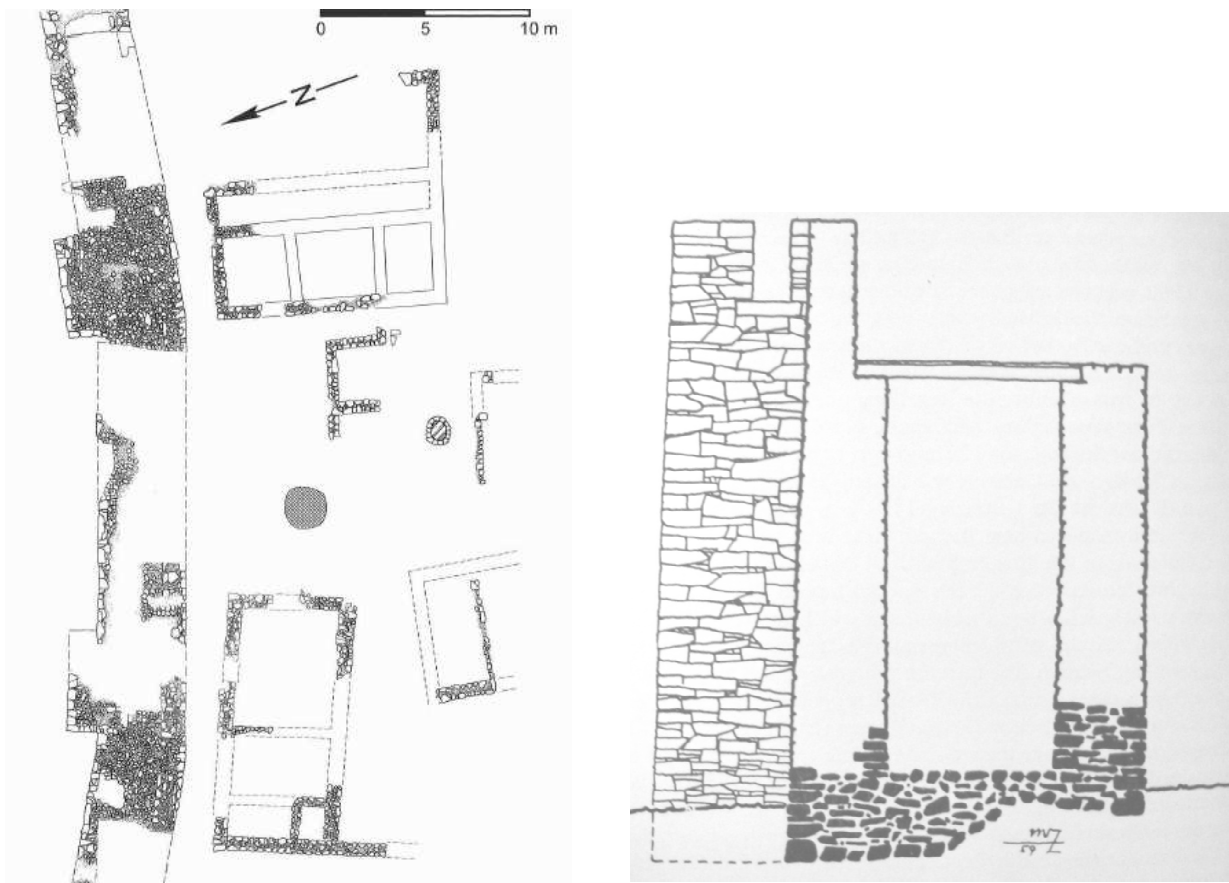


Fig. 355. Milet. Tracé supposé du mur de l'âge du bronze (Voigtländer, 1975, fig.10)



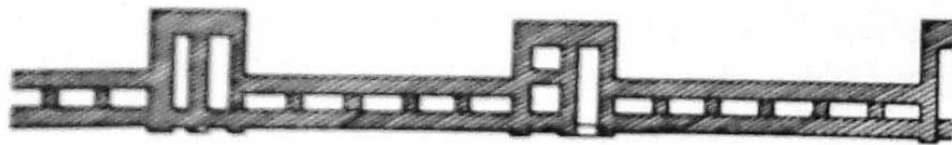
A

B

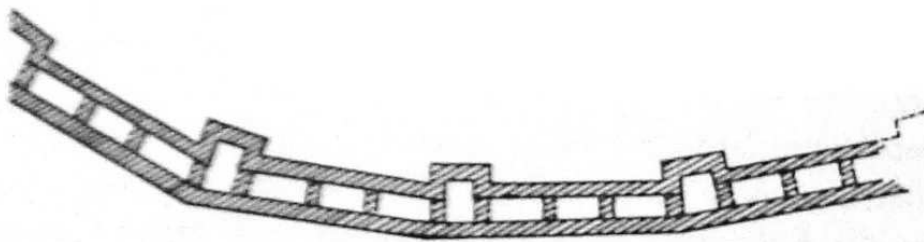
Fig. 356. Milet. Mur « mycénien ».

A. Plan (Niemeier, 2009, fig.2)

B. Restitution de l'élévation et coupe (Mallwitz, 1959-60, fig.2)



Hattusa. Porte du roi

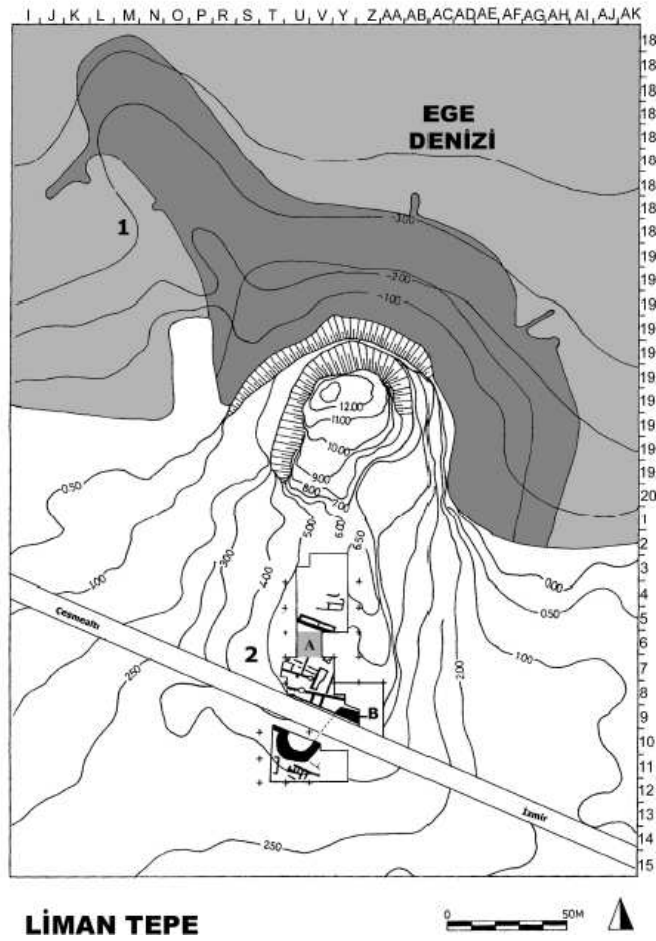


Milet. Mur "mycénien"

0 25 m

Fig. 357. Milet et Hattusa. Murs à compartiments (d'après Voigtländer, 1975, fig.1)

Liman Tepe



LİMAN TEPE

Fig. 358. Liman Tepe. Plan (Ekanal *et al.*, 2008, fig.3)



Fig. 359. Liman Tepe. Vue générale des fortifications du l'âge du bronze (*ibid.*, fig.5)



Fig. 360. Liman Tepe. Bastion construit en petit appareil (*ibid.*, fig.7)

Mycènes, Midéa, Tirynthe et Athènes

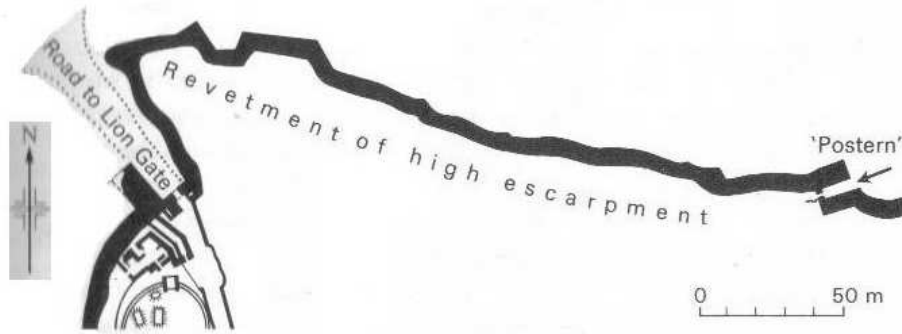


Fig. 361. Mycènes. Citadelle. Plan de la partie nord des remparts (Lawrence, 1979, fig.2)



Fig. 362. Mycènes. Citadelle. Vue vers le nord (ph. de l'auteur)



Fig. 363. Mycènes. Citadelle. Section en appareil cyclopéen (ph. de l'auteur)

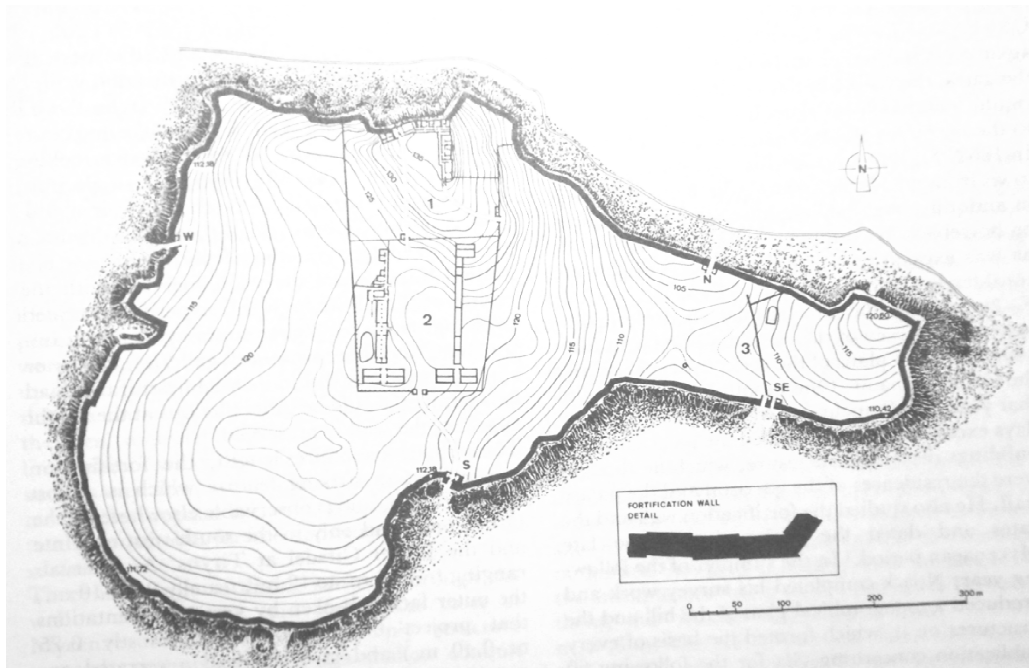


Fig. 364. Gla. Plan du site (Iakovidis, 1983, fig.17)

Fig. 365. Tirynthe. Plan de la citadelle. Partie sud. (Lawrence, 1979, fig.1)

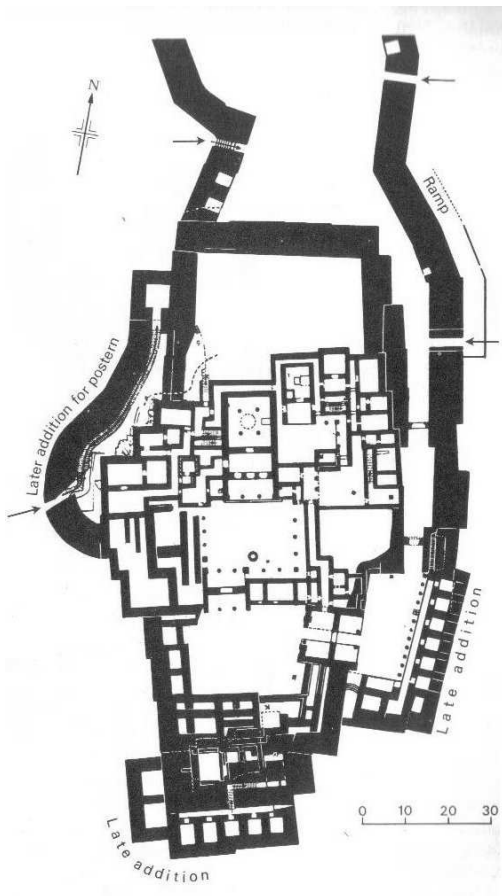


Fig. 366. Tirynthe. Mur de fortification sur la partie est (ph. de l'auteur)



Fig. 367. Tirynthe. Section à décrochements sur la partie ouest (ph de l'auteur)



Fig. 368. Athènes. Mur mycénien. Appareil polygonal (Iakovidis, 1983, pl. 19a)

Autres sites

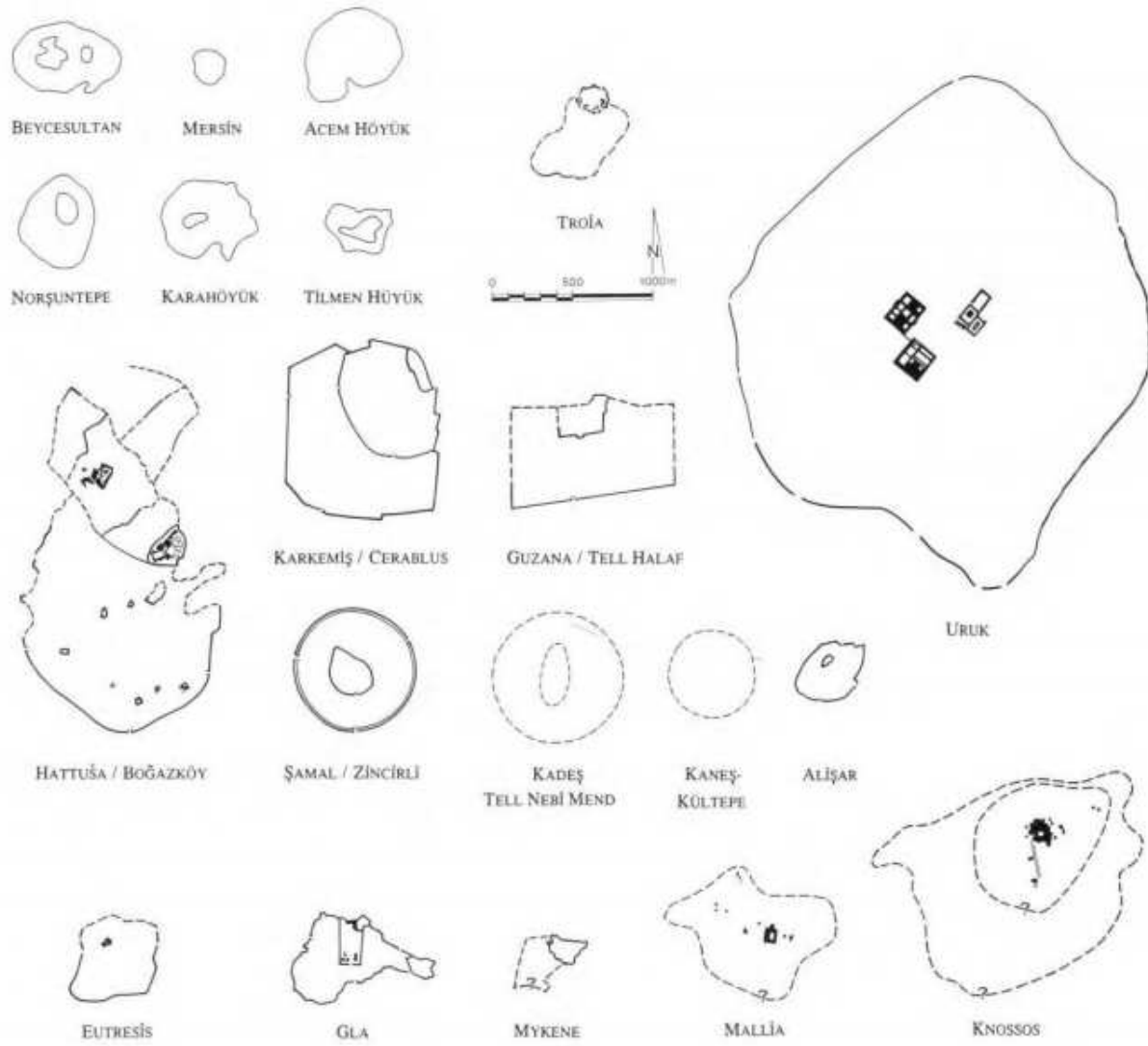


Fig. 369. Encintes fortifiées de l'âge du bronze récent à la même échelle (Korfmann, 1995, pl.30)

Paphos (Kouklia)

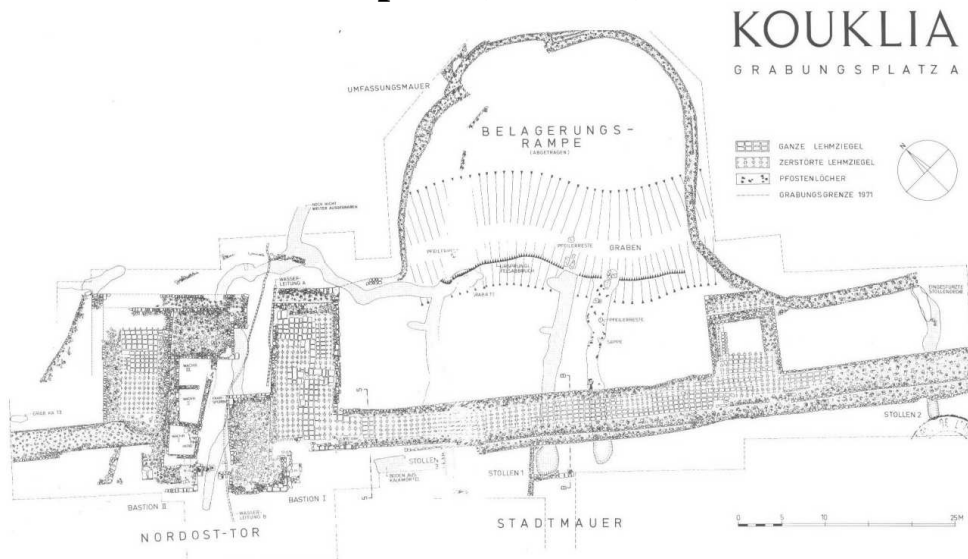


Fig. 370. Paphos-Kouklia. Plan de la porte et des courtines adjacentes (Maier, 1985, fig.11)



Fig. 371. Paphos. Blocs rectangulaires ciselés (CW6) (ph. de l'auteur)

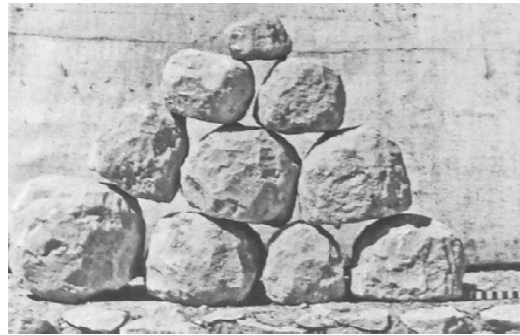


Fig. 372. Paphos. Boulets (Maier, 2008, fig.107)



Fig. 373. Paphos. Murs de briques (A : élévation CW1 ; B : remplissage CW2) (Maier, 1967, fig.6 et 1985, fig. 154)

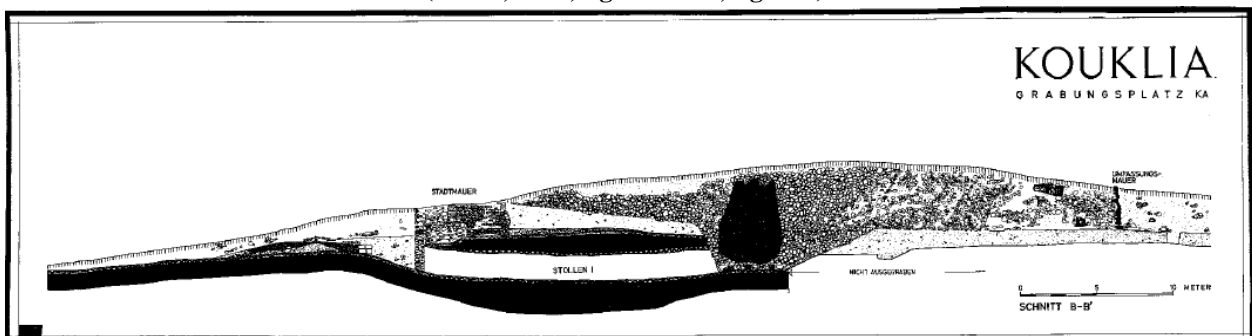


Fig. 374. Paphos. Rampe de siège perse comblant le fossé (Maier, 1985, fig.15)



Carte 19. Cyclades. Sites fortifiés à l'époque géométrique (Louyot, 2008, carte 2)

Aghios Andréas

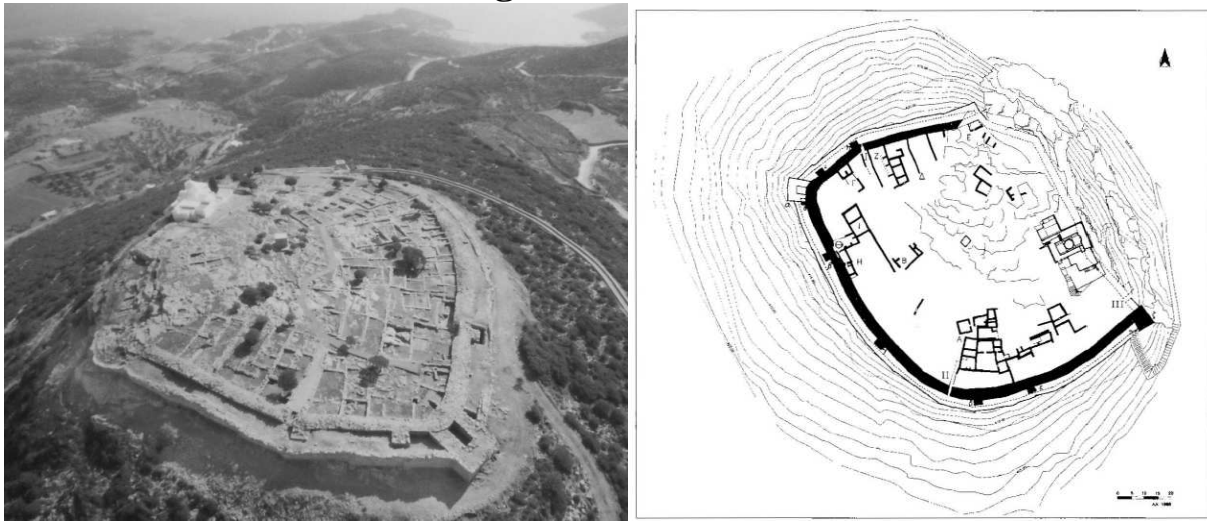


Fig. 375-376. Aghios Andréas (Siphnos). Vue vers l'est et plan.
(Institut archéologique d'Athènes et Televantou, 2001, fig.2)

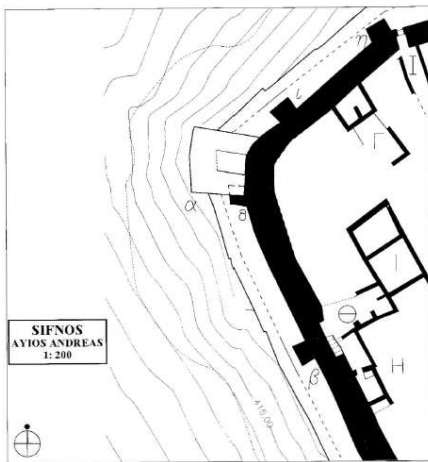
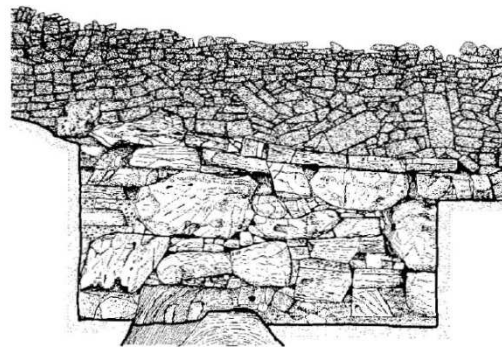


Fig. 377. Aghios Andréas. Plan du bastion
Extérieur
(Televantou, 2001, fig.4 et 6)



T O M H A A



Fig. 378. Aghios Andréas. Socle et élévation.

Vroulia

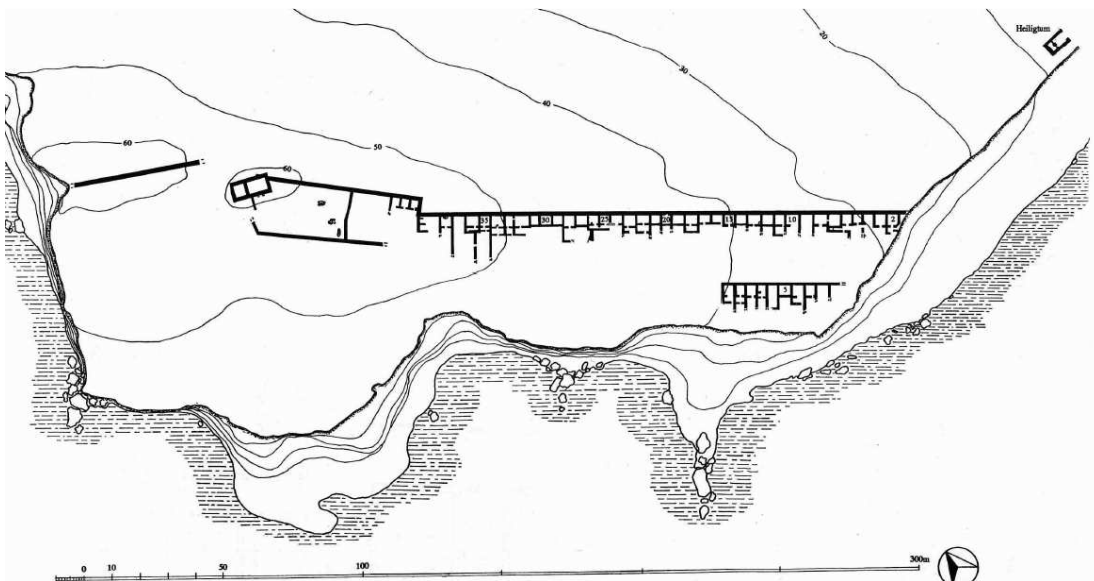


Fig. 379. Vroulia. Plan du site (Lang, 1996, fig.64 d'après Kinch, 1914)

Xanthos

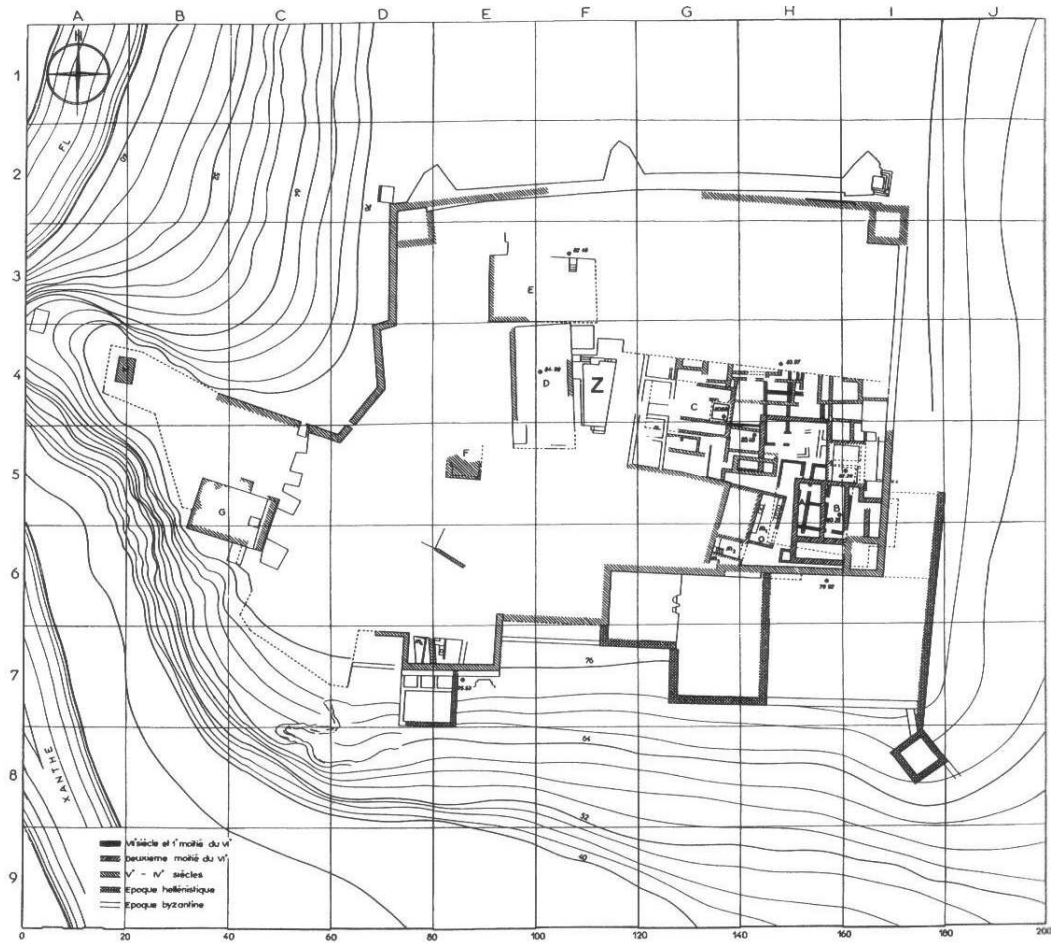


Fig. 380. Xanthos. Plan de l'acropole lycienne (Marksteiner, 1997, pl. 118. Fig. 82)



Fig. 381. Xanthos. Parement Est de l'enceinte de l'acropole lycienne. Appareil polygonal lesbien (ph. de l'auteur)

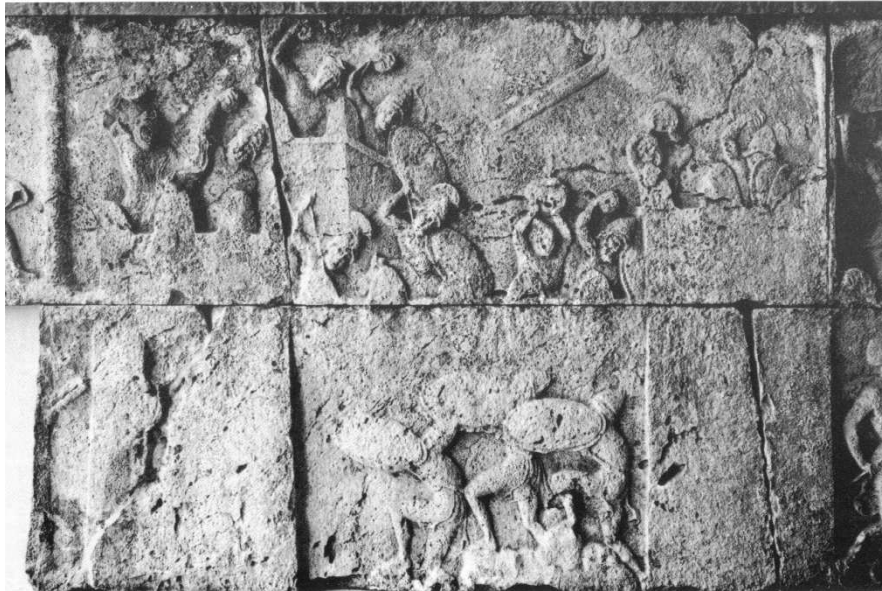


Fig. 382. Trysa. Mur intérieur ouest de l'Herôon (Childes, 1978, Pl. 14)

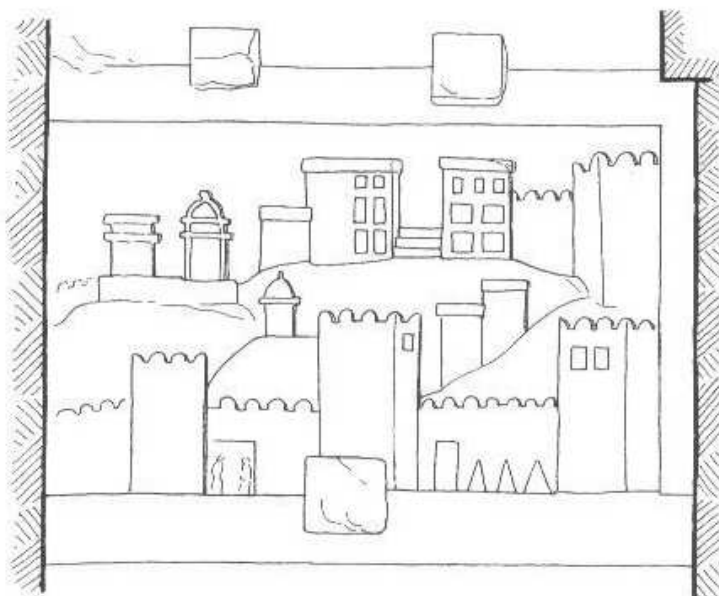


Fig. 383. Pinara. Panneau en relief d'une tombe représentant les murs de la cité (Ginouès, 1998, Pl. 12, Fig. 6)



Fig. 384. Oinochoé en argent. Scène de la guerre de Troie représentant le rempart et le crénelage à merlons quadrangulaires (Childes, 1978, pl.33.4)

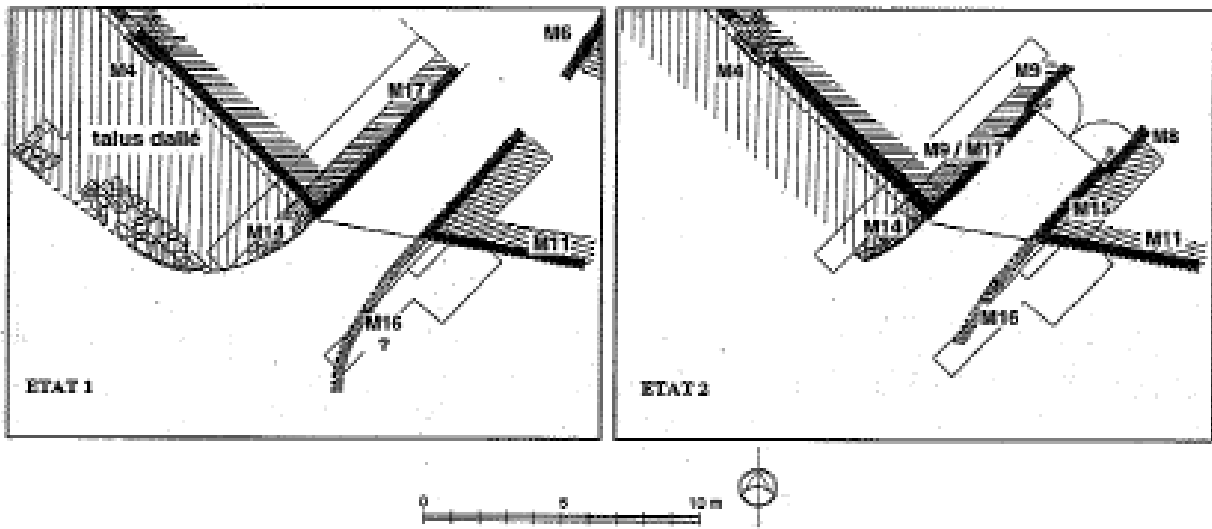


Fig. 385. Thasos. Porte des Charites (Passage des Théores). Talus dallé.
 (d'après Blondé et al. 2002, fig.89)

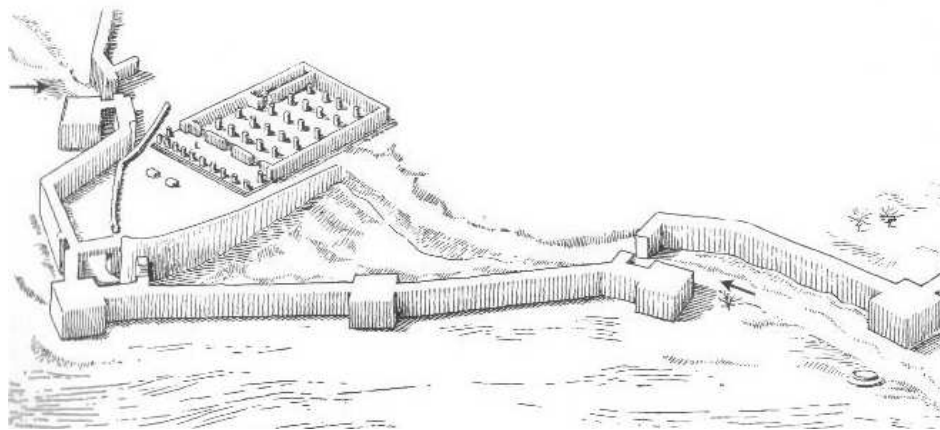


Fig. 386. Eleusis. Porte à recouvrement Représentation hypothétique des fortifications.
 (Lawrence, 1979, fig.108)

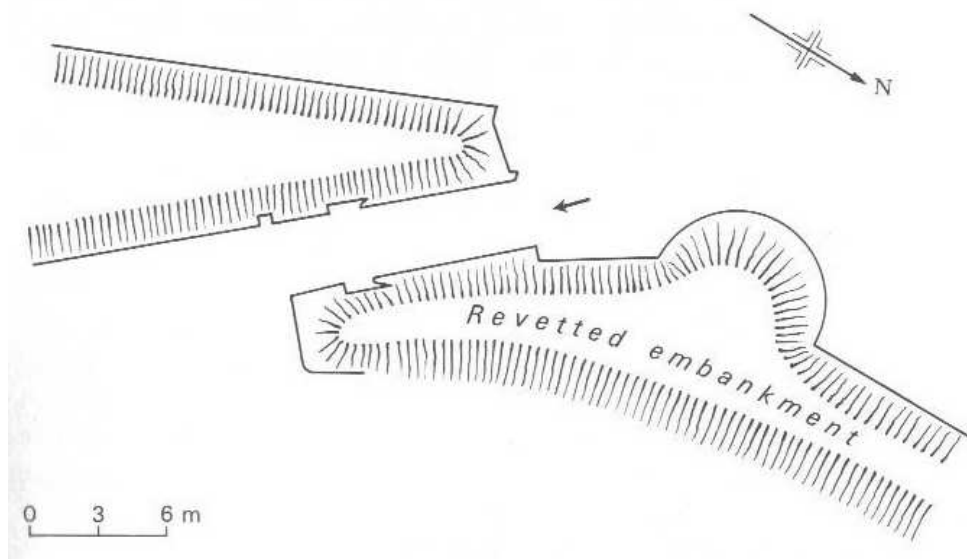


Fig. 387. Mégara Hyblaea (Sicile). Porte à recouvrement (Lawrence, 1979, Fig.109)

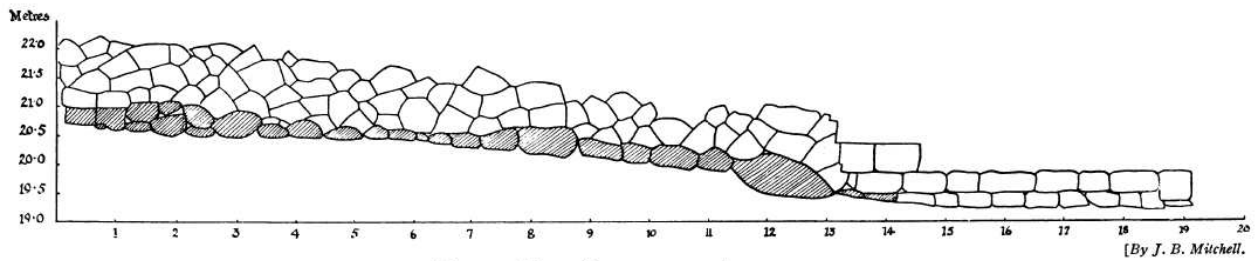


FIG. 4.—WALL, NORTH OF THE ACROPOLIS.

[By J. B. Mitchell.]

Fig. 388. Antissa. Mur en appareil polygonal sur l'acropole (Lamb, 1930/1931, fig.4)

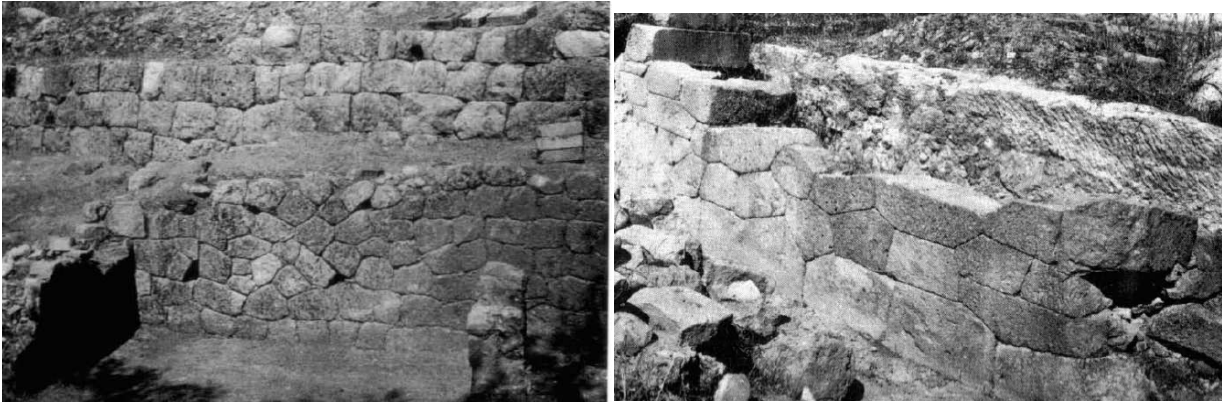


Fig. 389. Vélia. Appareil polygonal (Martin, 1985, fig.3 et 5)



Fig. 390. Delphes. Mur en appareil polygonal à joints courbes (ph. de l'auteur)

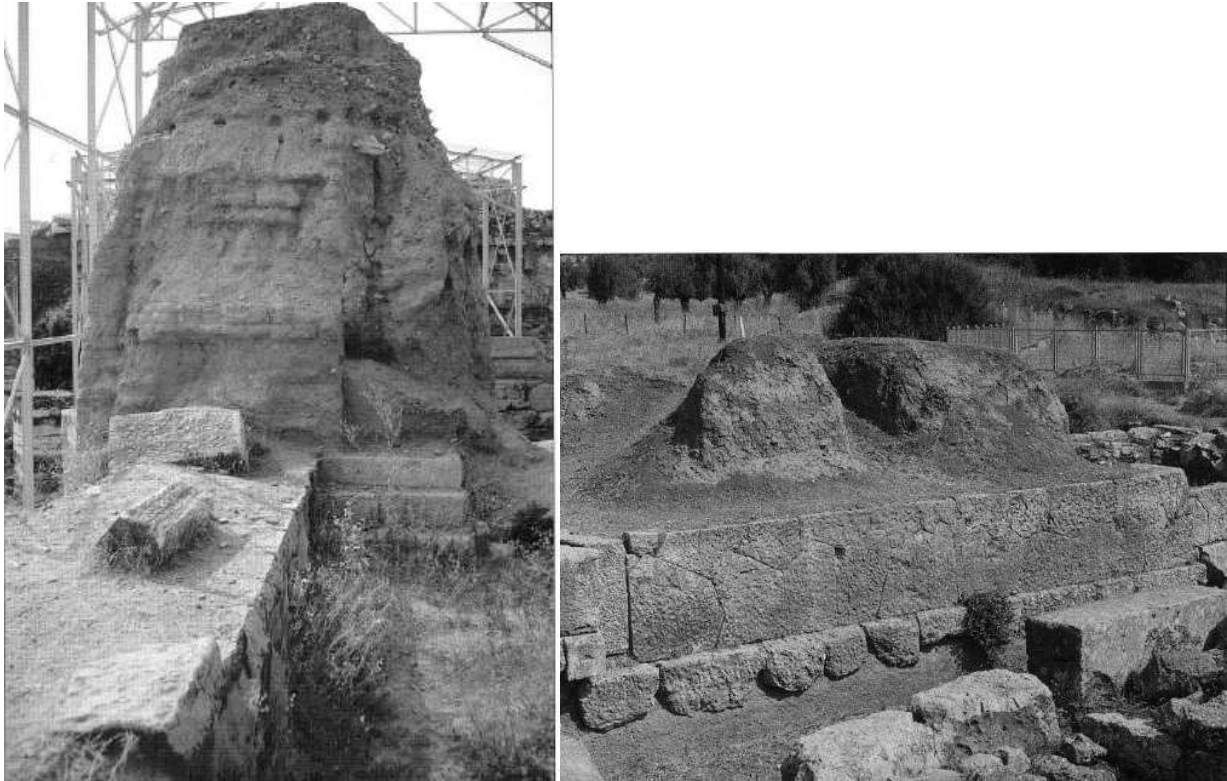


Fig. 391. Eleusis (gauche) et Erétrie (droite). Superstructure en briques crues conservées (Fields, 2006, 41 et 43)

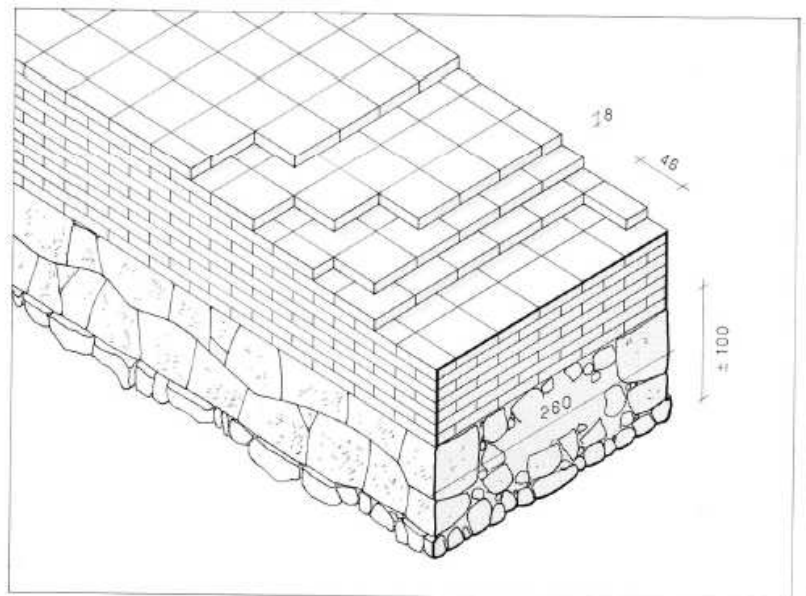


Fig. 392. Eleusis. Restitution du mur. Socle et superstructure en briques (Ginouvés et Martin, 1985, pl.24.1)

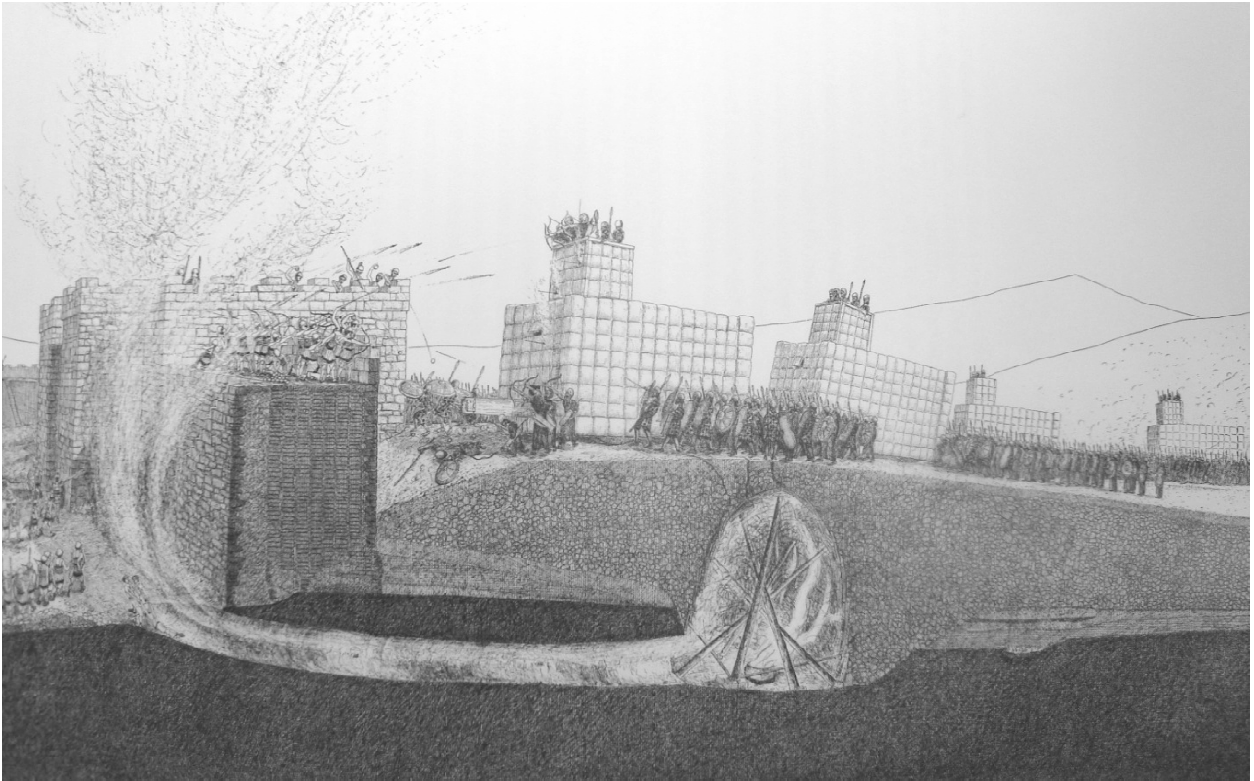


Fig. 393. Siège de Paphos en 490. Vue d'artiste (Maier, 2008, fig.142)

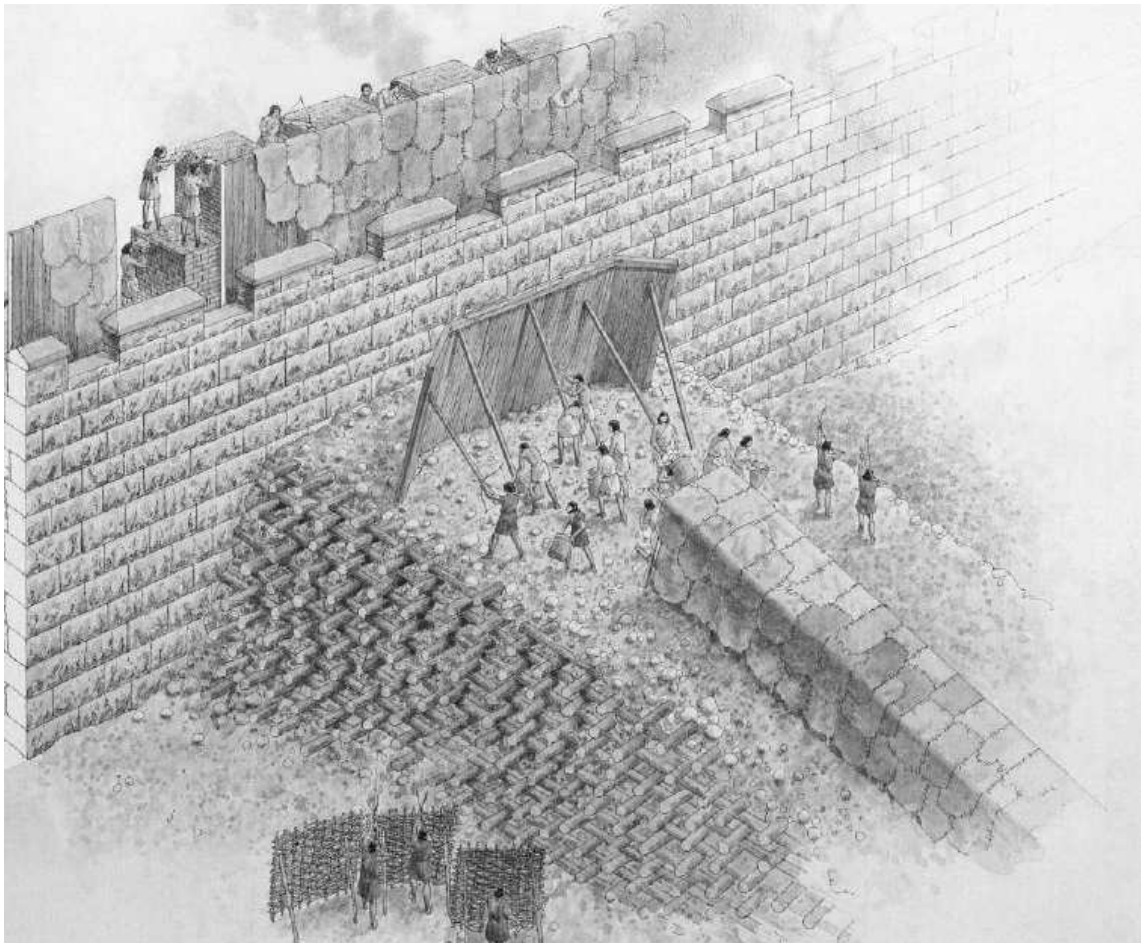


Fig. 394. Siège de Platée en 429. Vue d'artiste (Fields, 2006, 54)

Table des illustrations

Fig. 1. Gordion. Plan d'ensemble du site (Voigt and Henrickson, 2000, fig. 1)	8
Fig. 2. Gordion. Plan de la citadelle (YHSS 6B)	9
Fig. 3. Gordion. Early Phrygian Building (musée de Gordion)	9
Fig. 4. Gordion. Polychrome House	10
Fig. 5. Gordion. Orthostate sculpté.	10
Fig. 6. Gordion. Plan de la citadelle (YHSS 6A) (Voigt, 2007, fig.3)	11
Fig. 7. Gordion. Plan de la porte de la citadelle (Young, 1956, fig. 25)	11
Fig. 8. Gordion. Vue de la l'intérieur de la citadelle vers le sud. (ph. de l'auteur)	12
Fig. 9. Gordion. Porte de la citadelle et remplissage postérieur (à droite). Vue vers le nord	12
Fig. 10. Gordion. Plan de la citadelle (YHSS 5) (Voigt, 2007, fig.5)	13
Fig. 11. Gordion. Mur de la citadelle (YHSS 5) (A: ph. de l'auteur, B: Young, 1955, fig.2)	13
Fig. 12. Gordion. Vue du glacis en avant de la citadelle. (ph. de l'auteur)	14
Fig. 13. Gordion. Coupe du glacis (Young, 1956, fig.11)	14
Fig. 14. Gordion. Küçük Höyük. Enceinte urbaine du YHSS 5 (Edwards, 1959, pl. 64)	15
Fig. 15. Gordion. Küçük Höyük. (ph. de l'auteur)	15
Fig. 16. Gordion. Küçük Höyük. Mur de brique de la forteresse	16
Fig. 17. Gordion. Küçük Höyük.	16
Fig. 18. Gordion. Vue aérienne du site. Citadelle, ville basse et ville extérieure	17
Fig. 19. Gordion. Restitution du système de fortification au Phrygien Moyen (YHSS 5)	17
Fig. 20. Gâvurkalesi. Plan du site. (Lumsden, 2002, fig.3)	18
Fig. 21. Gâvurkalesi. Vue du site.	18
Fig. 22. Gâvurkalesi. Plan du site. Fortifications (mur phrygien sur la pente au sud)	19
Fig. 23. Gâvurkalesi. Reliefs hittites	19
Fig. 24. Çevre Kale (Yaraşlı), citadelle, ville basse et enceinte extérieure (Özgüner, 2006)	20
Fig. 25. Çevre Kale (Yaraşlı). Plan du site. Citadelle et ville basse (Summers, 1992, fig.3)	20
Fig. 26. Çevre Kale (Yaraşlı), Coupe du mur de fortification et du glacis (<i>ibid.</i> fig.4)	21
Fig. 27. Çevre Kale (Yaraşlı), glacis dans le secteur de la porte de la citadelle. (<i>ibid.</i> pl.44a)	21
Fig. 28. Vue de Gökgöz, Pişmiş et Kocabaş Kale depuis l'Akpara Kale. (ph. de l'auteur)	23
Fig. 29. Gökgöz, Pişmiş et Kocabaş Kale. Vue depuis la Cité de Midas. (ph. de l'auteur)	24
Fig. 30. Cité de Midas. Vue depuis le Pişmiş Kale. (ph. de l'auteur)	24
Fig. 31. Cité de Midas. Plan général (Haspel, 1971, fig. 495)	25
Fig. 32. Cité de Midas. Tracé de l'enceinte (Gabriel, 1965, fig. 2)	26
Fig. 33. Cité de Midas. Parois rocheuses sur la face ouest (ph. de l'auteur)	26
Fig. 34. Cité de Midas. Escalier M et entailles dans la ligne de crête (Gabriel, 1965, fig. 3)	27
Fig. 35. Cité de Midas. Escalier M (ph. de l'auteur)	27
Fig. 36. Cité de Midas. Escaliers secteur F	28
Fig. 37. Cité de Midas. Monument de Midas (A). Chemin menant au <i>kale</i> (B).	28
Fig. 38. Pişmiş Kale. Vue du sud (ph. de l'auteur)	29

Fig. 39. Pişmiş Kale. Plan des vestiges (Haspels, 1971, fig. 496)	29
Fig. 40. Pişmiş Kale. Porte A. Vue de l'intérieur (ph. de l'auteur)	30
Fig. 41. Pişmiş Kale. Parois rocheuses taillées (ph. de l'auteur)	30
Fig. 42. Pişmiş Kale. Tunnel-escalier	31
Fig. 43. Pişmiş Kale. Mur-bouchon ph de l'auteur	31
Fig. 44. Pişmiş Kale. Silo/citerne	31
Fig. 45. Pişmiş Kale. Niche cultuelle	31
Fig. 46. Pişmiş Kale. Salle de stockage (ph. de l'auteur)	32
Fig. 47. Akpara Kale. Porte (ph. de l'auteur)	32
Fig. 48. Yapıldak Asar Kaya. Vue générale vers l'est. (Haspels, 1971)	33
Fig. 49. Yapıldak Asar Kaya. Plan du site (Haspels, 1971, fig. 498)	33
Fig. 50. Yapıldak Asar Kaya. Vue de la zone A (rocher 2) et entrée du tunnel (ph. de l'auteur)	34
Fig. 51-52. Yapıldak Asar Kaya. Vue du rocher 2 et entrée du tunnel (ph. de l'auteur)	34
Fig. 53. Köhnüş Kale. (Ph de l'auteur)	35
Fig. 54. Köhnüş Kale. Plan. (Haspels, 1971, fig. 500)	35
Fig. 55. Demirli Kale. Plan. (Haspels, 1971, fig. 500)	36
Fig. 56. Tunnels-escaliers. 1. Yapıldak, 2. Kümbet, 3. Demirli, 4. Pişmiş, (Haspels, 1971, fig. 500)	36
Fig. 57. Fındık Asar Kaya. Plan du site (Haspels, 1971, 504)	37
Fig. 58. Fındık Kale. Plan (Haspels, 1971, 504)	37
Fig. 59-60. Niches cultuelles. Delik Taş (gauche) et Kümbet (droite) (Haspels, 1971, fig.205, 99)	38
Fig. 61. Arslan Kaya (ph. auteur)	38
Fig. 62. Daskyleion. Plan. Mur préachéménide en r. et s. (Güterkin, 2002, 113)	39
Fig. 63. Daskyleion. Rempart préachéménide. Tour sud-est	39
Fig. 64. Boğazköy. Plan (Seeher, 2006b)	41
Fig. 65. Boğazköy. Plan du site aux VIII ^e -VII ^e s. Bk II. (Neve, 1982, pl.7)	42
Fig. 66. Boğazköy. Plan du site aux VII ^e -VI ^e s. Bk I. (Neve, 1982, pl.8)	43
Fig. 67. Boğazköy. Büyükkale. Plan du site aux VII ^e -VI ^e s. Bk I. (Neve, 1982, pl. 56)	44
Fig. 68. Boğazköy. Topographie du site. Vue vers l'est. Büyükkale au centre de l'image (Sagona, 2009, 7.2)	45
Fig. 69. Boğazköy. Büyükkale. Vue vers le nord depuis le Südburg (ph. de l'auteur)	45
Fig. 70. Boğazköy. Büyükkale. Vue vers le nord-ouest depuis le Südburg (ph. de l'auteur)	46
Fig. 71. Boğazköy. Büyükkale. Mur dans le secteur de la porte sud (ph. de l'auteur)	46
Fig. 72. Boğazköy. Büyükkale (Neve, 1982, pl. 76c)	47
Fig. 73. Boğazköy. Büyükkale. Escalier sur la pente nord (Ph. l'auteur)	47
Fig. 74. Boğazköy. Büyükkale. Escalier et glacis sur la pente nord (Neve, 1982, pl. 74a)	48
Fig. 75. Boğazköy. Büyükkale. Escalier et glacis sur la pente nord (Neve, 1982, pl. 47)	48
Fig. 76. Boğazköy. Büyükkale. Glacis (Neve, 1982, pl. 74b)	48
Fig. 77. Boğazköy. Büyükkale. Plan des différentes portes (Neve, 1982, fig.84)	49
Fig. 78, 79 80. Boğazköy. Büyükkale. Statues et idoles de la porte orientale (Neve, 1982)	49
Fig. 81. Boğazköy. Südburg. Plan (Neve, 1990, fig.1) (1-11= bastions et tours)	50
Fig. 82. Boğazköy. Südburg. Section est du rempart recouvrant une construction hittite	50
Fig. 83. Boğazköy. Südburg. Porte et bastion (ph. de l'auteur)	51
Fig. 84. Boğazköy. Pente nord ouest. Mur de terrasse ou de fortifications (Schirmer, 1969, pl. 7a)	51
Fig. 85. Alişar Höyük. Plan du site. (Bittel, 1937, 288)	52

Fig. 86. Alişar Höyük. Tour (D14). (Bittel, 1937, fig.373)	52
Fig. 87. Alişar Höyük. Coupe du mur d'enceinte (Bittel, 1937, 365)	52
Fig. 88. Alişar Höyük. Tour (D14). (Bittel, 1937, fig.372)	53
Fig. 89. Alişar Höyük. Porte de la citadelle. Différentes phases (Bittel, 1937, 321)	53
Fig. 90. Alişar Höyük. Restitution de la cité à l'époque impériale hittite (von der Osten, H.H., 1937b, pl. XIV)	54
Fig. 91. Alişar Höyük. Restitution de la cité à l'âge du fer (von der Osten, H.H., 1937b, pl. XV)	54
Fig. 92. Çadır Höyük. Vue aérienne. (Gorny, 2004, fig.1)	55
Fig. 93. Çadır Höyük. Mur de l'âge du fer tardif bloquant la porte hittite	55
Fig. 94. Alaca Höyük. Plan de la citadelle. Vestiges de l'âge du fer	56
Fig. 95. Pazarlı. Plan du site (Koşay 1938)	56
Fig. 96. Pazarlı. Plan du site (Koşay 1938)	57
Fig. 97. Akalan. Plan de la citadelle (Dönmez, 2004, 83)	57
Fig. 98. Akalan. Porte avec glacis (Macridy, 1907)	57
Fig. 99. Çeşka Kalesi (Strobel et Gerber, 2007, fig. 51)	58
Fig. 100. Kerkenes. Plan du site. (Summers, http://www.kerkenes.metu.edu.tr)	59
Fig. 101. Kerkenes. Plan du site avec les portes et les blocs urbains	60
Fig. 102. Kerkenes. Vue aérienne du site. (Summers, 1997, fig.2)	61
Fig. 103. Kerkenes. Vue en 3D du site (Atalan-Çayirezmez, 2006, fig. 2.7)	61
Fig. 104. Kerkenes. Porte de Cappadoce. Keykavus Kale à l'arrière plan (Summers <i>et al.</i> , 2011, fig. 53)	62
Fig. 105. Kerkenes. Porte de Cappadoce avec glacis (Summers <i>et al.</i> , 2010, fig. 127)	62
Fig. 106. Kerkenes. Mur avec empreintes de poutres Summers <i>et al.</i> , 2010, fig. 106)	62
Fig. 107. Kerkenes. Porte de Cappadoce. Traces d'assises en bois	63
Fig. 108. Kerkenes. Plan de 4 portes (d'après Atalan-Çayirezmez, 2006, fig. 3.46)	63
Fig. 109. Kerkenes. Plan de la porte de Cappadoce (Summers <i>et al.</i> , 2011, fig.52)	64
Fig. 110. Kerkenes. Plan de la porte de Cappadoce (Summers <i>et al.</i> , 2011, fig.55)	64
Fig. 111. Kerkenes. Idole dans la porte de Cappadoce	65
Fig. 112. Kerkenes. Statue représentant un dieu ou un monarque	65
Fig. 113. Kerkenes. Hypothèse de restitution de la porte de Cappadoce	66
Fig. 114. Kerkenes. Structure interne du glacis	66
Fig. 115-116. Havuzköy. Plan approximatif du site et glacis (Boehmer, 1967, fig. 3 et 10)	68
Fig. 117. Göllüdağ. Plan du site (Schirmer, 1999, fig.1)	68
Fig. 118. Göllüdağ. Plan du site (Schirmer, 1999, fig.3)	69
Fig. 119. Göllüdağ. Plan et vue aérienne du complexe monumental de la citadelle	69
Fig. 120. Porsuk. Plan du site (Beyer, 2006, fig.1)	70
Fig. 121. Porsuk. Plan des différentes phases des murs de fortifications (Beyer, 2006, fig.4)	70
Fig. 122. Porsuk. Arcature ogivale en briques (Pelon et Dupré, 1987, 21)	71
Fig. 123. Porsuk. Relevé de l'élévation des murs (Pelon, 1992, pl. B)	71
Fig. 124. Kızıldağ. Plan du site (Karağuz <i>et al.</i> , 2002, pl.17)	72
Fig. 125. Kızıldağ. Vue du site. (Karağuz <i>et al.</i> , 2002)	72
Fig. 126. Kızıldağ. Mur de fortification (Karağuz <i>et al.</i> , 2002)	72
Fig. 127. Sardes. Topographie du site (Cahill, 2008, pl.13a)	74

Fig. 128. Sardes. Vue en perspective de l'acropole et du Tmolos (Cahill, 2008, pl.13b)	74
Fig. 129. Sardes. Plan.	75
Fig. 130. Sardes. Plan de l'acropole (Hanfmann, 1983, fig.70)	75
Fig. 131. Sardes. Mur de terrasse sur l'acropole (Greenewalt, 2010, fig. 27)	76
Fig. 132. Sardes. Murs de terrasse de l'acropole (Cahill, 2010(a), fig.6)	76
Fig. 133. Sardes. Murs de terrasse de l'acropole, AcN (Hanfmann, 1983, fig.80)	77
Fig. 134. Sardes. Murs de terrasse de l'acropole, AcN (Hanfmann, 1983, fig.82)	77
Fig. 135. Sardes. Plan du site et des remparts (Cahill, 2008, pl.14)	78
Fig. 136. Sardes. Restitution hypothétique du rempart (Cahill et Kroll, 2005, fig. 11)	78
Fig. 137. Sardes. Secteur MMS (Cahill et Kroll, 2005, Fig. 10)	79
Fig. 138. Sardes. Secteur MMS. Fondations, socle, superstructure du rempart	80
Fig. 139. Sardes. Tombe de Sariçalı. Canisse de roseau (Greenewalt <i>et al.</i> , 1994, 40)	80
Fig. 140. Sardes. Elévation du mur et couches de roseaux (Greenewalt et Rautman, 2000, fig.19)	80
Fig. 141. Sardes. Restitution de la base du rempart (Greenewalt, 1979, fig. 28)	81
Fig. 142. Sardes. Restitution hypothétique de l'élévation du rempart (Greenewalt <i>et al.</i> , 1995, 12)	81
Fig. 143. Sardes. Plan de la porte, secteur MMS	82
Fig. 144. Sardes. Fondations du mur pseudo-isodome, secteur MMS	82
Fig. 145. Sardes. Mur de revêtement dans le secteur MMS	83
Fig. 146. Sardes. Secteur MMS. Détail des blocs à ciselure périmétrale	83
Fig. 147. Sardes. Secteur MD2. Socle et superstructure	83
Fig. 148. Sardes. Représentation hypothétique de la porte du rempart	84
Fig. 149. Sardes. Représentation hypothétique du rempart à la veille de l'attaque de Cyrus	84
Fig. 150. Sardes. Rempart vu en coupe. Mur perse sur le sommet (Greenewalt et al. 1983, fig.4)	85
Fig. 151. Sardes. Représentation de la reconstruction du rempart après la destruction de 546	85
Fig. 152. Péninsule de Loryma. Vue vers le sud (Benter, 2009, fig.2)	87
Fig. 153. Loryma. Plan general (Held, 1999, 166)	88
Fig. 154. Loryma. Plan du site (Held, 1999, fig.4)	88
Fig. 155. Hydas/Hygassos. Plan du site (Benter, 2009, fig. 15)	89
Fig. 156. Hydas. Porte principale (Benter, 2009, fig.17)	89
Fig. 157. Kissebükü. Mur de l'acropole (Diler, 2007, fig.10)	89
Fig. 158. Idyma. Plan de la citadelle (Iren, 2008, fig.3)	90
Fig. 159. Idyma. Citadelle et ville basse (Pimouguet-Pédarros, 2000(a), pl. 6.2)	90
Fig. 160. Gökçeler-Pédasa (Bean, 1971, Fig. 17)	92
Fig. 161. Gökçeler-Pédasa. Vue vers l'est depuis la forteresse (B) (ph. de l'auteur)	92
Fig. 162. Gökçeler-Pédasa. Acropole, vue vers le nord (ph. de l'auteur)	93
Fig. 163. Gökçeler-Pédasa. Porte de l'acropole (ph. de l'auteur)	93
Fig. 164. Gökçeler-Pédasa. Mur de l'acropole. Façade extérieure (ph. de l'auteur)	94
Fig. 165. Gökçeler-Pédasa. Résidence dynastique (ph. de l'auteur)	94
Fig. 166. Alâzeytin Kalesi. Plan du site (Radt, 1970, Annexe 1)	95
Fig. 167. Alâzeytin Kalesi. Restitution du site en 3D. Cavalier <i>et al.</i> 2008	95
Fig. 168. Alâzetin Kalesi. Bâtiment 31. Plattenmauerwerk (Rumscheid, 2009, fig.3)	96

Fig. 169. Alâzeytin Kalesi. Section en gros	96
Fig. 170. Burgaz. Plan sommaire du site	97
Fig. 171. Göl, plan du site (Bean et Cook, 1955, fig.9)	97
Fig. 172. Asarlık. Plan du site (Bean et Cook, 1955, fig.5)	98
Fig. 173. Çilek Kalesi. Plan du site (Radt, 1970, plan 4)	98
Fig. 174. Girel Kalesi. Plan du site (Radt, 1970, plan 2)	99
Fig. 175. Ören Avlusu. Plan du site (Radt, 1970, plan 2)	100
Fig. 176. Ören Avlusu. Vue aérienne du site (google earth)	100
Fig. 177. Büyük Keneli Tepe. Plan du site (Radt, 1970, pl. 6)	101
Fig. 178. Kovuk Çal (<i>ibid</i> , pl.5)	101
Fig. 179. Tırman Sivrisi (<i>ibid</i> . pl.8)	101
Fig. 180. Koca Dağ. Plan du site (Radt, 1970, pl.7)	102
Fig. 181. Oyuklu Dağ. Plan du site (<i>ibid</i> . fig.10)	102
Fig. 182. Kaplan Dağ. Plan du site (<i>ibid</i> . Fig.12.2)	102
Fig. 183. Koca Ören. Plan (Radt, 1970 fig.13)	103
Fig. 184. Evliç Ören (Rumscheid, 2009, fig.5, d'ap. Radt)	103
Fig. 185. Büyük Çevrim (Radt, 1970 fig.18)	103
Fig. 186. Compound vers Théangéla (ph. de l'auteur)	103
Fig. 187. Portes des sites fortifiés de la péninsule d'Halicarnasse (Radt, 1970, fig.14)	104
Fig. 188. Théangéla. Appareillage des murs (Ph de l'auteur)	104
Fig. 189. Myndos. Plan du site.	105
Fig. 190. Myndos. Mur de la péninsule (Ph de l'auteur)	105
Fig. 191. Myndos. Mur de la péninsule. Parement interne (Ph de l'auteur)	105
Fig. 192. Myndos. Plan des fortifications (Sahin, 2009, fig.3)	106
Fig. 193. Myndos. Mur de la péninsule. Appareil polygonal (ph de l'auteur)	106
Fig. 194. Vallée de Mylasa et Sodra Dağı vers le nord depuis le Beçin Kalesi (Ph. l'auteur)	108
Fig. 195. Mylasa. Sodra Dağı. Plan des fortifications (d'après Rumscheid, 1999, fig.4)	108
Fig. 196. Pidasas. Plan du site (Peschlow-Bindokat, 1989, fig. 12)	109
Fig. 197. Asar Tepe. Plan (Peschlow-Bindokat, 1989,fig.8)	109
Fig. 198. Zeytin Dağ. Plan de la porte	109
Fig. 199. Iasos. Plan du site (Laviosa, 1978, III.1)	110
Fig. 200. Iasos. Flanc ouest de l'acropole (ph. auteur)	110
Fig. 201. Iasos. Mur de fortification supposé (ph. de l'auteur)	111
Fig. 202. Iasos. Plan du mur de fortification (Levi, 1963, fig.39)	111
Fig. 203. Teichiussa. Plan du site et des environs	113
Fig. 204. Teichiussa. Murs de fortification sur Sapliadası	113
Fig. 205. Milet. Plan du site (von Gerkan, 1935, pl. I)	114
Fig. 206. Milet. Kalabaktepe. Plan du site (Senff, 2000, fig.4)	115
Fig. 207. Milet. Kalabaktepe. Plan du mur de fortification (Senff, 2000, fig.5)	115
Fig. 208. Milet. Kalabaktepe. Portes et courtines (d'après Lang, 1996, fig.73)	115
Fig. 209. Milet. Kalabaktepe. Vue de la colline vers le sud ouest (ph. auteur)	116
Fig. 210. Milet. Colline du Théâtre depuis Kalabaktepe (ph. de l'auteur)	116
Fig. 211. Milet. Vallée du Méandre depuis Kalabaktepe. Mykale en arrière plan (ph. de l'auteur)	116
Fig. 212. Milet. Kalabaktepe. Mur en appareil polygonal (ph. de l'auteur)	117
Fig. 213. Milet. Kalabaktepe. Mur en appareil rectangulaire à bossage. Tour (ph. de l'auteur)	117
Fig. 214. Milet. Tracé de l'enceinte d'après les prospections géomagnétiques	118
Fig. 215-216 Atburgazı. Vue du site et plan (Lohmann, 2007 <i>et al.</i> , fig.5 et 6)	119

Fig. 217. Çatallar Tepe. Vue vers le Nord	120
Fig. 218. Çatallar Tepe. Plan du site (Lohmann <i>et al.</i> , 2007, fig.53)	120
Fig. 219. Kaletepe et ses environs. (Kleiner <i>et al.</i> , 1967 pl.1)	121
Fig. 220. Kaletepe. Enceinte au sommet du Kaletepe (<i>ibid.</i>)	121
Fig. 221. Kaletepe. Section du mur sud (<i>ibid.</i> fig.49)	121
Fig. 222. Kaletepe. Section du mur nord (<i>ibid.</i> fig.49)	121
Fig. 223. Samos. Plan du site (tracé du mur archaïque en grisé) (Lang, 1996, fig. 89 d'ap. Kienast, 1978)	122
Fig. 224. Samos. Section nord ouest de l'enceinte archaïque (Kienast, 1978, fig. 17)	123
Fig. 225. Samos. Section du rempart nord. Vue vers le Mykale (ph. de l'auteur)	123
Fig. 226. Samos. Section du rempart nord. (ph. de l'auteur)	123
Fig. 227. Samos. Poterne avec section en appareil polygonal (pforte D-Kastelli) (ph. de l'auteur)	124
Fig. 228. Samos. Restitution hypothétique du rempart. Vue de face et en coupe (Kienast, 1978, fig. 20)	124
Fig. 229. Samos. Relevé en coupe des fossés (Kienast, 1978, fig.50)	124
Fig. 230. Ephèse. Plan du site (Tréziny, d'après Scherrer, 2001)	125
Fig. 231. Ephèse. Plan du secteur de Panayır Dağ (Scherrer, 2001, fig.3.9.)	125
Fig. 232. Ephèse. Section du mur sur le Panayır Dağ (Kerschner <i>et al.</i> , 2008, pl.40)	126
Fig. 233. Colophon. Plan du site (Mc Nicoll, 1997, 70)	126
Fig. 234. Téos. Plan du site (Bean, 1979 (a), Fig. 36)	127
Fig. 235. Téos. Plan 2 (Ersöy <i>et al.</i> , 2010, fig.1)	127
Fig. 236. Clazomènes. Plan du site (d'après Ersöy, 2007, fig.1)	127
Fig. 237-238. Clazomènes. Mur d'enceinte dans le secteur de la porte (Bakır <i>et al.</i> , 2008, fig.11 et 13)	128
Fig. 239. Clazomènes. Vue de la porte (Ersöy <i>et al.</i> 2011, fig.5)	128
Fig. 240. Clazomènes. Blocs à l'angle de la porte (Bakır <i>et al.</i> , 2005, fig.9)	128
Fig. 241-242. Clazomènes. Glacis. (Ersöy <i>et al.</i> 2010, fig. 3 et 2)	128
Fig. 243. Kocadümen Tepe. Plan (Beden <i>et al.</i> , 2005, 114)	129
Fig. 244. Erythrées. Plan du site	129
Fig. 245. Lébédos, Plan du site (<i>ibid.</i> , Fig. 30)	129
Fig. 246. Emporio. Chios. Vue du site (Boardman, 1967, pl.1a)	130
Fig. 247-248 Emporio. Chios. Plan du site et de la partie sud de l'acropole (Boardman, 1967, fig.2 et 4)	130
Fig. 249. Plan des environs de Smyrne (Cook <i>et al.</i> , 1998, fig.1)	131
Fig. 250. Smyrne dans les années 1930 (Miltner, 1932, fig.80)	131
Fig. 251. Smyrne. Plan des premières zones de fouilles (Nicholls, 1958-1959, plan)	132
Fig. 252. Smyrne. Plan du site	133
Fig. 253. Smyrne. Vue des murs dans la partie orientale du site (ph. de l'auteur)	133
Fig. 254-255. Smyrne. Murs du VII ^e s. et du couronnement en appareil polygonal lesbien (VI ^e s.)	134
Fig. 256. Smyrne. Socle du VII ^e s. et superstructure en appareil polygonal lesbien (VI ^e s.) (ph. de l'auteur)	134
Fig. 257. Smyrne. Avant mur du VI ^e s et possible porte dans l'enceinte principale	134
Fig. 258. Smyrne. Représentation de la cité et de ses défenses autour de 700	135
Fig. 259. Smyrne. Interprétation simplifiée des quatre phases de fortification du site (Mur 1 à 4)	135
Fig. 260-261. Smyrne. Tour nord-est. Elévation et du remplissage (<i>ibid.</i> fig. 32 et 30)	136
Fig. 262. Smyrne. Section des différents états de l'enceinte. (Nicholls, 1958-1959, pl.7)	136
Fig. 263. Smyrne. Représentations hypothétiques de l'enceinte	136
Fig. 264. Smyrne. <i>Inner Defence Platform</i> (Cook <i>et al.</i> , 1998, fig. 8)	137
Fig. 265-266. Barricade du VI ^e s. dans le temple d'Athéna (Akurgal, 1983, fig.52b et ph. de l'auteur)	137

Fig. 267. Smyrne. Glacis. Mur 4 (époque classique)	137
Fig. 268. Phocée. Plan du site. Tracé supposé du rempart (d'après Tréziny, 2006, fig.12)	138
Fig. 269. Phocée. Colline des moulins/du théâtre (ph. de l'auteur)	139
Fig. 270. Phocée. Colline dans la partie est de la cité (ph. de l'auteur)	139
Fig. 271. Phocée. Port. Section du rempart (ph. auteur)	139
Fig. 272. Phocée. Lits de pose	139
Fig. 273. Phocée. Maltepe. Rempart et glacis (ph. auteur)	140
Fig. 274-275. Phocée. Maltepe. Glacis (ph. auteur)	140
Fig. 276. Phocée. Détail du glacis (rainure) (ph. auteur)	141
Fig. 277. Phocée. Maltepe. Plan de la porte (Özyiğit, 1994, fig. 4)	141
Fig. 278-279. Phocée. Maltepe. Vue de la porte.	141
Fig. 280. Cymè. Plan du site	143
Fig. 281. Myrina. Plan du site (Bean, 1979a, fig. 16 d'après Pottier et Reinach)	143
Fig. 282. Aigai. Plan du site (Bohn, 1889, fig.3)	144
Fig. 283. Larisa sur l'Hermos. Plan du site et de ses environs (Boehlau & Schefold, 1940, pl. 45)	145
Fig. 284. Larisa sur l'Hermos. Plan du site avant 500 *	145
Fig. 285. Larisa sur l'Hermos. Plan des murs de la citadelle (Adam, 1992, fig.4)	146
Fig. 286. Larisa sur l'Hermos. Plan des différentes phases de construction sur la citadelle	146
Fig. 287. Larisa sur l'Hermos. Colline de la citadelle. Vue vers le sud-ouest (ph. auteur)	147
Fig. 288. Larisa sur l'Hermos. Fondations du mur de la citadelle (ph. auteur)	147
Fig. 289. Larisa sur l'Hermos. Fondations sur le rocher du mur de la citadelle (ph. auteur)	147
Fig. 290. Larisa sur l'Hermos. Mur polygonal dans le secteur de la porte (ph. auteur)	148
Fig. 291. Larisa sur l'Hermos. Mur polygonal. Courtine au S-O de la tour VII (ph. auteur)	148
Fig. 292. Larisa sur l'Hermos. Mur polygonal. Courtine entre tours I et VIII (ph. auteur)	148
Fig. 293. Larisa sur l'Hermos. Tour I et courtine vers le nord. (ph. auteur)	149
Fig. 294. Larisa sur l'Hermos. Restitution de la section entre la tour VIII et la tour I	149
Fig. 925. Larisa sur l'Hermos Tour I. Vue vers le nord (ph. auteur)	149
Fig. 296. Pergame. Plan des fortifications (en noir: Murs I et II) (Radt, 1994, 64)	150
Fig. 297. Pergame. Secteur Sud. Plan d'ensemble des vestiges (Murs I et II) (<i>Ibid.</i> , fig. 5)	151
Fig. 298. Pergame. Mur I. Méthodes de fondation (<i>Ibid.</i> , 66-67)	151
Fig. 299. Pergame. Mur I. Secteur de la porte. Pierres en forme de « miche de pain »	151
Fig. 300. Pergame. Secteur 5. Mur II. Mur de soutènement en appareil polygonal	152
Fig. 301. Pergame. Mur de Philétairos. Glacis (Marksteiner, 1994 (b), Pl.11.3)	152
Fig. 302. Assos. Plan général (Mc Nicoll, 1997, 183)	154
Fig. 303. Assos. Plan de l'acropole (Bacon <i>et al.</i> 1902, 139)	154
Fig. 304. Assos. Section du mur de fortification en appareil polygonal (ph. auteur)	154
Fig. 305. Gargara. Plan du site (croquis) (Stupperich, 1996, fig.1)	155
Fig. 306. Gargara. Plan du site (Cook, 1973, 258)	155
Fig. 307. Gargara, section du rempart (<i>ibid.</i> pl. 35)	155
Fig. 308. Lamponia. Plan (croquis) (Cook, 1973, 262)	156
Fig. 309. Lamponia. Mur d'enceinte (ph. auteur)	156
Fig. 310. Lamponia. Acropole. Vue depuis la ville basse (ph. auteur)	156
Fig. 311-312. Lamponia. Enceinte. Blocs cyclopéens. Secteur de la porte (angle et parement) (ph. auteur)	156
Fig. 313. Néandria. Plan du site (Winter, 1985, 681 d'après Koldewey)	157

Fig. 314. Néandria. Plan du rempart le plus ancien de la cité (Schulz, 2000, fig.10)	157
Fig. 315. Beşik Tepe (Achilleion). Vue du promontoire (Ivanova, 2008, fig.36)	158
Fig. 316. Beşik Tepe (Achilleion) (Korfmann, 1988, fig.3)	158
Fig. 317. Hattuşa. Reconstruction partielle du mur hittite (ph. auteur)	160
Fig. 318. Hattuşa. Tour hittite reconstruite (<i>ibid.</i>)	160
Fig. 319. Hattuşa. Casemates et poterne (<i>ibid.</i>)	160
Fig. 320. Hattuşa. Porte aux lions. Glacis contre le mur (<i>ibid.</i>)	161
Fig. 321. Hattuşa. Porte aux lions. Tentative de restitution. Le glacis a été omis	161
Fig. 322. Hattuşa. Porte aux lions (ph. de l'auteur)	161
Fig. 323-324. Hattuşa. Porte du roi (King's Gate) (Sagona, 2009, 268. et ph. de l'auteur)	162
Fig. 325. Hattuşa. Yerkapı. Glacis (<i>ibid.</i>)	162
Fig. 326. Portes des enceintes et citadelles hittites et néo-hittites (Naumann, 1971, fig.406)	163
Fig. 327. Techniques de construction hittites	164
Fig. 328. Kuşaklı-Sarissa. Porte nord-ouest (Mielke, 2009, Fig.7)	164
Fig. 329. Zincirli. Plan du site (Schloen et Fink, 2009, 208 d'après von Luschan, 1898)	165
Fig. 330. Zincirli. Coupe des murs et glacis (Schloen et Fink, 2009, 211 von Luschan, 1898)	165
Fig. 331. Zincirli. Fondation de blocaille et de bois (Schloen et Fink, 2009, 209)	166
Fig. 332. Karatepe. Plan du site (Sicker-Akman, 1999, fig.3)	166
Fig. 333. Karatepe. Plan des défenses (Sicker-Akman, 1999, fig.3)	167
Fig. 334. Karatepe. Portes en chicane (Naumann, 1971, fig. 404-405)	167
Fig. 335. Carcémish. Plan du site (Sagona, 2009, 8.3.)	168
Fig. 336. Carcémish. Mur et glacis (Wooley, 1921, fig.14)	168
Fig. 337. Khorsabad. Plan du site (Halama, 2006, fig.17)	169
Fig. 338. Ninive. Plan du site (<i>ibid.</i> fig. 20)	169
Fig. 339. Assur. Mur de fortification avec revêtement de blocs (Ratté, 2011, fig.275) (à gauche)	169
Fig. 340. Jerwan. Aqueduc de Sennachérib (Ratté, 2011, fig.276) (à droite)	169
Fig. 341. Ninive. Revêtement du mur de fortification	170
Fig. 342. Nimrud. Fort de Shalmaneser	170
Fig. 343. Relief assyrien représentant les murs de fortification d'une ville mésopotamienne.	170
Fig. 344. Relief représentant une attaque assyrienne sur une ville	170
Fig. 345. Ayanis. Vue de la citadelle et son périmètre fortifié	172
Fig. 346. Ayanis. Mur de la citadelle (<i>Ibid.</i> fig.7)	172
Fig. 347. Anzaf (Lower Anzaf). Socle en appareil cyclopéen (Sagona, 2009, 9.6)	172
Fig. 348. Troie VI. Plan de la citadelle (Korfmann, 1995, pl.26)	173
Fig. 349. Troie VII. Plan de la citadelle (Korfmann, 1995, pl.27)	173
Fig. 350. Troie VI. Citadelle. Restitution (Korfmann et Mansperger, 1998, (<i>ibid.</i> fig.65)	174
Fig. 351. Troie VI. Murs et porte à recouvrement	174
Fig. 352. Troie VI. Détail du mur	174
Fig. 353. Troie VI. Bastion N-E	174
Fig. 354. Milet. Extension supposée de l'occupation à l'époque mycénienne	175
Fig. 355. Milet. Tracé supposé du mur de l'âge du bronze (Voigtländer, 1975, fig.10)	175
Fig. 356. Milet. Mur « mycénien ».	176
Fig. 357. Milet et Hattuşa. Murs à compartiments (d'après Voigtländer, 1975, fig.1)	176
Fig. 358. Liman Tepe. Plan (Ekanal <i>et al.</i> , 2008, fig.3)	177
Fig. 359. Liman Tepe. Vue générale des fortifications du l'âge du bronze (<i>ibid.</i> , fig.5)	177

Fig. 360. Liman Tepe. Bastion construit en petit appareil (<i>ibid.</i> , fig.7)	177
Fig. 361. Mycènes. Citadelle. Plan de la partie nord des remparts (Lawrence, 1979, fig.2)	178
Fig. 362. Mycènes. Citadelle. Vue vers le nord (ph. de l'auteur)	178
Fig. 363. Mycènes. Citadelle. Section en appareil cyclopéen (ph. de l'auteur)	178
Fig. 364. Gla. Plan du site (Iakovidis, 1983, fig.17)	179
Fig. 365. Tirynthe. Plan de la citadelle. Partie sud.	179
Fig. 366. Tirynthe. Mur de fortification sur la partie est	179
Fig. 367. Tirynthe. Section à décrochements sur la partie ouest (ph de l'auteur)	180
Fig. 368. Athènes. Mur mycénien. Appareil polygonal (Iakovidis, 1983, pl. 19a)	180
Fig. 369. Enceintes fortifiées de l'âge du bronze récent à la même échelle (Korfmann, 1995, pl.30)	181
Fig. 370. Paphos-Kouklia. Plan de la porte et des courtines adjacentes (Maier, 1985, fig.11)	182
Fig. 371. Paphos. Blocs rectangulaires ciselés (CW6) Fig. 372. Paphos. Boulets (Maier, 2008, fig.107)	182
Fig. 373. Paphos. Murs de briques (A : élévation CW1 ; B : remplissage CW2)	182
Fig. 374. Paphos. Rampe de siège perse comblant le fossé (Maier, 1985, fig.15)	182
Fig. 375-376. Aghios Andréas (Siphnos). Vue vers l'est et plan.	184
Fig. 377. Aghios Andréas. Plan du bastion Fig. 378. Aghios Andréas. Socle et élévation. Extérieur	184
Fig. 379. Vroulia. Plan du site (Lang, 1996, fig.64 d'après Kinch, 1914)	184
Fig. 380. Xanthos. Plan de l'acropole lycienne (Marksteiner, 1997, pl. 118. Fig. 82)	185
Fig. 381. Xanthos. Parement Est de l'enceinte de l'acropole lycienne.	185
Fig. 382. Trysa. Mur intérieur ouest de l'Herôon (Childes, 1978, Pl. 14)	186
Fig. 383. Pinara. Panneau en relief d'une tombe représentant les murs de la cité	186
Fig. 384. Oenochoé en argent. Scène de la guerre de Troie représentant le	186
Fig. 385. Thasos. Porte des Charites (Passage des Théores). Talus dallé.	187
Fig. 386. Eleusis. Porte à recouvrement Représentation hypothétique des fortifications.	187
Fig. 387. Mégara Hyblaea (Sicile). Porte à recouvrement (Lawrence, 1979, Fig.109)	187
Fig. 388. Antissa. Mur en appareil polygonal sur l'acropole (Lamb, 1930/1931, fig.4)	188
Fig. 389. Vélia. Appareil polygonal (Martin, 1985, fig.3 et 5)	188
Fig. 390. Delphes. Mur en appareil polygonal à joints courbes (ph. de l'auteur)	188
Fig. 391. Eleusis (gauche) et Erétrie (droite). Superstructure en briques crues conservées	189
Fig. 392. Eleusis. Restitution du mur. Socle et superstructure en briques	189
Fig. 393. Siège de Paphos en 490. Vue d'artiste (Maier, 2008, fig.142)	190
Fig. 394. Siège de Platée en 429. Vue d'artiste (Fields, 2006, 54)	190